

(11) Número de Publicação: **PT 2320948 E**

(51) Classificação Internacional:

A61K 45/06 (2013.01) **A61K 38/17** (2013.01)
A61K 31/355 (2013.01) **A61K 31/661** (2013.01)
A61P 9/10 (2013.01)

(12) FASCÍCULO DE PATENTE DE INVENÇÃO

(22) Data de pedido: **2009.07.31**

(30) Prioridade(s): **2008.08.01 US 85766 P**

(43) Data de publicação do pedido: **2011.05.18**

(45) Data e BPI da concessão: **2013.03.06**
112/2013

(73) Titular(es):

CLEVELAND CLINIC FOUNDATION

9500 EUCLID AVENUE CLEVELAND, OH 44195

US

CLEVELAND BIOLABS, INC.

US

(72) Inventor(es):

ANDREI V. GUDKOV

US

ROBERT FAIRCHILD

US

(74) Mandatário:

MARIA SILVINA VIEIRA PEREIRA FERREIRA

PT

RUA CASTILHO, N.º 50, 5º - ANDAR 1269-163 LISBOA

(54) Epígrafe: **MÉTODOS PARA O TRATAMENTO DE LESÕES POR REPERFUSÃO**

(57) Resumo:

A PRESENTE INVENÇÃO REFERE-SE AO TRATAMENTO DE UM TECIDO DE MAMÍFERO CONTRA OS EFEITOS DA REPERFUSÃO, USANDO FLAGELINA.

RESUMO

"MÉTODOS PARA O TRATAMENTO DE LESÕES POR REPERFUSÃO"

A presente invenção refere-se ao tratamento de um tecido de mamífero contra os efeitos da reperfusão, usando flagelina.

DESCRIÇÃO

"MÉTODOS PARA O TRATAMENTO DE LESÕES POR REPERFUSÃO"

CAMPO DA INVENÇÃO

A presente invenção refere-se à utilização de polipéptidos relacionados com a flagelina para tratar os tecidos dos efeitos da reperfusão.

FUNDAMENTO DA INVENÇÃO

Os tecidos privados de sangue e de oxigénio sofrem necrose isquémica ou enfarte com eventuais danos irreversíveis nos órgãos. Uma vez que o fluxo de sangue e o oxigénio são restabelecidos no órgão ou tecido (reperfusão), o órgão não volta imediatamente ao estado normal pre-isquémico. A reperfusão do fluxo coronário é necessária para reanimar o tecido ou órgão isquémico ou hipóxico. A reperfusão periódica facilita o resgate de células e diminui a morbidade e a mortalidade. A reperfusão de uma área isquémica pode resultar numa disfunção paradoxal incluindo uma marcada disfunção das células endoteliais, o que resulta em vasoconstrição, ativação de plaquetas e leucócitos, aumento da produção oxidante, e um aumento do líquido e extravasamento de proteína.

Ao longo das últimas duas décadas tem-se assistido a várias intervenções farmacológicas destinadas a limitar as lesões por reperfusão. Infelizmente, o sucesso de alguns agentes tem sido limitado ao modelo experimental de isquemia e reperfusão. A ausência de benefícios clínicos consistentes pode estar relacionada com uma variedade de fatores, incluindo uma conceção deficiente do ensaio clínico,

estudos farmacocinéticos/farmacodinâmicos inadequados e a complexidade do ser humano no modelo *in vivo*.

Existe a necessidade de na arte distinguir estratégias terapêuticas para isquémia vs. reperfusão e é possível que a combinação de agentes seja necessária para desencadear o máximo benefício clínico.

SUMÁRIO DA INVENÇÃO

É fornecido neste documento um método de tratamento de um tecido de mamífero a partir dos efeitos da reperfusão, que podem compreender a administração a um mamífero em necessidade, de uma composição compreendendo flagelina. A composição pode ser administrada em combinação com um antioxidante, que pode ser selecionado do grupo consistindo de amifostina e vitamina E.

A reperfusão pode ser causada por uma lesão, que pode ser isquémia ou hipóxia. A isquémia pode ser selecionada a partir do grupo que consiste em taquicardia, enfarte, hipotensão, embolia, tromboembolia (coágulo de sangue), anemia falciforme, pressão localizada nas extremidades do corpo e tumores. A hipóxia pode ser selecionada a partir do grupo que consiste de hipóxia hipoxémica (envenenamento por monóxido de carbono; apneia do sono, doença pulmonar obstrutiva crónica, paragem respiratória; shunts), hipóxia anémica (conteúdo O₂ baixo), hipóxia hipoxémica e hipóxia histotóxica. A pressão localizada pode ser devida a um torniquete.

A composição pode ser administrada antes de, juntamente com, ou após o influxo de oxigénio. O tecido pode ser selecionado a partir do grupo que consiste no trato gastrointestinal, pulmão, rim, fígado, sistema cardiovascular, endotélio dos vasos sanguíneos, o sistema

nervoso central, o sistema nervoso periférico, músculo, osso e folículo capilar.

BREVE DESCRIÇÃO DAS FIGURAS

A Fig. 1 demonstra o nível de creatinina no soro de ratos, durante 5 dias após administração intravenosa de flagelina em concentrações de 0,01 µg, 0,5 µg, 1,0 µg, ou 5,0 µg /corpo.

A Fig. 2 demonstra o efeito da flagelina administrado a ratos antes da aplicação da isquemia renal e medição da taxa de sobrevivência e de creatinina após a reperfusão dos rins isquémicos. O painel A apresenta a percentagem de sobrevivência de ratos que foram pré-tratados com flagelina nas concentrações de 0,01 µg, 0,5 µg, 1,0 µg, ou 5,0 µg /corpo ou PBS como controlo. O painel B apresenta o nível de creatinina no mesmo grupo de ratos pré-tratados e de controlo.

A Fig. 3 demonstra a histopatologia das células renais isquémicas 24 horas após a reperfusão que foram pré-tratadas com PBS ou flagelina quer em concentrações de 0,01 µg, 0,5 µg, 1,0 µg, ou 5,0 µg /corpo. A coluna de controlo (placebo) indica as células renais isoladas de ratos que não foram impostas com isquemia renal.

A Fig. 4 demonstra a histopatologia das células renais, 7 dias após a reperfusão. No primeiro painel, a lâmina histopatológica apresenta as células renais isoladas de rato pré-tratadas com PBS antes da isquemia renal e seguido por reperfusão dos rins isquémicos. No segundo painel, a lâmina histopatológica apresenta as células renais isoladas de rato pré-tratadas com PBS antes da isquemia renal e

seguido por reperfusão dos rins isquémicos. No segundo painel, a lâmina histopatológica apresenta células renais isoladas de rato pré-tratadas com flagelina, numa concentração de 0,5 µg /corpo, mas não impostas com isquemia renal. O terceiro painel demonstra a lâmina histopatológica apresentando células renais isoladas de rato pré-tratadas com flagelina com uma concentração de 0,5 µg/corpo e impostas com isquemia renal e seguida por reperfusão dos rins isquémicos.

A Fig. 5 demonstra a análise da infiltração de leucócitos 9 horas e 24 horas após a reperfusão isquémica em células renais isoladas de ratos pré-tratados com PBS ou flagelina a 0,5 µg/corpo. A Fig. 5a apresenta células do tecido renal imuno-histologicamente marcadas para os níveis de infiltração neutrofílica 9 horas e 24 horas após a reperfusão em células renais tratadas isquémicas e não isquémicas de ratos pré-tratados com PBS ou flagelina a 0,5 µg/corpo. A Figura 5b apresenta o número de neutrófilos, macrófagos, células T CD4⁺, e células T CD8⁺ que se infiltram nas células do tecido renal, isoladas de ratos pré-tratados com PBS ou flagelina uma concentração de 0,5 µg/corpo. Figura 5c

A Fig. 6 demonstra o papel crítico das quimiocinas de prevenção da flagelina CXCL1/KC e CXCL2/KC para orientar a infiltração dos leucócitos nos tecidos renais isquémicos. A Fig. 6B demonstra que os níveis de mARN de proteínas em fase aguda IL-1b e IL-6 mas não os de TNFa foram também reduzidos em rins isquémicos 9 horas após-reperfusão, em animais pré-condicionados com flagelina.

A Fig. 7 demonstra os níveis de sobrevivência e de creatinina em grupos de ratos C57BL/6 que foram submetidos a 45 minutos de oclusão pedicular renal bilateral e foram

administrados 0,5 µg de flagelina em vários instantes após a remoção das pinças renais.

A Fig. 8 demonstra a administração de 0,5 µg de flagelina dentro de 30 minutos de reperfusão isquémica dos rins isquémicos dos ratos tipo selvagem C57BL/6 reconstituídos com medula óssea do tipo selvagem diminuiu os níveis de mARN de CXCL1 e CXCL2. Em recetores MyD88^{-/-} reconstituído com MyD88^{-/-} ou medula óssea do tipo selvagem, pouco mARN CXCL1 e CXCL2 foi induzido durante a reperfusão de rins isquémicos e a administração de flagelina durante a reperfusão destes rins não diminuem os níveis de mARN destas quimiocinas. Ao contrário, os recetores do tipo selvagem de medula óssea de dadores MyD88^{-/-} expressaram níveis elevados de mARN CXCL1 e CXCL2 e estes níveis foram reduzidos pela administração de flagelina durante a reperfusão dos rins isquémicos.

A Fig. 9 demonstra as secções renais dos ratos do tipo selvagem C57BL/6 e BALB/c que foram marcadas com anticorpo anti-TLR5. A Figura 9b demonstra que os níveis de expressão de mARN TLR5 foram baixos nos rins antes da imposição da isquemia/reperfusão renal mas aumentou rapidamente durante a reperfusão dos rins isquémicos.

A Figura 10 apresenta a estrutura do domínio de flagelina bacteriana. O vestígio do esqueleto de Ca, distribuição do núcleo hidrófobo e informação estrutural do F41. Quatro núcleos distintos hidrófobos que definem os domínios D1, D2a, D2b e D3. Todos os átomos na cadeia lateral hidrófoba são exibidos com o esqueleto de Ca. Os átomos da cadeia lateral são codificados por cores: Ala, amarelo; Leu, He ou Val, cor-de-laranja; Phe e Tyr, roxo (átomos de carbono) e vermelho (átomos de oxigénio), c, posição e região de várias características estruturais na sequência de

aminoácidos da flagelina. São apresentadas, de cima para baixo: o fragmento F41 em azul; três folhas b dobraram-se em castanho; a distribuição da estrutura secundária com hélice a em amarelo, estrutura b em verde, e a volta b a roxo; marca de verificação em azul a cada 50 resíduos; domínios D0, D1, D2 e D3; a região de contacto da subunidade axial no interior do proto-elemento em azul ciano; a sequência de aminoácidos bem conservada a vermelho e a região variável em violeta; mutações pontuais no F41 que produzem os elementos de diferentes super-hélices. As letras na parte inferior indicam a morfologia dos elementos mutantes: L (D107E, R124A, R124S, G426A), linear tipo L; R (A449V), linear tipo R; C (D313Y, A414V, A427V, N433D), enrolada33.

A Figura 11 apresenta um esquema de domínios de flagelina de *Salmonella*, seus fragmentos e sua interação com TLR5. As barras escuras indicam regiões do gene da flagelina utilizado para construir os fragmentos compreendendo A, B, C, A' e B'.

A Figura 12 ilustra os derivados da flagelina. A estrutura de domínio e os limites próximos (coordenadas de aminoácidos) dos derivados selecionados da flagelina (listados à direita). A flagelina FliC de *Salmonella dublin* é codificada em 505 aminoácidos (aa).

A Figura 13 apresenta a sequência de nucleótidos e de aminoácidos para as seguintes variantes de flagelina: AA' (SEQ ID N°: 7-8), AB' (SEQ ID N°: 9-10), BA' (SEQ ID N°: 11-12), BB' (SEQ ID N°: 13-14), CA' (SEQ ID N°: 15-16), CB' (SEQ ID N°: 17-18), A (SEQ ID N°: 19-20), B (SEQ ID N°: 21-22), C (SEQ ID N°: 23-24), GST-A' (SEQ ID N°: 25-26), GST-B' (SEQ ID N°: 27-28), AA'n1-170 (SEQ ID N°: 29-30), AA'n1-163 (SEQ ID N°: 33-34), AA'n54-170 (SEQ ID N°: 31-32), AA'n54-163 (SEQ ID N°: 335-36), AB'n1-170 (SEQ ID N°: 37-

38), AB'n1-163 (SEQ ID N°: 39-40), AA'n1-129 (SEQ ID N°: 41-42), AA'n54-129 (SEQ ID N°: 43-44), AB'n1-129 (SEQ ID N°: 45-46), AB'n54-129 (SEQ ID N°: 47-48), AA'n1-100 (SEQ ID N°: 49-50), AB'n1-100 (SEQ ID N°: 51-52), AA'n1-70 (SEQ ID N°: 53-54) e AB'n1-70 (SEQ ID N°: 55-56). A sequência líder pRSETb é apresentada em itálico (a líder inclui Met, que também é o aminoácido 1 da FliC). O domínio constante N terminal é sublinhado. A sequência de aminoácidos ligante está a negrito. O domínio constante C terminal é sublinhado. A GST, se estiver presente, é destacada.

A Figura 14A apresenta a histologia do músculo do membro posterior de ratos 14 dias após a reperfusão a seguir a 3 horas de isquemia quente, usando uma mancha de hematoxilina/eosina onde o rato tenha sido administrado com 0,5 µg de CBLB502 em 15 minutos de reperfusão.

A Figura 14B apresenta a histologia do músculo do membro posterior de ratos 14 dias após a reperfusão a seguir a 3 horas de isquemia quente, usando uma mancha onde o rato tenha sido administrado com veículo (PBS) em 15 minutos de reperfusão. A Figura 14C apresenta a proporção do edema do tecido húmido/seco no membro de ratos administrados quer com CBLB502 ou PBS dentro de 15 minutos de reperfusão, após 3 horas de isquemia. A proporção do edema foi medido também no membro de ratos administrados com CBLB501 ou PBS, mas poupados a 3 horas de isquemia. A Figura 15 apresenta a proporção de vazamentos vasculares húmidos/secos usando Corante Azul por grama de peso do membro de ratos administrados quer com CBLB501 ou PBS dentro de 15 minutos de reperfusão, após 3 horas de isquemia. A proporção do vazamento vascular foi medida também no membro de ratos administrados com CBLB501 ou PBS, mas poupados a 3 horas de isquemia.

A Fig. 15 apresenta a comparação de sequências de aminoácidos da terminação conservada amino (Fig. 15-A) e carboxilo (Fig. 15B) de 21 espécies de bactérias. Os 13 aminoácidos conservados importantes para a atividade TLR5 são apresentados com sombreado. As sequências de aminoácidos são identificadas pelos seus números de adesão TrEMBL (primeira letra = Q) ou Swiss-Prot (primeira letra = P).

DESCRIÇÃO DETALHADA

Os inventores fizeram a surpreendente descoberta de que a flagelina protege contra os efeitos da reperfusão. A ausência ou a diminuição de oxigénio e dos nutrientes do sangue cria uma condição na qual a restauração da circulação resulta em inflamação e danos oxidativos através da indução do stress oxidativo em vez do restabelecimento da função normal. O fluxo sanguíneo restabelecido reintroduz o oxigénio dentro das células, o que danifica as proteínas celulares, o ADN e a membrana plasmática. Os danos à membrana celular por sua vez, podem causar a libertação de mais radicais livres. Tais espécies reativas também atuam na sinalização redox para induzir a apoptose de células do tecido isquémico. Além disso, a resposta inflamatória danifica mais ainda o tecido. Os glóbulos brancos transportados para a área pelo sangue que volta renovado, libertam uma série de fatores inflamatórios tais como as interleucinas, bem como radicais livres em resposta ao dano tecidual. Os leucócitos também podem acumular-se em pequenos capilares, obstruindo-os e conduzindo a mais isquemia. Embora não seja demonstrado, teoricamente a flagelina pode fornecer proteção contra os efeitos da reperfusão através da redução do stress oxidativo e inflamatório no tecido evitando assim a apoptose e permitindo uma recuperação mais rápida do tecido para um

estado normal. Esta natureza protetora da flagelina pode ser usada quer no início da reperfusão ou ser utilizada para evitar mais danos devidos à reperfusão. A invenção descrita diz respeito, em parte, à administração de flagelina para o tratamento de um tecido de mamífero dos efeitos de reperfusão.

1. Definições.

A terminologia utilizada neste documento é apenas para a finalidade de descrever formas de realização particulares e não se destina a ser limitante. Tal como usado na descrição e nas reivindicações anexas, as formas singulares "um", "uma" e "o/a" incluem referências plurais, a menos que o contexto claramente indique o contrário.

Para citar os intervalos numéricos aqui inclusos, cada número interveniente incluído com o mesmo grau de precisão é explicitamente contemplado. Por exemplo, para o intervalo de 6-9, os números 7 e 8 são incluídos, além de 6 e 9, e para o intervalo 6,0-7,0, os números 6,0, 6,1, 6,2, 6,3, 6,4, 6,5, 6,6, 6,7, 6,8, 6,9, e 7,0 são explicitamente contemplados.

"Administrar" pode significar uma dose de um agente que induz a atividade NF- KB, significa uma dose única ou doses múltiplas do agente.

"Análogo" pode significar, no contexto de um péptido ou polipéptido, um péptido ou polipéptido compreendendo um ou mais aminoácidos não-padrão ou outras variações estruturais do conjunto convencional de aminoácidos.

"Anticorpo" pode significar um anticorpo de classes IgG, IgM, IgA, IgD ou IgE, ou fragmentos, seus fragmentos ou derivados, incluindo o Fab, F(ab')₂, Fd, e anticorpos de cadeia simples, diacorpos, anticorpos biespecíficos, anticorpos bifuncionais e seus derivados. O anticorpo pode ser um anticorpo monoclonal, um anticorpo policlonal, um anticorpo purificado po afinidade, ou suas misturas que

apresentem especificidade de ligação suficiente para o epítopo desejado ou uma sequência dele derivada. O anticorpo pode ser também um anticorpo quimérico. O anticorpo pode ser derivado da ligação de uma ou mais substâncias químicas, porções de péptidos ou polipéptidos conhecidos na arte. O anticorpo pode ser conjugado com uma porção química.

A "apoptose" pode significar uma forma de morte celular que inclui a contração progressiva do volume da célula com a preservação da integridade dos organelos citoplasmáticos; a condensação da cromatina (ou seja, condensação nuclear), como vista pela microscopia ótica ou eletrónica; e/ou clivagem do ADN em alguns fragmentos dimensionados, tal como determinado pelos ensaios de sedimentação por centrifugação.

A morte celular ocorre quando a integridade da membrana da célula é perdida (*p.ex.*, uma evaginação irregular da membrana) englobando os fragmentos celulares intactos ("corpos apoptóticos") por células fagocíticas. Um "péptido" ou "polipéptido" pode significar uma sequência ligada de aminoácidos e pode ser natural, sintética, ou uma modificação ou combinação de naturais e sintéticas. Os termos "tratando", "tratamento" ou "tratar" podem significar, cada um, aliviar, suprimir, reprimir, eliminar, prevenir ou retardar o aparecimento dos sintomas, sinais clínicos, ou patologia de base de uma condição ou doença, numa base temporária ou permanente. A prevenção da doença envolve administrar uma composição da presente invenção a um animal, antes do início da doença. A supressão da doença envolve administrar uma composição da presente invenção a um animal após a indução da doença, mas antes do seu aparecimento clínico. A repressão da doença envolve administrar uma composição da presente invenção a um animal, após o aparecimento clínico da doença.

2. Tratando os Efeitos da Reperfusão

É aqui fornecido um método de tratamento dos efeitos da reperfusão por administração a um mamífero em necessidade da mesma, de uma composição compreendendo flagelina. A reperfusão pode ser causada por uma lesão.

A reperfusão pode causar danos a um componente corporal quando o fornecimento de sangue regressa ao componente corporal, após a lesão. Os efeitos da reperfusão podem ser mais prejudiciais ao componente corporal do que a lesão em si. Existem vários mecanismos e mediadores da reperfusão incluindo os radicais livres de oxigénio, sobrecarga de cálcio intracelular e a disfunção endotelial. Quantidades excessivas de espécies reativas de oxigénio, quando reintroduzidas num componente corporal previamente danificado, sofrem uma redução sequencial levando à formação de radicais livres de oxigénio. Os radicais oxidantes potentes, tais como o anião superóxido, radical hidroxilo, e peroxinitrite, podem ser produzidos dentro de poucos minutos a partir do refluxo para o componente corporal e podem desempenhar um papel crucial no desenvolvimento da lesão de reperfusão. Os radicais livres de oxigénio também podem ser gerados a partir de outras fontes, além da redução do oxigénio molecular. Estas fontes incluem enzimas, tais como a xantina oxidase, citocromo oxidase, e ciclo-oxigenase e a oxidação de catecolaminas. A reperfusão também é um potente estímulo para a ativação e a acumulação de neutrófilos, o que por sua vez servem como potentes estímulos para a produção de espécies reativas de oxigénio. Especificamente, os principais produtos da queima respiratória dos neutrófilos são agentes oxidantes fortes incluindo o peróxido de hidrogénio, radicais livres de oxigénio e hipoclorito. Os neutrófilos são o tipo mais abundante de fagócitos, normalmente representando 50 a 60% do total dos leucócitos circulantes e geralmente são as

primeiras células a chegar ao local do componente corporal danificado. Os radicais livres drivados do oxigénio produzem danos por reagir com ácidos gordos poli-insaturados, resultando na formação de peróxidos lipídicos e hidroperóxidos que danificam o componente corporal e prejudicam o funcionamento de sistemas enzimáticos ligados à membrana. Os radicais livres estimulam a libertação endotelial do fator ativador de plaquetas e de quimiocinas, tais como o fator ativador dos neutrófilos, a quimiocina (motivo C-X-C) ligando 1 e quimiocina (motivo C-X-C) ligando 1 que atrai mais neutrófilos e amplifica a produção de radicais oxidantes e o grau da lesão de reperfusão. As espécies reativas de oxigénio também atenuam o óxido nítrico, exagerando a lesão endotelial e a disfunção das células e tecidos. Além de um aumento na produção, existe também uma deficiência relativa nas enzimas endógenas de limpeza de oxidantes, que exageram adicionalmente a disfunção cardíaca mediada por radicais livres.

A reperfusão pode ainda resultar numa acentuada disfunção das células endoteliais. A disfunção endotelial facilita a expressão de um fenótipo pro-trombótico caracterizado por ativação de neutrófilos e plaquetas, importantes mediadores da reperfusão. Uma vez os neutrófilos entrando em contato com o endotélio disfuncional, eles são ativados e, numa série de etapas bem definidas (enrolamento, adesão firme e transmigração) migram para zonas de lesão tecidual através de junções das células endoteliais como parte da resposta imune inata.

As alterações na homeostase intracelular do cálcio desempenham um importante papel no desenvolvimento da reperfusão. A reperfusão pode ser associada ao aumento de cálcio intracelular; este efeito pode estar relacionado com uma maior entrada de cálcio sarcolemal por canais de cálcio do tipo-L ou pode ser secundária para alterações no ciclo do cálcio no retículo sarcoplasmático. Além da sobrecarga

de cálcio intracelular, alterações na sensibilidade dos miofilamentos ao cálcio têm sido implicadas na reperfusão. A ativação de proteases cálcio-dependentes (calpaína I) com consequente proteólise miofibrilar foi sugerida como sublinhando a lesão de reperfusão, tal como a proteólise da troponina.

A reperfusão de células do tecido submetido a uma lesão têm um metabolismo celular alterado, que, por sua vez, podem contribuir para retardar a recuperação funcional. Por exemplo, uma lesão pode induzir o metabolismo anaeróbio numa célula com uma produção em rede de lactato. A libertação de lactato persiste durante a fase de reperfusão, sugerindo um atraso na recuperação do metabolismo aeróbio normal. Da mesma forma, a atividade do piruvato desidrogenase mitocondrial (PDH) pode ser inibida até 40% após uma lesão e pode permanecer deprimida até 30 minutos após a reperfusão.

Cada um desses eventos durante a reperfusão pode levar ao stress das células do tecido e morte celular programada (apoptose) e necrose das células do tecido. A apoptose normalmente funciona para "limpar" os tecidos das células feridas e geneticamente danificadas, enquanto as citocinas servem para mobilizar o sistema de defesa do organismo contra o agente patogénico. No entanto, em condições de danos graves, ambos os mecanismos de resposta ao stress podem, or si só, atuar como causas de morte.

a. Flagelina

A flagelina pode ser um polipéptido relacionado com a flagelina. A flagelina pode ser de qualquer origem, incluindo uma variedade de espécies de bactérias Gram-positivas e Gram- negativas. A flagelina pode ter a sequência de aminoácidos de uma das 23 flagelinas de espécies de bactérias que estão representadas na figura 7

da Publicação da Patente U.S N° 2003/0044429, cujo conteúdo é incorporado neste documento por referência. As sequências nucleotídicas que codificam para os polipeptídos de flagelina listados na figura 7 do documento U.S. 2003/0044429 estão publicamente disponíveis através de fontes, que incluem a base de dados do NCBI Genbank. A flagelina pode ser o componente principal do flagelo bacteriano. A flagelina pode ser composta por três domínios (Fig. 10). O domínio 1 (D1) e o domínio 2 (D2) podem ser descontínuos e podem ser formados quando resíduos na terminação amino e na terminação carboxilo são justapostos por meio da formação de uma estrutura em grampo. As terminações amino e carboxilo compreendendo os domínios D1 e D2 podem ser as mais conservadas, considerando que o domínio médio hipervariável (D3) pode ser altamente variável. Os estudos com uma proteína recombinante contendo os amino D1 e D2 e os carboxilo D1 e D2 separados por uma dobradiça *Escherichia coli* (ND1-2/ECH/CD2) indicam que os D1 e D2 podem ser bioativos quando acoplados a um elemento ECH. Esta quimera, mas não a dobradiça isoladamente, pode induzir a degradação de IkBa, a ativação de NF- κ B e a produção de NO e IL-8 em duas linhas de células epiteliais intestinais. O domínio D3 não conservado pode estar na superfície do filamento flagelar e pode conter os principais epítocos antigénicos. A atividade pró-inflamatória potentes da flagelina pode residir nas regiões dos D1 e D2 N e C altamente conservadas.

A flagelina pode induzir a atividade NF- κ B através da ligação ao receptor 5 semelhante a Toll (TLR5). A família TLR pode ser composta por, pelo menos, 10 membros e é essencial na defesa imune inata contra agentes patogénicos. O sistema imune inato pode reconhecer padrões moleculares associados a agentes patogénicos (PAMPs) que são conservados em agentes patogénicos microbianos. O TLR pode reconhecer uma estrutura conservada que é particular para a

flagelina bacteriana. A estrutura conservada pode ser composta por um grande grupo de resíduos, que são, de algum modo, permissivos à variação no conteúdo em aminoácidos. Smith et al., *Nat Immunol.* 4:1247-53 (2003) identificaram 13 aminoácidos conservados na flagelina que são parte da estrutura conservada reconhecida pelo TLR5. Os 13 aminoácidos conservados da flagelina que podem ser importantes para a atividade do TLR5 são apresentados na Fig. 11.

A flagelina pode pertencer a uma espécie de *Salmonela*, um exemplo representativo do que pode ser a *S. dublin* (codificado pelo Número de Adesão GenBank M84972) (SEQ ID N°: 1). O polipéptido relacionado com a flagelina pode ser um fragmento, variante, análogo, homólogo, ou derivado da SEQ ID N°: 1, ou uma sua combinação, que se liga ao TLR5 e induz a atividade mediada pelo TLR5, tal como a atividade das NF-kB. Um fragmento, variante, análogo, homólogo ou derivado da flagelina pode ser obtido através de um desenho com base racional, baseado na estrutura do domínio da Flagelina e na estrutura conservada reconhecida pelo TLR5. A flagelina pode compreender, pelo menos, 10, 11, 12, ou 13 dos 13 aminoácidos conservados apresentados na Fig. 11 (posições 89, 90, 91, 95, 98, 101, 115, 422, 423, 426, 431, 436 e 452). A flagelina pode ser pelo menos 30-99% idêntica aos aminoácidos 1 174 e 418 505 da SEQ ID N°: 1. A Fig. 26 lista a percentagem de identidade das terminações amino- e carboxilo- da flagelina com a atividade estimuladora do TLR5 conhecida, quando comparada com a SEQ ID N°: 1.

A flagelina pode ser um polipéptido de flagelina de qualquer espécie de bactéria Gram-positiva ou Gram-negativa incluindo, mas não se limitando a, polipéptidos de flagelina divulgados na Pub. Pat. U.S. 2003/000044429, cujos conteúdos são incorporados neste documento, e os péptidos de flagelina correspondentes aos números de adesão listados nos resultados BLAST apresentados na Fig. 25 da

Pub. da Pat. U.S. 2003/000044429, ou suas variantes. A flagelina pode estimular a atividade do TLR5. Foram feitos vários mutantes delecionais da flagelina que mantêm pelo menos alguma atividade estimulante do TLR5. A flagelina pode ser um mutante delecional divulgado nos exemplos aqui inclusos e pode compreender uma sequência traduzida com o Número de Adesão GenBank, D 13689, carecendo dos aminoácidos 185-306 ou 444-492, ou com o Número de Adesão GenBank M84973 carecendo dos aminoácidos 179-415, ou uma sua variante.

A flagelina pode compreender inserções do transposão e alterações ao domínio D3 variável. O domínio D3 pode ser substituído em parte, ou na totalidade, com uma dobradiça ou um polipéptido ligante que permite que os domínios D1 e D2 dobrem corretamente, de modo que a variante estimule a atividade do TLR5. Os elementos da variante dobradiça podem ser encontrados na proteína MukB de *E. coli* e podem ter uma sequência conforme estabelecida nas SEQ ID N°s: 3 e 4, ou uma sua variante.

Outros agentes podem ser utilizados para alvejar os receptores TLR5. Estes agentes podem ser agonistas do TLR5 e estimular a atividade do TLR5. O agonista pode ser um anticorpo anti-TLR5 ou outra molécula pequena.

b. Lesões

Os efeitos da reperfusão podem ser causados por uma lesão no componente corporal. As lesões podem ser devidas à isquemia, hipóxia, enfarte, ou uma embolia. O tratamento das lesões pode levar a reperfusão e danos adicionais ao componente corporal.

(1) Isquemia

A isquemia pode ser uma escassez absoluta ou relativa do fornecimento de sangue a um componente corporal. A escassez relativa pode ser uma incompatibilidade, no entanto, pequena do sangue fornecido (distribuição do oxigénio) a um componente corporal vs. o sangue necessário para um componente corporal fazer a oxigenação adequada. A isquémia também pode ser um fluxo inadequado de sangue a uma parte do corpo devido a uma constrição ou obstrução dos vasos sanguíneos que o fornecem e pode afetar qualquer componente corporal no corpo. Um fornecimento de sangue insuficiente faz com que os componentes do organismo se tornem hipóxicos, ou, se não for fornecido oxigénio de todo, anóxicos. Isto pode causar necrose. Os mecanismos de isquemia podem variar muito. Por exemplo, a isquemia para qualquer componente corporal pode ser devida a taquicardia (batimento anormalmente rápido do coração), aterosclerose (placa carregada de lípidos obstruindo o lúmen das artérias), hipotensão (pressão arterial baixa no choque séptico, insuficiência cardíaca), tromboembolismo (coágulos sanguíneos), compressão exterior de vasos sanguíneos (tumor), embolias (corpos estranhos na circulação, p.ex., embolia do fluido amniótico), anemia falciforme (hemoglobina anormalmente formada) enfartes, forças g induzidas que restringem o fluxo de sangue e forçam o sangue para as extremidades do corpo, frio extremo localizado devido a ulcerações, gelo, terapia de compressão por frio inadequada, e qualquer outra força que restringe o fluxo sanguíneo para as extremidades, como um torniquete. A força para restringir o fluxo sanguíneo às extremidades pode ser necessária devido a lacerações graves, incisões, perfurações, tais como um esfaqueamento, lesões por esmagamento devido a trauma causado por uma força brusca, e trauma balístico causado por arma ou ferimentos causados por estilhaços. A isquémia pode ser uma característica das doenças do coração, colite isquémica,

ataques de isquémia transitórios, acidentes vasculares cerebrais, lesão renal aguda, ruptura de malformações arteriovenosas e doença oclusiva arterial periférica.

(2) Hipóxia

A hipóxia pode ser a privação do fornecimento adequado de oxigénio. A hipóxia pode ser uma condição patológica em que o corpo como um todo (hipóxia generalizada) ou uma região do corpo (hipóxia tecidual) é privado do fornecimento adequado de oxigénio. Uma variação dos níveis de oxigénio arterial no pode ser devida a uma incompatibilidade entre o fornecimento e a necessidade de oxigénio dos componentes do corpo. A completa privação do fornecimento em oxigénio é a anoxia. A hipóxia pode ser hipóxia hipoxémica, hipóxia anémica, hipóxia hipoxémica, hipóxia histotóxica, hipóxia histotóxica e hipóxia isquémica.

A hipóxia hipoxémica pode ser um fornecimento inadequado de oxigénio ao corpo como um todo, causada pela baixa pressão parcial do oxigénio no sangue arterial. A hipóxia hipoxémica pode ser devida à baixa pressão parcial do oxigénio atmosférico, tal como em altitudes elevadas, substituição do oxigénio na mistura de respiração da atmosfera modificada como um esgoto, substituição de oxigénio intencionalmente, como no uso recreativo de óxido nitroso, uma diminuição na saturação por oxigénio do sangue devida à apnéia do sono, ou hipopnéias, ventilação pulmonar inadequada, tal como a doença pulmonar obstrutiva crónica ou paragem respiratória, "shunts" anatómicos ou mecânicos na circulação pulmonar ou um shunt da direita para a esquerda no coração e no pulmão. Os shunts podem causar o colapso dos alvéolos que ainda são perfundidos ou um bloco na ventilação para uma área do pulmão. Os shunts podem

apresentar sangue destinado ao sistema pulmonar para não ser ventilado e evitar trocas gasosas devido aos vasos *Thebesia* vazios no ventrículo esquerdo e à circulação brônquica, que alimenta os brônquios com o oxigénio.

A hipóxia anémica pode ser o teor total em oxigénio que é reduzido, mas a pressão arterial de oxigénio é normal. A hipóxia hipoxémica pode ser quando o sangue não consegue fornecer oxigénio aos componentes alvo do corpo. A hipóxia hipoxémica pode ser causada por intoxicação com monóxido de carbono que inibe a capacidade da hemoglobina para libertar o oxigénio ligado a ela, ou meta-hemoglobinemia, uma hemoglobina anormal que se acumula no sangue. A hipóxia histotóxica pode ser devida à incapacidade de efetivamente usar oxigénio devido a enzimas deficientes de fosforilação oxidativa.

(3) Enfarte

O enfarte é um tipo de condição patológica que pode causar isquemia. O enfarte pode ser uma área macroscópica do tecido necrótico que causou a perda de um fornecimento sanguíneo adequado devido a uma oclusão. O enfarte pode ser um enfarte branco composto por plaquetas e provocar a necrose em tecidos de órgãos tais como o coração, baço e rins. O enfarte pode ser um enfarte vermelho composto por glóbulos vermelhos e cadeias de fibrina em tecidos de órgãos do pulmão. A doença associada ao enfarte pode incluir o enfarte do miocárdio, embolia pulmonar, acidente vascular cerebral (AVC), insuficiência renal aguda, doença oclusiva arterial periférica (por exemplo, gangrena), síndrome do anticorpo anti-fosfolipídico, sepsis, artrite das células gigantes, hérnia e vólvulo.

(4) Embolia

A embolia é um tipo de condição patológica que pode causar isquémia. A embolia pode ser um objeto que migra de uma parte do corpo e causa uma oclusão ou bloqueio de um vaso sanguíneo noutra parte do corpo. Uma embolia pode ser tromboembolia, embolia gorda, embolia gasosa, embolia sética, embolia tecidual, embolia devida a um corpo estranho, embolia do líquido amniótico. A tromboembolia pode ser um coágulo sanguíneo que está totalmente ou parcialmente isolado do local da trombose. A embolia gorda pode ser tecido adiposo endógeno que escapa para a circulação sanguínea. A fratura dos ossos é um exemplo de um vazamento de tecido gordo para os vasos e artérias lesionados. A embolia gasosa pode ser uma rutura dos alvéolos e o ar inalado vai para dentro dos vasos sanguíneos. A punção da veia subclávia ou terapia intravenosa são exemplos de fuga de ar para os vasos sanguíneos. Uma embolia gasosa pode ser provocada por gases como o azoto e o hélio por serem insolúveis e formarem pequenas bolhas no sangue.

c. Componente Corporal

A presente invenção refere-se ao tratamento de um componente do corpo de um mamífero. O componente do corpo pode ser um órgão, um tecido ou uma célula. O componente do corpo pode ser proveniente de um abdómen, acetábulo, tecido adiposo, córtex adrenal, na glândula adrenal, medula adrenal, macrófago alveolar, âmnio, aorta, artéria, ascite, líquido ascítico, gânglio linfático axilar, bexiga, sangue, ossos, medula óssea, intestino, cérebro, mama, brônquio, cartilagem, tronco caudal, cerebelo, colo do útero, vilosidade coriônica, cólon, membrana conjuntiva, tecido conjuntivo, córnea, derme, gânglio da raiz dorsal, duodeno, displasia da mucosa da língua, ovo, embrião, sistema

endócrino, endométrio, endotélio, epiderme, epitélio, eritropoiético, olho, fibroblasto, barbatana, feto, pé, prepúcio, gânglio de Gasser, estroma gengival, gónada, gânglio linfático inguinal, coração, úmero, íleo, intestino, ileocecal, íleo, ilhéus de Langerhans, rim, larvas, larvar, laringe, fígado, pulmão, pulmão (bronquioalveolar), linfa, gânglios linfáticos, tecido linfático, linfóide, órgãos linfóides, mamária, gânglios alveolares mamários, glândula mamária, mesonefros, mesotélio, ecdisse ninfal, boca, músculo, nasal, septo nasal, sistema nervoso, neural, junção gastro-esofágica, esôfago, oral, ovárica, mesênquima do palato, pancreas, ovário papilar, pénis, sangue periférico, peritoneu, faringe, hipófise, placenta, derrame pleural, líquido pleural, próstata, ovário pupal, reto, retina, gânglio linfático axial direito, ducto salivar, glândula salivar, músculo esquelético, pele, intestino delgado, intestino delgado, tecidos moles, baço, esterno, estômago, cauda, testículo, testículos, coxa, timo, tiróide, glândula tiróide, língua, amígdalas, traqueia, tronco, corneto, cordão umbilical, umbigo, útero, vagina, vísceras, vulva, trato gastrointestinal, pulmões, rins, fígado, sistema cardiovascular, endotélio dos vasos sanguíneos, sistema nervoso central e periférico, músculo, osso, folículos capilares e saco vitelino.

3. Composição

A presente invenção também se refere a uma composição compreendendo uma quantidade terapeuticamente eficaz de flagelina. A composição pode ser uma composição farmacêutica, que pode ser produzida através de métodos bem conhecidos na arte. A composição pode também compreender um co-agente. Como descrito acima, a composição pode ser

administrada a um mamífero para tratar os efeitos da reperfusão.

a. Administração

A administração de composições utilizando o método aqui descrito pode ser por via oral, parentérica, sublingual, transdérmica, retal, transmucosal, tópica, inalatória, administração bucal, ou suas combinações. A administração parentérica inclui, mas não está limitada a, intravenosa, intra-arterial, intraperitoneal, subcutânea, intramuscular, intratecal e intra-articular. Para uso veterinário, a composição pode ser administrada como uma formulação adequada aceitável, de acordo com a prática veterinária normal. O veterinário pode facilmente determinar a posologia e a via de administração, que é mais apropriada para um determinado animal. As composições podem ser administradas a um paciente humano, gato, cão, animal de grande porte, ou uma ave.

A composição pode ser administrada simultaneamente ou metronomicamente com outros tratamentos. O termo "simultâneo" ou "simultaneamente" como usado aqui, significa que a composição e outro tratamento pode ser administrado com um intervalo de 48 horas, de preferência, 24 horas, mais preferencialmente 12 horas, ainda mais preferencialmente 6 horas, do modo mais preferido, 3 horas ou menos, entre si. O termo "metronomicamente" como usado aqui significa a administração da composição em instantes diferentes do outro tratamento e a uma certa frequência relativa à administração repetida.

A composição pode ser administrada em qualquer ponto anterior à reperfusão, incluindo cerca de 120 hr, 118 hr, 116 hr, 114 hr, 112 hr, 110 hr, 108 hr, 106 hr, 104 hr, 102 hr, 100 hr, 98 hr, 96 hr, 94 hr, 92 hr, 90 hr, 88 hr, 86 hr, 84 hr, 82 hr, 80 hr, 78 hr, 76 hr, 74 hr, 72 hr, 70 hr,

68 hr, 66 hr, 64 hr, 62 hr, 60 hr, 58 hr, 56 hr, 54 hr, 52 hr, 50hr, 48 hr, 46 hr, 44 hr, 42 hr, 40 hr, 38 hr, 36 hr, 34 hr, 32 hr, 30 hr, 28 hr, 26 hr, 24 hr, 22 hr, 20 hr, 18 hr, 16 hr, 14 hr, 12 hr, 10 hr, 8 hr, 6 hr, 4 hr, 3 hr, 2 hr, 1 hr, 55 mins., 50 mins., 45 mins., 40 mins., 35 mins., 30 mins., 25 mins., 20 mins., 15 mins, 10 mins, 9 mins, 8 mins, 7 mins., 6 mins., 5 mins., 4 mins., 3 mins, 2 mins, e 1 min. antes da reperfusão. A composição pode ser administrada em qualquer ponto anterior à lesão, incluindo cerca de 120 hr, 118 hr, 116 hr, 114 hr, 112 hr, 110 hr, 108 hr, 106 hr, 104 hr, 102 hr, 100 hr, 98 hr, 96 hr, 94 hr, 92 hr, 90 hr, 88 hr, 86 hr, 84 hr, 82 hr, 80 hr, 78 hr, 76 hr, 74 hr, 72 hr, 70 hr, 68 hr, 66 hr, 64 hr, 62 hr, 60 hr, 58 hr, 56 hr, 54 hr, 52 hr, 50hr, 48 hr, 46 hr, 44 hr, 42 hr, 40 hr, 38 hr, 36 hr, 34 hr, 32 hr, 30 hr, 28 hr, 26 hr, 24 hr, 22 hr, 20 hr, 18 hr, 16 hr, 14 hr, 12 hr, 10 hr, 8 hr, 6 hr, 4 hr, 3 hr, 2 hr, 1 hr, 55 mins., 50 mins., 45 mins., 40 mins., 35 mins., 30 mins., 25 mins., 20 mins., 15 mins, 10 mins, 9 mins, 8 mins, 7 mins., 6 mins., 5 mins., 4 mins., 3 mins, 2 mins, e 1 min. antes da lesão. A composição pode ser administrada em qualquer ponto após a reperfusão, incluindo cerca de 1 min, 2 mins., 3 mins., 4 mins., 5 mins., 6 mins., 7 mins., 8 mins., 9 mins., 10 mins., 15 mins., 20 mins., 25 mins., 30 mins., 35 mins., 40 mins., 45 mins., 50 mins., 55 mins., 1 hr, 2 hr, 3 hr, 4 hr, 6 hr, 8 hr, 10 hr, 12 hr, 14 hr, 16 hr, 18 hr, 20 hr, 22 hr, 24 hr, 26 hr, 28 hr, 30 hr, 32 hr, 34 hr, 36 hr, 38 hr, 40 hr, 42 hr, 44 hr, 46 hr, 48 hr, 50 hr, 52 hr, 54 hr, 56 hr, 58 hr, 60 hr, 62 hr, 64 hr, 66 hr, 68 hr, 70 hr, 72 hr, 74 hr, 76 hr, 78 hr, 80 hr, 82 hr, 84 hr, 86 hr, 88 hr, 90 hr, 92 hr, 94 hr, 96 hr, 98 hr, 100 hr, 102 hr, 104 hr, 106 hr, 108 hr, 110 hr, 112 hr, 114 hr, 116 hr, 118 hr, e 120 hr após a reperfusão.

b. Formulação

O método pode compreender a administração de uma composição para tratar os efeitos da reperfusão. As composições aqui fornecidas podem estar na forma de comprimidos ou pastilhas formulados de forma convencional. Por exemplo, os comprimidos e as cápsulas para administração por via oral podem conter excipientes convencionais incluindo, mas não se limitando a, agentes aglomerantes, de preenchimento, lubrificantes, desintegrantes e humectantes. Os agentes aglomerantes incluem, mas não estão limitados a, xarope, acacia, gelatina, sorbitol, goma adragante, mucilagem de amido, polivinilpirrolidona. Os agentes de preenchimento incluem, mas não estão limitados a, lactose, açúcar, celulose microcristalina, amido de milho, fosfato de cálcio e sorbitol. Os lubrificantes incluem, mas não estão limitados a, estearato de magnésio, ácido esteárico, talco, polietilenoglicol e sílica. Os desintegrantes incluem, mas não estão limitados a, fécula de batata e sódio glicolato de amido. Os agentes humectantes incluem, mas não estão limitados a, laurilssulfato de sódio. Os comprimidos podem ser revestidos de acordo com métodos bem conhecidos na arte.

As composições aqui fornecidas podem também ser formulações líquidas, incluindo, mas não se limitando a, suspensões aquosas ou oleosas, soluções, emulsões, xaropes e elixires. As composições também podem ser formuladas como um produto seco para a constituição com a água ou outro veículo adequado antes da utilização. Tais preparações líquidas podem conter aditivos, incluindo, mas não se limitando a, agentes de suspensão, agentes emulsionantes, veículos não aquosos e conservantes. O agente de suspensão inclui, mas não está limitado a, xarope de sorbitol, metil-celulose, xarope de glicose/açúcar, gelatina, hidroxietilcelulose, carboximetilcelulose, gel de estearato de alumínio e gorduras hidrogenadas comestíveis. Os agentes emulsionantes

incluem, mas não estão limitados a, lecitina, mono-oleato de sorbitano e acacia. Os veículos não aquosos incluem, mas não estão limitados a, óleos comestíveis, óleo de amêndoas, óleo de coco fracionado, ésteres oleosos, propileno glicol e álcool etílico. Os conservantes incluem, mas não estão limitados a p-hidroxibenzoato de metilo ou propilo e ácido sórbico.

As composições aqui fornecidas também podem ser formuladas como supositórios, que podem conter bases supositórias incluindo, mas não se limitando a, manteiga de cacau ou glicéridos. As composições aqui fornecidas podem também ser formuladas para a inalação, que podem estar sob a forma de, incluindo mas não se limitando a, uma solução, suspensão ou emulsão que pode ser administrada como um pó seco ou sob a forma de aerossol utilizando um propelador, tal como o diclorodifluorometano ou o tricloromonofluorometano. As composições aqui fornecidas podem também ser formuladas como formulações transdérmicas compreendendo veículos aquosos ou não aquosos, incluindo, mas não se limitando a, cremes, pomadas, loções, pastas, gesso terapêutico, adesivo, ou membrana.

As composições aqui fornecidas podem também ser formuladas para a administração parentérica, incluindo, mas não se limitando, por injeção ou infusão contínua. As formulações para injeção podem ser na forma de suspensões, soluções ou emulsões em veículos oleosos ou aquosos e podem conter agentes de formulação, incluindo, mas não se limitando a, agentes de suspensão, estabilização e agentes dispersantes. A composição também pode ser fornecida na forma de pó para reconstituição com um veículo adequado, incluindo, mas não se limitando a, água estéril, isenta de pirógenos. As composições fornecidas neste documento também podem ser formuladas como uma preparação do depósito, que pode ser administrada por implante ou por injeção intramuscular. As composições podem ser formuladas com materiais poliméricos

ou hidrófobos adequados (como uma emulsão num óleo aceitável, por exemplo), resinas permutadoras de iões, ou como derivados parcialmente solúveis (como um sal moderadamente solúvel, por exemplo).

d. Dosagem

O método pode compreender a administração de uma quantidade terapeuticamente eficaz da composição para um paciente em necessidade da mesma. A quantidade terapeuticamente eficaz necessária para uso na terapia varia de acordo com a natureza da condição a ser tratada, o tempo desejado para aumentar as células-tronco hematopoéticas na corrente sanguínea e a idade/condição do paciente. No entanto, em geral, as doses empregues para o tratamento de humanos adultos tipicamente estão na faixa de 0,001 mg/kg até cerca de 200 mg/kg por dia. A dose pode ser de cerca de 1 µg/kg até cerca de 100 µg/kg por dia. A dose desejada pode ser convenientemente administrada numa dose única, ou como várias doses administradas em intervalos adequados, por exemplo, como dois, três, quatro ou mais sub-doses por dia. Múltiplas doses podem ser desejadas ou necessárias. A dose pode ser qualquer dose incluindo, mas não se limitando a cerca de 0,1 µg/kg, 0,2 µg/kg, 0,3 µg/kg, 0,4 µg/kg, 0,5 µg/kg, 0,6 µg/kg, 0,7 µg/kg, 0,8 µg/kg, 0,9 µg/kg, 1 µg/kg, 25 µg/kg, 50 µg/kg, 75 µg/kg, 100 µg/kg, 125 µg/kg, 150 µg/kg, 175 µg/kg, 200 µg/kg, 225 µg/kg, 250 µg/kg, 275 µg/kg, 300 µg/kg, 325 µg/kg, 350 µg/kg, 375 µg/kg, 400 µg/kg, 425 µg/kg, 450 µg/kg, 475 µg/kg, 500 µg/kg, 525 µg/kg, 550 µg/kg, 575 µg/kg, 600 µg/kg, 625 µg/kg, 650 µg/kg, 675 µg/kg, 700 µg/kg, 725 µg/kg, 750 µg/kg, 775 µg/kg, 800 µg/kg, 825 µg/kg, 850 µg/kg, 875 µg/kg, 900 µg/kg, 925 µg/kg, 950 µg/kg, 975 µg/kg ou 1 mg/kg.

4. Co-agente

A flagelina ou a composição pode ser co-administrada com um co-agente. O co-agente pode ser qualquer composto que retarda ou impede os efeitos da reperfusão. O co-agente pode ser um antioxidante. Os antioxidantes podem ser capazes de diminuir e prevenir a oxidação de outras moléculas, células, tecidos ou órgãos. O antioxidante pode ser a vitamina E, ácido ascórbico, glutationo, ácido lipóico, ácido úrico, carotenos tais como o β-caroteno e retinol, vitamina E e coenzima Q, tióis, tais como cisteína, cisteamina, glutationo e bilirrubina, amifostina e flavonóides.

O co-agente pode ser um inibidor do antiporte sódio-hidrogénio. A lesão e a reperfusão podem resultar numa em acidose intracelular acentuada. Um inibidor do antiporte de sódio-hidrogénio pode ser usado para reduzir a extrusão de protões e evitar aumentos do Ca^{2+} . Um inibidor de sódio-hidrogénio pode ser cariporida.

O co-agente pode ser insulina. A insulina pode ser usada para estimular a atividade PDH e evitar a inibição da atividade PDH após a reperfusão.

O co-agente pode ser adenosina. A adenosina pode ser usada para abrir canais de KATP mitocondrial.

5. Tratamento de Combinação

O método pode ser utilizado em combinação com outros métodos para tratar a lesão. Os outros métodos podem ser os tratamentos do enfarte do miocárdio (ataque cardíaco), embolia pulmonar, acidente vascular cerebral (AVC), doença arterial periférica oclusiva (por exemplo, gangrena), síndrome do anticorpo anti-fosfolipídico, sepsis, artrite de células gigantes, hérnia, vólvulo, cancros do tumor

sólido, doença de descompressão, anemia falciforme, punção da veia subclávia, fraturas ósseas, doença de altitude elevada, o uso recreativo de óxido nitroso, apneia do sono, hipopneias, shunts, anemia, envenenamento por monóxido de carbono, meta-hemoglobinemia, tromboembolia, embolia gorda, embolia gasosa, embolia sética, embolia do tecido, embolia por presença de corpo estranho, embolia do líquido amniótico, forças g induzidas e pressão externa para evitar o fluxo de sangue devido a cortes graves, castração, ou mutilação. O método também pode ser usado em combinação com métodos de tratamento das lesões por reperfusão como a administração de doses baixas de sulfato de hidrogénio (H_2S), glisodeno, ou glialina de trigo, ou executando a hipotermia terapêutica ou pinçamento aórtico.

A presente invenção tem múltiplos aspetos, ilustrados pelos seguintes exemplos não-limitantes.

Exemplo: 1

Proteção da flagelina dependente da dose sobre a função renal [a flagelina pode ser um agonista do TLR5]

Para determinadas doses, a flagelina não afeta a função renal. Este efeito foi demonstrado através da medição dos níveis de creatinina no soro de ratos após a administração sistémica de diferentes doses de flagelina. Os ratos C57BL/6 foram injetados quer com 0,01 µg, 0,5 µg, 1,0 µg, ou 5,0 µg de flagelina e os níveis de creatinina sérica (mg/dL) foram monitorizados diariamente, como apresentado na Figura 1. A administração de 5 µg de flagelina resultou em concentrações no soro aumentadas que foram evidentes em 24 horas após a administração. Depois de 24 horas adicionais (48 horas no total), os níveis de creatinina atingiram um pico e, em seguida, diminuíram novamente para

os níveis de base 72 horas após a administração e, em seguida, começaram a aumentar lentamente para níveis baixos novamente (Figura 1). Ao contrário, a administração de 1 µg de flagelina também induziu um aumento nos níveis de creatinina do soro, mas esta só foi detetada como um único pico após 48 horas e em seguida, caiu para os níveis de base 72 horas após a administração. A administração de 0,5 µg e 0,1 µg não induziu quaisquer aumentos mensuráveis nos níveis de creatinina sérica durante todo o período do estudo.

Exemplo 2

Efeito da flagelina dependente da dose sobre a função renal

Para determinadas doses, a flagelina é capaz de proteger o tecido renal de um mamífero dos efeitos de isquemia renal aguda. Este efeito foi demonstrado por administração da flagelina a ratos antes da imposição da isquemia renal e medição da taxa de sobrevivência seguindo-se a reperfusão dos rins isquémicos. Especificamente, 30 minutos antes de serem submetidos a 45 minutos de oclusão do pedículo renal bilateral, grupos de ratos C57BL/6 foram administrados com várias doses de flagelina (0,01 µg, 0,5 µg, 1,0 µg ou 5,0 g por [mu]corpo) em 400 µL de PBS ou PBS isoladamente (400 µL) através da administração intravenosa. A sobrevivência dos ratos, os níveis de creatinina no soro e os dados de histopatologia foram então recolhidos.

a. Sobrevivência

A oclusão do pedículo renal bilateral foi realizada em ratos como anteriormente detalhado (REFERÊNCIAS). Os ratos foram administrados com 20U (unidades/mL) de heparina

sódica por via da administração intraperitoneal 20 minutos antes da cirurgia. Os ratos foram anestesiados com fenobarbital e mantidos quentes sob uma lâmpada de 60W até à cirurgia. Em condições asséticas, a cavidade abdominal foi aberta com uma incisão na linha média e o pedículo renal bilateral foi ocluído não-traumaticamente com uma pinça microvascular (World Precision Instruments, Sarasota, FL) e a lesão foi temporariamente fechada com sutura de seda 4-0. Os ratos foram colocados sobre um bloco térmico sob uma lâmpada de 60 Watts e a ponta do sensor do Termómetro de Monitorização da Memória Certificada Rastreável(TM) (Fisher Scientific) foi colocada na cavidade abdominal para garantir a manutenção da temperatura a 32 °C, durante a imposição da isquemia renal. Os rins foram submetidos a isquemia durante 45 minutos. Após a remoção da pinça, a reperfusão renal imediata e completa foi confirmada visualmente e a cavidade peritoneal foi fechada. Os ratos operados com placebo foram tratados de forma idêntica exceto para o grampo bilateral do pedículo renal. No grupo de controlo, que recebeu PBS sem flagelina, 80% dos animais morreram no prazo de 5 dias após a reperfusão dos rins isquémicos (ver Figura 2a). Todos os animais que receberam 5 µg de flagelina antes da imposição da isquemia renal morreram no prazo de 5 dias após a reperfusão. Ao contrário, todos os animais que receberam quer 1 ou 0,5 µg de flagelina antes da isquemia renal sobreviveram mais de 45 dias após a reperfusão. O efeito protetor da flagelina na isquemia renal aguda foi também observado como sendo dependente da dose nos animais que receberam 0,1 ou 0,01 µg não foram protegidos contra a lesão.

b. Medição da função renal

Os níveis de creatinina no soro também foram medidos para determinar o efeito protetor da flagelina sobre a função

renal. Os ratos operados com placebo e os ratos submetidos a lesão renal bilateral IFR foram anestesiados com isofluorano e sangrados pelo plexo pós-orbital usando um tubo microcapilar revestido com heparina em intervalos de 24 horas. O soro foi armazenado a -80 °C, até à medição. Os níveis de creatinina no soro foram medidos utilizando o Kit de Creatinina (Sigma Diagnostics, Inc., St Louis, MO). O efeito protetor da flagelina foi refletido pelos baixos níveis de creatinina no soro determinados 24 horas após a reperfusão em animais que receberam 1,25 ou 0,5 µg flagelina 30 minutos antes da imposição da isquemia (ver Figura 2b). Os animais que receberam doses baixas não protetoras da flagelina (0,1 e 0,01 [µ] g) tinham níveis mais elevados dos níveis de creatinina que caíram um pouco abaixo daqueles observados no grupo de controlo, que recebeu PBS 30 minutos antes da oclusão do pedículo bilateral.

c. Estudos Histológicos do Tecido Renal

Os níveis elevados de creatinina no soro, uma indicação da disfunção renal induzida pela imposição de lesão de isquemia-reperfusão, foram suportados pela histopatologia dos rins isquémicos, 24 horas após a reperfusão (ver Figura 3). Para a imuno-histoquímica, os rins recuperados foram reduzidos para metade, embebidos em composto OCT (Sakura Finetek U.S.A., Torrence, CA), e imediatamente congelados em azoto líquido. As secções coronais foram cortadas (7 mm), montadas em lâminas, secas durante 1 hora e, em seguida, fixadas em acetona durante 10 minutos. As lâminas foram imersas em PBS durante 10 min e em peróxido de hidrogénio 3%/metanol durante 5 minutos à temperatura ambiente para eliminar a atividade da peroxidase endógena. A atividade da biotina endógena foi bloqueada com o Sistema de Bloqueio da Biotina (DAKO, Carpentaria, CA). Após o

tratamento com soro de ratazana normal (1:100), anti-rato Gr-I mAb (RB6.8C5) diluído de 1:100 em PBS com albumina de soro bovino 1% (BSA) para detetar os neutrófilos, ou diluições de 1:50 de CD4 mAb de ratazana anti-rato (GK1.5) para detetar as células T CD4+, as CD8a mAb de ratazana anti-rato (53-6,7) para detetar as células T CD8+ ou macrófago mAb de ratazana anti-rato (F4/80) (SEROTEC, Raleigh, NC) foi adicionado às secções. As lâminas do controlo foram incubadas com IgG de ratazana. Após 1 h, as lâminas foram lavadas 3X com PBS e incubadas durante 20 min com antisoro IgG de coelho biotinilado anti-ratazana (Sigma Aldrich) diluído de 1:100 em PBS/ BSA 1%. Depois de 3 lavagens em PBS, as lâminas foram incubadas com estreptavidina-peroxidase de rábano (DAKO) durante 20 min. A solução DAB (3,3'-diaminobenzidina) de substrato-cromagénio (Vector Laboratories, Inc., Burlingame, CA) foi aplicada às lâminas durante 0,5-3 min. Após a lavagem em dH₂O, as lâminas foram contra-coradas com hematoxilina, lavadas com dH₂O, cobertas com lamelas e observadas por microscopia ótica. As imagens foram capturadas usando Image Pro Plus (Media Cybernetics, Silver Spring, MD).

Para corar o TLR5, 1 mg de mAb anti-TLR5 (ABR- Affinity BioReagents, Inc., Golden, CO) foi aplicado às lâminas e incubado durante 1 h à temperatura ambiente e depois de lavar o anticorpo IgG anti-rato de cabra biotinilado diluído de 1:100 durante 30 min à temperatura ambiente. Depois de aplicar o DAB, as lâminas foram lavadas com água de torneira, mergulhadas durante 3 seg. em hematoxilina e, em seguida, lavadas. As lâminas foram desidratadas com concentrações crescentes de etanol a 50% e, em seguida, imersas em citrasolve duas vezes, durante 10 min. cada. As lâminas foram lavadas com água de torneira, cobertas com lamelas e observadas por microscopia ótica. O uso dos níveis séricos de creatinina como um indicador da disfunção renal induzida por imposição de lesões de

isquemia-reperfusão foi suportado pela histopatologia dos rins isquérmicos 24 horas após a reperfusão (ver Figura 3). Os animais do grupo de controlo que receberam PBS 30 min antes da imposição da isquemia renal tiveram necrose tubular grave com formação de cápsula evidente 24 horas após a reperfusão. Consistente com a indução da disfunção renal pela administração de 5 µg de flagelina, houve evidência de patologia renal 30 min após a administração de 5 µg de flagelina sem impor isquemia e esse aumento na gravidade na sequência da imposição da isquemia renal e reperfusão com evidente hemorragia, trombose e formação de cápsula. Ao contrário, os animais que receberam 0,5 µg de flagelina 30 min antes da imposição da isquemia apresentaram níveis reduzidos da infiltração leucocitária 24 horas após a reperfusão mas a arquitetura renal parecia relativamente normal. A dose baixa não-protetora, 0,1 µg de flagelina, não evitou a patologia renal induzida pela lesão de isquemia/reperfusão. Quando os rins dos animais sobreviventes foram examinados no dia 7 pós-reperfusão, uma diminuição marcada da necrose tubular e da infiltração leucocitária, bem como a ausência de trombose e formação de cápsula foram observadas em animais que receberam 0,5 µg de flagelina antes da imposição da isquemia renal, (ver Figura 4).

d. Infiltração dos neutrófilos no Tecido Renal Danificado

Como a infiltração dos neutrófilos e sua ativação é um grande contributo para a lesão tecidual após isquemia renal - reperfusão, rins isquérmicos foram recuperados 9 e 24 horas após a reperfusão, provenientes de animais tratados com PBS sozinho ou com 0,5 µg flagelina antes da imposição da isquemia e os níveis de infiltração neutrofílica foram avaliados por coloração imuno-

histoquímica das secções de tecido preparadas para determinar diretamente o número de neutrófilos, macrófagos, células T CD4+ e células T CD8+ nos rins isquémicos durante a reperfusão, pedaços correspondentes a um quarto dos rins retirados foram cortados e pesados. Os rins foram incubados em meio de cultura RPMI 1640 com soro fetal bovino 2% durante 1 hr e, em seguida, foram enviados através de um filtro de células com 70 mm usando um êmbolo de seringa. As células foram recolhidas e os eritrócitos lisados usando o Tampão de Lise ACK (GIBCO, Grand Island, NY). Depois de 2 lavagens, as células viáveis foram contadas usando exclusão pelo azul de Tripano. As alíquotas de células foram pré-incubadas com anticorpo anti-CD16/CD32 do recetor Fc (BD Pharmingen, San Diego, CA) durante 5 min. para bloquear a ligação de anticorpo inespecíficos e, em seguida, as amostras foram incubadas com mAb anti-CD45 FITC-conjugado bem como o anticorpo PE- conjugado para detetar macrófagos (F4/80) ou células T CD8+ (53-6,7) e anticorpo APC-conjugado para detetar os neutrófilos (RB6.8C5) ou células T CD4+ (GK1.5) (todos os anticorpos da BD Pharmingen) durante 30 min a 4 °C. As células foram analisadas usando citometria de fluxo em duas cores num FACSCalibur (BD Biosciences, San Jose, CA). A dispersão em frente e os canais F1 (CD45+) foram utilizados para reter os leucócitos no tecido renal, seguindo-se a análise das populações específicas de leucócitos. Para cada amostra, foram acumulados 200.000 eventos. Os dados foram analisados utilizando software e programa CellQuest (BD Biosciences). Os números totais de cada população de leucócitos foram calculados por: (o número total de leucócitos contados) x (% da população de leucócitos contabilizada em células CD45+)/100. Os dados são reportados como o número de cada população de leucócitos/g de tecido renal de controlo e animais VR.

Foram observados decréscimos marcados na infiltração dos neutrófilos, 9 e 24 horas após a reperfusão quando os animais receberam 0,5 µg de flagelina (ver figura 5a). A quantificação direta da infiltração leucocitária nos rins isquémicos indicou que 0,5 µg de flagelina reduziu a infiltração de neutrófilos quase para os níveis observados nos animais do grupo de controlo operados com o placebo (ver figura 5b). Foram observados decréscimos no número de células T CD4 e CD8 e nos macrófagos em rins isquémicos, 24 horas após a reperfusão e administração de 0,5 µg de flagelina, 30 minutos antes da isquemia reduzir o número de ambas as células T CD4 e CD8 ainda mais.

Exemplo 3

O Estado da Flagelina Diminui a Expressão da Citoquina Pró-inflamatória Durante a Reperfusão dos Rins Isquémicos

Este exemplo demonstra o papel crítico da flagelina impedindo que as quimiocinas CXCL1/KC e CXCL2/KC orientem a infiltração de leucócitos nos tecidos renais isquémicos. Estudos anteriores indicaram que os níveis mais elevados de neutrófilos quimioatractivos CXCL1/KC e CXCL2/KC em rins isquémicos, ocorrem 9 horas após a reperfusão [REFERÊNCIA]. Para começar a investigar os mecanismos subjacentes à diminuição da infiltração de leucócitos em rins isquémicos quando os animais foram condicionados com flagelina 0,5 µg, os rins foram removidos 9 e 24 horas após a reperfusão e os níveis de mARN e proteína dos neutrófilos e macrófagos quimioatractivos foram determinados (Figura 6). Foram cortados e recolhidos pedaços de um quarto dos rins e congelados em azoto líquido. O ARN total foi extraído utilizando RNeasyTM Mini Kit (Qiagen, Valencia, CA) e a transcrição reversa foi realizada usando o cDNA Archive Kit

de Alta Capacidade (Applied Biosystems, Foster City, CA). A PCR em tempo real foi realizada num Sistema de Detecção de Sequências Prism 7700 (Applied Biosystems, Foster City, CA) com KC/CXCL1 teste, iniciadores MIP- 2/CXCL2 e MCP-1/CCL2 e Mrpl32 usado como controlo (Applied Biosystems, Foster City, CA).

As amostras dos rins armazenadas em azoto líquido foram dissolvidas em 500 mL de tampão PBS com EDTA 0,01 M e um cocktail inibidor de proteinase (fluoreto de fenilmetilsulfonilo 10 mg/mL, aprotinina 2 mg/mL, leupeptina 2 mg/mL, Pefabloc SC 100 mg/mL e quimostatina 100 mg/mL) e, em seguida, 1 mL de Triton X-100 1,5% em PBS foi adicionado. Após a incubação com agitação durante 1 h a 4 °C, as amostras foram centrifugadas, o sobrenadante foi recolhido e a concentração total de proteína foi determinada utilizando o Kit de Ensaio de Proteínas BCATM (Pierce, Rockford, IL). As concentrações KC/CXCL1, MIP-2/CXCL2 e MCP-1/CCL2 foram medidas por ELISA sandwich usando os Kits Quantikine M (R&D Systems, Minneapolis, MN). Para determinar a ativação dos neutrófilos durante a reperfusão dos rins isquémicos, a concentração da mieloperoxidase (MPO) foi medida utilizando o kit de teste ELISA Mouse MPO (Cell Sciences, Canton, MA). Os resultados são apresentados em termos da concentração de proteína de teste por mg de proteína total no tecido ± DP.

O pré-condicionamento com doses protetoras de flagelina (1,25 ou 0,5 µg) resultou em reduções significativas na expressão do mARN e em níveis de proteína dos quimioatrativos de neutrófilos CXCL1 e CXCL2 em 9 horas após a reperfusão. A expressão do mARN do CCL2 ou de níveis de proteína foram baixos em ambos 9 e 24 horas após a reperfusão e não foram adicionalmente influenciados pelo pré-condicionamento com flagelina. Além disso, os níveis de mARN de proteínas de fase aguda IL-1b e IL-6 mas não os de TNFa foram também reduzidos em rins isquémicos 9 horas após

a reperfusão, em animais pré-condicionados com flagelina (Figura 6b).

Exemplo 4

Efeito Protetor da Flagelina Quando Administrado Durante a Reperfusão de Rins Isquémicos

Este exemplo demonstra que a flagelina fornece um efeito protetor aos rins tratados por isquémia aguda quando administrada após o início da reperfusão. Como descrito acima, a oclusão do pedículo renal bilateral foi realizada em ratos e os níveis séricos de creatinina foram medidos para determinar o efeito protetor da flagelina sobre a função renal após o início da reperfusão.

Especificamente, os grupos de ratos C57BL/6 que foram submetidos a 45 minutos de oclusão pedicular renal bilateral e foram administrados com 0,5 µg de flagelina em vários instantes após a remoção das pinças renais (Ver Figura 7). A administração da flagelina 30 minutos antes ou 30 minutos após o desclampeamento resgatou a viabilidade de todos os ratos submetidos a lesões isquémicas. A administração da flagelina passada 1 hora, bem como em momentos posteriores, após o início da reperfusão não conseguiu evitar as lesões em nenhum dos ratos. O efeito protetor da administração da flagelina 30 minutos antes do desclampeamento ou 30 minutos após o desclampeamento foi refletido pelos níveis baixos de creatinina sérica monitorizados 24 horas após a reperfusão dos rins isquémicos (Figura 7b).

Exemplo 5

Efeito Protetor da Flagelina requer Sinalização do TLR5 nas Células do Parênquima Renal

Este exemplo demonstra a fonte alvo do efeito protetor do tratamento com flagelina durante a reperfusão do tecido. Como discutido nos Exemplos 1-4, os estudos de reperfusão foram realizados em rins isquémicos.

As quimeras reconstituídas a partir da medula óssea induzidas por radiação foram geradas entre ratos C57BL/6 do tipo selvagem e B6.*MyD88^{-/-}*. As quimeras reconstituídas a partir da medula óssea induzidas por radiação foram geradas por operações de corte das pontas dos fêmures e tibias de ratos C57BL/6 do tipo selvagem e B6. *MyD88^{-/-}* e lavagem com meio RPMI 1640 para recolher as células da medula óssea. Os ratos receptores da medula óssea receberam primeiro uma radiação de 1100 Rad g-irradiação e, em seguida, 3 horas mais tarde receberam 20×10^6 células de medula óssea por via intravenosa. Os receptores CD90.1 irradiados receberam a medula óssea a partir de dadores CD90.1 congénitos ou vice-versa. Os receptores reconstituídos receberam antibióticos (sulfametoxzazol 0,2 mg/mL e trimetoprime 0,4 mg/mL) na água para beber desde o dia 1 ao dia 7 como profilaxia. Os receptores foram autorizados a recuperar durante 8 a 12 semanas e o quimerismo completo foi confirmado pela coloração de células sanguíneas periféricas com conjugado FITC 90,2 e com conjugado PE 90,1.

A Figura 8 demonstra que a administração de 0,5 µg de flagelina dentro dos 30 minutos da reperfusão dos rins isquémicos dos ratos tipo selvagem C57BL/6 reconstituídos com medula óssea do tipo selvagem diminuiu os níveis de mARN de CXCL1 e CXCL2. Nos receptores *MyD88^{-/-}* reconstituídos quer com *MyD88^{-/-}* ou com medula óssea do tipo selvagem, pouco mARN de CXCL1 e CXCL2 foi induzido durante a

reperfusão dos rins isquémicos e a administração de flagelina durante a reperfusão destes rins não diminuiu os níveis de mARN destas quimiocinas. Ao contrário, os receptores do tipo selvagem de medula óssea de dadores MyD88^{-/-} expressaram níveis elevados de mARN de CXCL1 e CXCL2 e estes níveis foram reduzidos pela administração de flagelina durante a reperfusão dos rins isquémicos. Isso demonstra que o alvo da flagelina foi uma célula renal parenquimatosa em vez de um leucócito.

Para investigar esta situação em maior detalhe, as secções renais dos ratos do tipo selvagem C57BL/6 e BALB/c foram marcadas com anticorpo anti-TLR5 (Figura 9a). As células coradas positivamente foram principalmente as células da vasculatura e a coloração não foi aparente em células tubulares ou glomérulos renais. As secções renais de ratos *Moth Eaten* que têm um defeito genético na expressão do TLR 5 não coraram com o anticorpo anti-TLR5. Os níveis de expressão do mARN do TLR5 foram baixos nos rins antes da imposição da isquemia/reperfusão renal mas aumentaram rapidamente durante a reperfusão dos rins isquémicos (Figura 9b).

Exemplo 6

Efeito Protetor da Flagelina no Modelo de Isquemia dos Membros Posteriorres

Os potenciais efeitos protetores de CBLB502 num modelo de isquemia do membro traseiro do rato foram investigados numa simulação de lesões isquémicas induzidas por um torniquete. Estes estudos são provenientes de estudos indicando que a CBLB502 administrada a ratos submetidos a oclusão pedicular renal bilateral atenuou a lesão isquémica e disfunção renal, incluindo a diminuição da produção de neutrófilos

quimioatrativos na resposta à reperfusão, diminuiu a infiltração de neutrófilos no rim isquémico e atenuou os aumentos nos níveis de creatinina no soro e perda de viabilidade. O protetor pode ser dado quer antes da imposição da oclusão pedicular renal, ou ainda mais importante para o uso clínico, até 30 min. após a reperfusão do rim isquémico.

As lesões induzidas pelo torniquete foram modeladas apertando uma banda larga de borracha no membro posterior esquerdo dos ratos durante 2-4 horas. Após o período isquémico, a banda de borracha foi alargada e removida. Os animais recuperaram da anestesia, mas apresentaram uma incapacidade de utilização do membro isquémico, o qual arrastaram por períodos até 9 dias. A lesão isquémica também incluiu edema do membro que foi claramente visível e que foi quantificado por medições de peso húmido-seco e comparação com o membro posterior contralateral, não-isquémico e a indução de níveis elevados de citocinas pró-inflamatórias incluindo neutrófilos quimioatrativos e uma infiltração neutrofílica intensa no membro isquémico. Além disso, a injeção do corante azul de Evan indicou quantidades consideráveis de vazamento vascular no membro isquémico (dados não apresentados).

Estudando os efeitos protetores de CBLB502, os ratos foram novamente submetidos a uma lesão induzida por torniquete, apertando uma banda larga de borracha no membro posterior esquerdo durante 3 horas. Após o período isquémico, a banda de borracha foi alargada e removida. Quinze minutos após a remoção da banda de borracha e do início da reperfusão, 0,5 µg da CBLB502 ou veículo (PBS) foram administrados por via intramuscular no membro esquerdo isquémico. Os ratos administrados com CBLB502 têm uma recuperação mais rápida do uso do membro e, ao dia 14 após a reperfusão, tinham uma força de preensão mensurável para o membro isquémico de 10GF. Ao contrário, os ratos administrados apenas com PBS

15 minutos após a reperfusão não atingiram essa força até ao dia 21. Os membros administrados com CBLB502 também não tiveram quase nenhuma evidência de edema 25 horas após a reperfusão como evidência de uma proporção de peso húmido/seco de 2,5 vs. 3,4 para o membro isquémico em ratos administrados apenas com veículo na reperfusão (ver figura 14C). No que diz respeito ao vazamento vascular, os ratos administrados com CBLB501 tiveram peso reticular do tecido no membro de 7,4 µg em corante Azul de Evan, vs. 13,1 µg para os ratos administrados com veículo, $P<0,001$) (ver figura 14D). Por último, os membros tratados com CBLB502 na reperfusão, tiveram diminuições significativas nos neutrófilos nos tecidos e nos macrófagos quimioatrativos sCXCL2, CCL2 e mieloperoxidase ($P<0,05$ para cada ensaio) [TEMOS VALORES QUANTIFICADOS?]. A marcação com hematoxilina/eosina foi realizada no músculo do membro traseiro no dia 14 após a reperfusão, após 3 horas da isquemia em ratos tratados com CBLB502 (Figura 14A) ou veículo (Figura 14B).

A injeção de CBLB502 dentro de 30 min de reperfusão também resultou na diminuição da produção de neutrófilos quimioatrativos e da infiltração de neutrófilos no membro isquémico, decréscimos visíveis no edema e recuperação acelerada (dia 4-6) da utilização de membros isquémicos. O exame histológico indicou também uma maior espessura do feixe de fibras musculares em membros isquémicos dos animais tratados com o protetor (dados não apresentados). Estes resultados serão objeto de investigação mais aprofundada através da medição quantitativa de inflamação e disfunção dos membros em animais submetidos à isquemia dos membros posteriores com vs. sem administração do protetor CBLB502. Esta irá incluir a quantificação de outras citocinas pró-inflamatórias, quantificação direta da infiltração neutrofílica, quantificação da espessura do

feixe de fibras musculares e apoptose das fibras musculares e a magnitude e a duração do edema.

<110> Cleveland Biolabs, Inc.

<120> POLIPÉPTIDOS RELACIONADOS COM A FLAGELINA E SEUS USOS

<130> 050991.0203.01PC00

<150> US 61/085,766

<151> 2001-08-01

<160> 56

<170> PatentIn version 3.3

<210> 1

<211> 505

<212> PRT

<213> *Salmonella dublin*

<400> 1

Met Ala Gln Val Ile Asn Thr Asn Ser Leu Leu Thr Gln Asn
 1 5 19 15
 Asn Leu Asn Lys Ser Ser Gln Ser Ser Ser Ala Ile Glu Arg Leu
 20 25 30
 Ser Ser Gly Leu Arg Ile Asn Ser Ser Ala Lys Asp Asp Ala Ala Gly Gln
 35 40 45
 Ala Ile Ala Asn Arg Phe Thr Ser Asn Ile Lys Gly Leu Thr Gln Ala
 50 55 60
 Ser Arg Asn Ala Asn Asp Gly Ile Ser Ile Ala Gln Thr Thr Gln Gly
 65 70 75 80
 Ala Leu Asn Glu Ile Asn Asn Asn Leu Gln Arg Val Arg Glu Leu Ser
 85 90 95
 Val Gln Ala Thr Asn Gly Thr Asn Ser Asp Ser Asp Leu Lys Ser Ile
 100 105 110
 Gln Asp Glu Ile Gln Gln Arg Leu Glu Glu Ile Asp Arg Val Ser Asn
 115 120 125
 Gln Thr Gln Phe Asn Gly Val Lys Val Leu Ser Gln Asp Asn Gln Met
 130 135 140
 Lys Ile Gln Val Gly Ala Asn Asp Gly Glu Thr Ile Thr Ile Asp Leu
 145 150 155 160
 Gln Lys Ile Asp Val Iys Ser Leu Gly Leu Asp Gly Phe Asn Val Asn
 165 170 175
 Gly Pro Lys Glu Ala Thr Val Gly Asp Leu Lys Ser Ser Phe Lys Asn
 180 185 190
 Val Thr Gly Tyr Asp Thr Tyr Ala Ala Gly Ala Asp Lys Tyr Arg Val
 195 200 205
 Asp Ile Asn Ser Gly Ala Val Val Thr Asp Ala Ala Ala Pro Asp Lys
 210 215 220
 Val Tyr Val Asn Ala Ala Asn Gly Glu Leu Thr Thr Asp Asp Ala Glu
 225 230 235 240
 Asn Asn Thr Ala Val Asp Leu Phe Lys Thr Thr Lys Ser Thr Ala Gly
 245 250 255
 Thr Ala Glu Ala Lys Ala Ile Ala Gly Ala Ile Lys Gly Gly Lys Glu
 260 265 270
 Gly Asp Thr Phe Asp Tyr Lys Gly Val Thr Phe Thr Ile Asp Thr Lys
 275 280 285
 Thr Gly Asp Asp Gly Asn Gln Lys Val Ser Thr Thr Ile Asn Gly Glu
 290 295 300
 Lys Val Thr Leu Thr Val Ala Asp Ile Ala Thr Gly Ala Ala Asp Val
 305 310 315 320
 Asn Ala Ala Thr Leu Gln Ser Ser Lys Asn Val Tyr Thr Ser Val Val
 325 330 335
 Asn Gln Gln Phe Thr Phe Asp Asp Lys Thr Lys Asn Glu Ser Ala Lys
 340 345 350
 Leu Ser Asp Leu Glu Ala Asn Asn Ala Val Lys Gly Glu Ser Lys Ile
 355 360 365
 Thr Val Asn Gln Gly Ala Gln Tyr Thr Ala Asn Ala Thr Gly Asp Lys Ile
 370 375 380

Thr	Ieu	Ala	Gly	Lys	Thr	Met	Phe	Ile	Asp	Lys	Thr	Ala	Ser	Gly	Vai
385					390					395					400
Ser	Thr	Ieu	Ile	Asn	Glu	Asp	Ala	Ala	Ala	Lys	Lys	Ser	Thr	Ala	
					405					410					415
Asn	Pro	Ieu	Ala	Ser	Ile	Asp	Ser	Ala	Leu	Ser	Lys	Vai	Asp	Ala	Val
					420					425					430
Arg	Ser	Ser	Ieu	Gly	Ala	Ile	Gln	Asn	Arg	Phe	Asp	Ser	Ala	Ile	Thr
					435					440					445
Asn	Ieu	Gly	Asn	Thr	Val	Thr	Asn	Ieu	Asn	Ser	Ala	Arg	Ser	Arg	Ile
					450					455					460
Glu	Asp	Ala	Asp	Tyr	Ala	Thr	Glu	Val	Ser	Asn	Met	Ser	Lys	Ala	Gin
					465					470					475
Ile	Ieu	Gln	Gln	Ala	Gly	Thr	Ser	Val	Ieu	Ala	Gln	Ala	Asn	Gln	Val
					485					490					495
Pro	Gln	Asn	Vai	Ieu	Ser	Ieu	Ieu	Arg							
					500					505					

42103-2

◀◀◀ 1518 ▶▶▶

ω 212x DNA

<213> *Salmonella dublin*

2480-2

atggcccaaa	tcatttaatac	aaacagccgt	tgcgttgttg	ccccagaatac	cctggaaa	60
tctcagtct	cactgggttc	cgcttattgg	cgcttgcgt	ctgggttcgg	tatcaacagg	120
gcccggaa	atgcggcagg	ccaggccgtt	gtttaccgtt	tcacttctta	tatcaaggc	180
ctgactcagg	cttcccgtaa	cgtttacggc	ggcattttct	tttgcggagg	cactggaaat	240
qggctgaat	aaatcacaac	caacctgtcg	cggtgtgcgt	sgtttgtctt	tcaggccact	300
aaacggggact	actctgttcc	cgatctggaa	tctatccagg	atggaaatcc	gcaacgtctg	360
qaagaaat	atcgggtttc	taatccggat	caatttttccgg	gtgtttaaag	cttccttcag	420
gccaaccagg	tggaaaaatcc	ggttttgggt	aaacgtttgt	aaaccatttc	categatgt	480
caaaaaattt	atgtggaaag	cctttggctt	gttgggttcc	stgtttaatgg	gccaaaaaaa	540
gcgcacagtt	gtgtatctgaa	atccacgttc	aaatgttta	cggttttacg	caccatgtca	600
gcggggtcgg	ataaaaatccg	tgttagatatt	atttccggtg	ctgtatgtac	tgatgcggca	660
gcacccggata	aaatgtatgt	aaatgcggca	aaacggtccgt	tsacaaactg	cgatcgggaa	720
ataaacactt	cggttgtatc	ctttttttggcc	atccatgttca	ctgttgttac	cgctgttgcgc	780
aaacgcgtat	ctgtgttccat	tatgggttgc	aaaggaaaggat	atccattttg	ttttaaaaaggc	840
gtgactttta	atattgtatc	aaatcatgtt	gttgcggta	atggtaatgt	ttctacttac	900
atcaatgggt	aaaaaaatcc	gtttaactgtc	gtgtatattt	ccacttgcgc	ggggggatgtt	960
aatgtctgt	ccttacaaat	aaagcaaaaa	gtttatacat	ctgtatgtaa	cggttcgttt	1020
atcttttgcgt	ataaaaaccaa	aaacggagagt	ggcggaaatctt	ctgattttgg	ggcaaaaaat	1080
gtgttttaagg	ggggaaatgtt	aatttacgtt	aaatggggctt	aatataacttc	taacggccacg	1140
ggtgataaga	tcaccccttgc	ttggccaaacc	atgttttttttgc	ataaaaacatc	tttgcggatgt	1200
agtcacattaa	tcacatggaa	cgcttgcggcc	ggccaaagaaaa	gttaccgttca	ccacttgcgt	1260
tcacattgtt	ctgcattgtt	aaaaatgggc	ggatgtttgtt	cttccttggg	ggcaatccaa	1320
tcacattttt	atcgggtttc	tacccaaatcc	ggccaaataccgg	taaaaaatgtc	gaacttcggg	1380
ctgtggccgt	togaagatgc	tgactatgtc	ccggaaatgtt	ccatgttcc	ttttggccgg	1440
atcttcgttgc	aggctgttac	tttccgttcttgc	ggccagggttca	accagggttcc	gcggaaatgt	1500
cttcctttttac	tgcgtttaa					1518

42102-3

◀◀◀ 36

१२० प्रति

4213 Artificial

۲۳۰

<223> ligante peptídico

<400> 3

<408> 8

Met Arg Gly Ser His His His His His Gly Met Ala Ser Met Thr
 1 9 10 15
 Gly Gly Gln Gln Met Gly Arg Asp Leu Tyr Asp Asp Asp Asp Lys Asp
 20 25 30
 Pro Met Ala Gln Val Ile Asn Thr Asn Ser Leu Ser Leu Leu Thr Gln
 35 40 45
 Asn Asn Leu Asn Lys Ser Gln Ser Ser Leu Ser Ser Ala Ile Glu Arg
 50 55 60
 Leu Ser Ser Gly Leu Arg Ile Asn Ser Ala Lys Asp Asp Ala Ala Gly
 65 70 75 80
 Gin Ala Ile Ala Asn Arg Phe Thr Ser Asn Ile Lys Gly Leu Thr Gln
 85 90 95
 Ala Ser Arg Asn Ala Asn Asp Gly Ile Ser Ile Ala Gln Thr Thr Gln
 100 105 110

Gly Ala Leu Asn Glu Ile Asn Asn Asn Leu Gin Arg Val Arg Glu Leu
 115 120 125
 Ser Val Gln Ala Thr Asn Gly Thr Asn Ser Asp Ser Asp Leu Lys Ser
 130 135 140
 Ile Gln Asp Glu Ile Gln Gln Arg Leu Glu Glu Ile Asp Arg Val Ser
 145 150 155 160
 Asn Gln Thr Gln Phe Asn Gly Val Lys Val Leu Ser Gln Asp Asn Gln
 165 170 175
 Met Lys Ile Gln Val Gly Ala Asn Asp Gly Glu Thr Ile Thr Ile Asp
 180 185 190
 Leu Gln Lys Ile Asp Val Lys Ser Leu Gly Leu Asp Gly Phe Asn Val
 195 200 205
 Asn Ser Pro Gly Ile Ser Gly Gly Gly Gly Ile Leu Asp Ser Met
 210 215 220
 Gly Thr Leu Ile Asn Glu Asp Ala Ala Ala Lys Lys Ser Thr Ala
 225 230 235 240
 Asn Pro Leu Ala Ser Ile Asp Ser Ala Leu Ser Lys Val Asp Ala Val
 245 250 255
 Arg Ser Ser Leu Gly Ala Ile Gln Asn Arg Phe Asp Ser Ala Ile Thr
 260 265 270
 Asn Leu Gly Asn Thr Val Thr Asn Leu Asn Ser Ala Arg Ser Arg Ile
 275 280 285
 Glu Asp Ala Asp Tyr Ala Thr Glu Val Ser Asn Met Ser Lys Ala Gin
 290 295 300
 Ile Leu Gln Gln Ala Gly Thr Ser Val Val Leu Ala Gln Ala Asn Gln Val
 305 310 315 320
 Pro Gln Asn Val Leu Ser Leu Leu Arg
 325

<249> 9

<251> 825

<252> DNA

<253> *Salmonella dublin*

<408> 8

atgggggggtt ctcatcataca tcatacatcat ggttatggctt gcatgacttgg tggacacgca	60
atgggttcggg atctgtacgtt cgatgtacgtt aaggatccgtt tggcacaaat ctttaataata	120
aacagccgtt cgctgttgtt ccagaataaac ctgcacaaat ctgcgttcc actgaggttcc	180
gttatttggatc gtctgttcc tggtgtcggtt atccacacgtt cggaaagacgtt tgccggcaggc	240
caggcgatgg cttaaccgttt csccttctaaat atccaaaggcc ttgttcaaggc ttcccgtaac	300
gttcaacgacgtt gcatgttcat tggcgacggacc actgttggatc cgccgttggaa atccaaacaaac	360
accctgtcagg gtgtgcgtgtt gttgttccgtt caggccactt acgggactaa ctctgtttcc	420
gtatgttggatc tttatccaggta tggaaattccgtt ccacgttccgg aagaaatccgtt tggcggtttcc	480
atcccgactt attttacccgg ttttttttttttccgttccgg acaacccaaatccgtt qasastccaaq	540
gttgggttttttccgttccgg aacccatttttttccgttccgg atccatccgttccgg aaaaaatccgtt ttttttttttttccgttccgg	600
tttggcccttttccgttccgg atgggttccgttccgg ttttttttttttccgttccgg cccgggttttttccgttccgg	660
tttttttttttccgttccgg atccatccgttccgg aacccacttttccgttccgg ttttttttttttccgttccgg	720
tttttttttttccgttccgg atccatccgttccgg aacccacttttccgttccgg ttttttttttttccgttccgg	780
ggggcasttccaaatccgttccgg ttttttttttttccgttccgg	825

<210> 10

<211> 274

<212> PRT

<213> Salmonella dublin

<400> 10

Met Arg Gly Ser His His His His His His Gly Met Ala Ser Met Thr	
1 5 10 15	
Gly Gly Gln Gln Met Gly Arg Asp Leu Tyr Asp Asp Asp Lys Asp	
20 25 30	
Pro Met Ala Gln Val Ile Asn Thr Asn Ser Leu Ser Leu Leu Thr Gln	
35 40 45	
Asn Asn Leu Asn Lys Ser Gln Ser Ser Leu Ser Ser Ala Ile Glu Arg	

50 55 60	
Leu Ser Ser Gly Leu Arg Ile Asn Ser Ala Lys Asp Asp Ala Ala Gly	
65 70 75 80	
Gln Ala Ile Ala Asn Arg Phe Thr Ser Asn Ile Lys Gly Leu Thr Gln	
85 90 95	
Ala Ser Arg Asn Ala Asn Asp Gly Ile Ser Ile Ala Gln Thr Thr Glu	
100 105 110	
Gly Ala Leu Asn Gln Ile Asn Asn Leu Gln Arg Val Arg Gln Leu	
115 120 125	
Ser Val Gln Ala Thr Asn Gly Thr Asn Ser Asp Ser Asp Leu Lys Ser	
130 135 140	
Ile Gln Asp Gln Ile Gln Gln Arg Leu Gln Gln Ile Asp Arg Val Ser	
145 150 155 160	
Asn Gln Thr Gln Asn Gly Val Lys Val Leu Ser Gln Asp Asn Gln	
165 170 175	
Met Lys Ile Gln Val Gly Ala Asn Asp Gly Glu Thr Ile Thr Ile Asp	
180 185 190	
Leu Gln Lys Ile Asp Val Lys Ser Leu Gly Leu Asp Gly Phe Asn Val	
195 200 205	
Asn Ser Pro Gly Ile Ser Gly Gly Gly Gly Ile Leu Asp Ser Met	
210 215 220	
Gly Thr Leu Ile Asn Gln Asp Ala Ala Ala Lys Ser Thr Ala	
225 230 235 240	
Asn Pro Leu Ala Ser Ile Asp Ser Asn Leu Ser Lys Val Asp Ala Val	
245 250 255	
Arg Ser Ser Leu Gly Ala Ile Gln Asn Arg Phe Asp Ser Ala Ile Thr	
260 265 270	
Asn Leu	

<210> 11

<211> 831

<212> DNA
<213> *Salmonella dublin*

卷之三

atgggggggtt	cttcatacatca	tcatatcatcat	ggtatggccts	gcatacgactcg	ttggacacgca	60
atggggicggg	atccgttacga	cgtatgacgat	aaggatccgt	tcacttctaa	tatcaaaggc	120
ctgacttcagg	cttcccgtaa	cgcttacccgac	ggcattttcta	ttgcgcagac	cactgaaagg	180
ggcgctgaaat	aaatccaaacaa	caacctgtcgag	cgtgtgcgtg	agtgtgcgtg	tcaggccact	240
ttccggggatc	atctgtatcc	cgatgtgaaa	tctatccagg	atgaaatcga	gcaacgtctg	300
ggaaagaatcc	atccgcgttcc	taatccagact	caattttacg	gtgtttaaagg	cctctctca	360
ggacaaaccaga	tggaaatccc	gggtgggtgtt	aaacqatggtg	aaaccatcac	categatctg	420
caaaaaaaatc	atgtgaaaaag	cottgggcctt	gatgggttca	atgtttaattt	ccccggaaatt	480
tccgggtggt	gtggtgaaat	tctagactcc	atgggttacat	taatcaatgt	agacgtgtcc	540
gtcaagccaaaga	aaatgttccgc	taacccacttg	gtttcaatgg	atttgtgtat	gttssaaaagg	600
qaacggcagttc	gttttttcttc	ggggggcaattt	caaaaacccgtt	ttggatcagc	cattaccac	660
cttggcaata	cggttacccaa	tctgttactcc	ggcgctgtgg	gtatcgaaga	tgctgtactat	720
ggcaacggaaat	ttttcttaat	gttttttttttt	caatgttccgt	agcaggccgg	tacttccgtt	780
cttgcgttcagg	cttacccagg	ttccgcacaaac	gttcttctttt	tacttgcgttt	tttttttttttt	840

卷之三

卷之三

2812x PRT

<213> *Salmonella dublin*

2400x 32

Met	Arg	Gly	Ser	His	His	His	His	Asp	Gly	Met	Ala	Ser	Met	Thr	
1				5					10				15		
Gly	Gly	Gln	Gln	Met	Gly	Arg	Asp	Leu	Tyr	Asp	Asp	Asp	Lys	Asp	
					20				25				30		
Phe	Phe	Thr	Ser	Asn	Ile	Lys	Gly	Leu	Thr	Gln	Ala	Ser	Arg	Asn	Ala
					35				40				45		
Asn	Asp	Gly	Ile	Ser	Ile	Ala	Gln	Thr	Thr	Glu	Gly	Ala	Leu	Asn	Glu

50	55	60
Ile Asn Asn Asn Leu Gln Arg Val Arg Gln Leu Ser Val Gln Ala Thr		
65	70	75
Asn Gly Thr Asn Ser Asp Ser Asp Leu Lys Ser Ile Gln Asp Glu Ile		\$9
	85	90
Gln Gln Arg Leu Glu Gln Ile Asp Arg Val Ser Asn Gln Thr Gln Phe		95
	100	105
Asn Gly Val Lys Val Leu Ser Gln Asp Asn Gln Met Lys Ile Gln Val		110
	115	120
Gly Ala Asn Asp Gly Glu Thr Ile Thr Ile Asp Leu Gln Lys Ile Asp		125
	130	135
Val Lys Ser Leu Gly Leu Asp Gly Phe Asn Val Asn Ser Pro Gly Ile		140
	145	150
Ser Gly Gly Gly Gly Ile Leu Asp Ser Met Gly Thr Leu Ile Asn		155
	165	170
Glu Asp Ala Ala Ala Lys Lys Ser Thr Ala Asn Pro Leu Ala Ser		175
	180	185
Ile Asp Ser Ala Leu Ser Lys Val Asp Ala Val Arg Ser Ser Leu Gly		190
	195	200
Ala Ile Gln Asn Arg Phe Asp Ser Ala Ile Thr Asn Leu Gly Asn Thr		205
	210	215
Val Thr Asn Leu Asn Ser Ala Arg Ser Arg Ile Glu Asp Ala Asp Tyr		220
	225	230
Ala Thr Gln Val Ser Asn Met Ser Lys Ala Gln Ile Leu Gln Gln Ala		235
	245	250
Gly Thr Ser Val Val Leu Ala Gln Ala Asn Gln Val Pro Gln Asn Val Leu		255
	260	265
Ser Leu Leu Arg		270
	275	

2010-10

१८४

◀◀◀ DNA

<213> *Salmonella dublin*

<408> 13

atgcgggggtt	cgtcatcatca	tatccatcat	gggttgtggcta	gcatgacttg	tggacacggca	600
atgggtcgaa	atctgttacgt	cgtatgacgt	aaaggatccgt	tcaatttcata	tatccaaaggc	1200
ctgacttcagg	tttccccgtaa	cgttaacccgc	ggcatttttata	tttgcgcagcc	cacttgaaagt	1800
gcgtgtggatg	aaatccacaa	ccacactcgac	cggtgtgcgtg	agttgttctgt	tttagggcoact	2400
aaatggggacta	atctgttacgt	cgatctgtaaa	tatccatccgg	atggaaatcca	gtttaaatgg	3000
aaatggggatcg	atccgcgtttt	taatccatgt	ccatctttaaacg	gtgtttaaagt	cccttcetcaq	3600
gacatccaccgt	tgaaaaatcca	gtttttgtgt	aacgtatggtg	aaaccatcac	catacgatctg	4200
caaaaaatgt	atgtgtggaaat	ctttggggctt	gttggggttca	stgtttaatcc	ccccggggaaat	4800
ttccgggtgggt	gttgtgtggat	tatccatcttcc	atgggttacat	ttatccatca	agacgtgtcc	5400
ggatggcaaga	aaatgttccgtc	taaccctactg	gttccatattgt	attttgttca	gtttaaatgtg	6000
gacggcgttcc	gtttttttttt	ggggggcaatt	ccatccacgtt	tttgcattca	cattacccaaac	6600
tttttag						666

42102 34

421 221

2128 PH

«२१३» *Salmonella* अप्पांग

۱۴۸

Asn	Asn	Asn	Asn	Leu	Gln	Arg	Val	Arg	Glu	Leu	Ser	Val	Gln	Ala	Thr
65				70					75					80	
Asn	Gly	Thr	Asn	Ser	Asp	Ser	Asp	Leu	Lys	Ser	Ile	Gln	Asp	Glu	Ile
					85				90					95	
Gln	Gln	Arg	Leu	Glu	Glu	Ile	Asp	Arg	Val	Ser	Asn	Gln	Thr	Gln	Phe
					100				105					110	
Asn	Gly	Val	Lys	Val	Leu	Ser	Gln	Asp	Asn	Gln	Met	Lys	Ile	Gln	Val
					115				120			125			
Gly	Ala	Asn	Asp	Gly	Glu	Thr	Ile	Thr	Ile	Asp	Leu	Gln	Lys	Ile	Asp
					130				135			140			
Val	Lys	Ser	Leu	Gly	Ieu	Asp	Gly	Phe	Asn	Val	Asn	Ser	Pro	Gly	Ile
145					150				155					160	
Ser	Gly	Gly	Gly	Gly	Ile	Leu	Asp	Ser	Met	Gly	Thr	Leu	Ile	Asn	
					165				170					175	
Glu	Asp	Ala	Ala	Ala	Ala	Lys	Ser	Thr	Ala	Asn	Pro	Leu	Ala	Ser	
					180				185					190	
Ile	Asp	Ser	Ala	Leu	Ser	Lys	Val	Asp	Ala	Val	Arg	Ser	Ser	Leu	Gly
					195				200			205			
Ala	Ile	Gln	Asn	Arg	Phe	Asp	Ser	Ala	Ile	Thr	Asn	Leu			
					210				215			220			

215

◀ 211 ▶ 203

cDNA

<213> Salmonella dublin

2800-15

2018-19

2011-200

三

«କୁଳାଳ କାନ୍ତିମାଣ ପଦ୍ମନାଭ

二〇

Met Arg Gly Ser His His His His His His Gly Met Ala Ser Met Thr
 1 5 19 15
 Gly Gly Gln Gln Met Gly Arg Asp Leu Tyr Asp Asp Asp Lys Asp
 20 23 30
 Pro Phe Thr Ser Asn Ile Lys Gly Leu Thr Gln Ala Ser Arg Asn Ala
 35 40 45
 Asn Asp Gly Ile Ser Ile Ala Gln Thr Thr Glu Gly Ala Ieu Asn Glu
 50 55 60
 Ile Asn Asn Asn Leu Gln Arg Val Arg Glu Leu Ser Val Gln Ala Thr
 65 70 75 80
 Ser Pro Gly Ile Ser Gly Gly Gly Gly Ile Ieu Asp Ser Met Gly
 85 90 95
 Thr Leu Ile Asn Asp Ala Ala Ala Lys Lys Ser Thr Ala Asn
 100 105 110
 Pro Leu Ala Ser Ile Asp Ser Ala Leu Ser Lys Val Asp Ala Val Arg
 115 120 125
 Ser Ser Leu Gly Ala Ile Gln Asn Arg Phe Asp Ser Ala Ile Thr Asn
 130 135 140

Leu Gly Asn Thr Val Thr Asn Leu Asn Ser Ala Arg Ser Arg Ile Glu
 145 150 155 160
 Asp Ala Asp Tyr Ala Thr Glu Val Ser Asn Met Ser Lys Ala Gln Ile
 165 170 175
 Leu Gln Gln Ala Gly Thr Ser Val Leu Ala Gln Ala Asn Gln Val Pro
 180 185 190
 Gln Asn Val Leu Ser Leu Leu Arg
 195 200

<210> 17

<211> 438

<212> DNA

<213> Salmonella dublin

<400> 17

atgcgggggtt ctcatcatca tcatcatcat gttatggcta gcatgactgg tggacaccaa	60
atgggtcggtt atccgtacga cgtatgacgt aaggatccgt tcaatctttaa tatcaaaggc	120
ctgactcagg ctccccgtaa cgcttaacgac ggcattttta ttgcgcagac cactgaaggt	180
gcgcgtgtatc aaatcaacaa caacctgcag cttgtgcgtg agttgtttgtt tcaaggccat	240
tcccccggaa tttccoggtgg tgggtgtgga atttttagact ccattgggtac attaatcaat	300
gaagacgcgtt ccgcacccaa gaaaatgtacc gctaacccac tggcttcaat tgattctgca	360
tttgtcaaaaat tggscgcagt tggttttttt ctggggggca& ttcasascccg ttttgattca	420
gcatttacca acctttat	438

<210> 18

<211> 145

<212> PRT

<213> Salmonella dublin

<400> 18

Met Arg Gly Ser His His His His His His Gly Met Ala Ser Met Thr
 1 5 10 15
 Gly Gly Gln Gln Met Gly Arg Asp Leu Tyr Asp Asp Asp Lys Asp
 20 25 30
 Pro Phe Thr Ser Asn Ile Lys Gly Leu Thr Gln Ala Ser Arg Asn Ala
 35 40 45
 Asn Asp Gly Ile Ser Ile Ala Gln Thr Thr Glu Gly Ala Leu Asn Glu
 50 55 60
 Ile Asn Asn Asn Leu Gln Arg Val Arg Glu Leu Ser Val Gln Ala Thr
 65 70 75 80
 Ser Pro Gly Ile Ser Gly Gly Gly Gly Ile Leu Asp Ser Met Gly
 85 90 95
 Thr Leu Ile Asn Glu Asp Ala Ala Ala Lys Lys Ser Thr Ala Asn
 100 105 110
 Pro Leu Ala Ser Ile Asp Ser Ala Leu Ser Lys Val Asp Ala Val Arg
 115 120 125
 Ser Ser Leu Gly Ala Ile Gln Asn Arg Phe Asp Ser Ala Ile Thr Asn
 130 135 140
 Leu
 145

42192-30

233-839

26S rRNA

<Q13> *Salmonella dublin*

卷之三

atgcgggggtt	ctcatacatca	tcattatcat	ggtatggcta	gcataactgg	tggacacgcaa	60
atgggtcggt	atcttgtscgt	cgtatgacgt	atgggtatccgt	tggcacaatgt	cattaatata	120
aacacgttgt	cgttgttgac	ccaaatataac	ctgaacaaat	ctcagtgcttc	actggatgtcc	180
gttattttgtt	gtctgttttctt	tggttctgtgt	atcaacacgtgt	cgaaatggat	tggggcaggc	240
caggccatgtt	ctaaatccgtt	cactttat	atcaaaggctt	tgtatccatgg	ttcccccgttt	300
gtctatgtttt	gtatgtttat	tgcgtatgttt	atgtttatgttt	cgatgtatgt	aatcaacaaat	360
atccatccat	atgtatgtttt	atgtatgtttt	atgtttatgttt	atgtttatgttt	atgtttatgttt	420

```

gatctggaaat ctatccaggc tggaaattcag caccgtctgg sagasatcga tcgcgtttat 480
atcagacgc aatttaaacgg tgtaaaggc ctgtctcagg acAACccatgat gaaaatccgg 540
gttgggtgcata acgatggtgaa aaccatttacc atcgatctgc aaaaaatgtgatgtgaaaggc 600
cttggcccttq atggggtccaa ttgttaatccccc ccggggatgtaa 660

```

2010-20

卷之三

4212x PBT

<213> *Salmonella* *typhimurium*

Page 20

Met Arg Gly Ser His His His His His His Gly Met Ala Ser Met Thr
 1 5 10 15
 Gly Gly Gln Gln Met Gly Arg Asp Leu Tyr Asp Asp Asp Asp Lys Asp
 20 25 30
 Pro Met Ala Gln Val Ile Asn Thr Asn Ser Leu Ser Leu Leu Thr Gln
 35 40 45
 Asn Asn Leu Asn Lys Ser Gln Ser Ser Leu Ser Ser Ala Ile Glu Arg
 50 55 60
 Leu Ser Ser Gly Leu Arg Ile Asn Ser Ala Lys Asp Asp Ala Ala Gly
 65 70 75 80
 Gln Ala Ile Ala Asn Arg Phe Thr Ser Asn Ile Lys Gly Leu Thr Gln
 85 90 95
 Ala Ser Arg Asn Ala Asn Asp Gly Ile Ser Ile Ala Gln Thr Thr Glu
 100 105 110
 Gly Ala Leu Asn Glu Ile Asn Asn Asn Leu Gln Arg Val Arg Glu Leu
 115 120 125
 Ser Val Gln Ala Thr Asn Gly Thr Asn Ser Asp Ser Asp Leu Lys Ser
 130 135 140
 Ile Gln Asp Glu Ile Gln Gln Arg Leu Glu Glu Ile Asp Arg Val Ser
 145 150 155 160
 Asn Gln Thr Gln Phe Asn Gly Val Lys Val Leu Ser Gln Asp Asn Gln
 165 170 175
 Met Lys Ile Gln Val Gly Ala Asn Asp Gly Glu Thr Ile Thr Ile Asp
 180 185 190
 Leu Gln Lys Ile Asp Val Lys Ser Leu Gln Asp Gly Phe Asn Val
 195 200 205
 Asn Ser Pro Gly
 210

<210> 21

<211> 460

<212> DNA

<213> Salmonella dublin

<400> 21

```

atgcgggggtt ctcatctatca tcatcatcat ggtatggcta gcatgactgg tggacacgaa 60
atgggtcggy atctgtcaga cgtatgacgat aaggatccgt tcacttcata tatcaaaagg 120
ctgacttcagg cttecccgtaa cgtatccggc ggcattttca ttgcgcagac cactgaagg 180
gcgttgaaatg aaatcaacaa caacccatcgag cgtgtgcgtg agttgtctgt tcaggccact 240
aaccggggacta actctgtatcc cgtatcgaaa tcataccagg atgaaatcca gcaacgtctg 300
gaagaatctcg atcgcgtttc taatcagact caatcaaacy gtgtttaaagt cctgtctcg 360
gacaaaccaga tgaaaaatcca gggttgtgtc aaccgtatggtg aaaccatiac catcgatctg 420
caaaaaatcg atgtgaaasag ctttggccctt gatgggttca atgttaatcc acggggatga. 480

```

<210> 22

<211> 159

<212> PRT

<213> Salmonella dublin

<400> 22

Met Arg Gly Ser His His His His His His Gly Met Ala Ser Met Thr
 1 5 10 15
 Gly Gly Gln Gln Met Gly Arg Asp Leu Tyr Asp Asp Asp Asp Lys Asp

20	25	30
Pro Phe Thr Ser Asn Ile Lys Gly Leu Thr Gln Ala Ser Arg Asn Ala		
35	40	45
Asn Asp Gly Ile Ser Ile Ala Gln Thr Thr Glu Gly Ala Leu Asn Glu		
50	55	60
Ile Asn Asn Asn Leu Gln Arg Val Arg Glu Leu Ser Val Gln Ala Thr		
65	70	75
Asn Gly Thr Asn Ser Asp Ser Asp Leu Lys Ser Ile Gln Asp Glu Ile		
85	90	95
Gln Gln Arg Leu Glu Glu Ile Asp Arg Val Ser Asn Gln Thr Gln Phe		
100	105	110
Asn Gly Val Lys Val Leu Ser Gln Asp Asn Gln Met Lys Ile Gln Val		
115	120	125
Gly Ala Asn Asp Gly Glu Thr Ile Thr Ile Asp Leu Gln Lys Ile Asp		
130	135	140
Val Lys Ser Leu Gly Leu Asp Gly Phe Asn Val Asn Ser Pro Gly		
145	150	155

<210> 23

<211> 252

<212> DNA

<213> Salmonella dublin

<400> 23

atgggggggtt ctcatcatca tcatcatcat ggtatggcta gcatgactgg tggacacgca	60
atggggtcgg atcggtacga cgtgcacgtt aaggatccgtt tcacttctsa tatcaaaagg	120
ctgacttcgg ctccccgtta cgcttacgtac ggcattttta ttgcgcacgc cacttggat	180
ggcgtgtatg aaatccacca caacctgtcag cgttgttgtt agtttgttgtt tcaggccact	240
tccccggat ga	252

<210> 24

<211> 63

<212> PRT

<213> Salmonella dublin

<400> 24

Met Arg Gly Ser His His His His His His Gly Met Ala Ser Met Thr	15
1 5 10 15	
Gly Gly Gln Gln Met Gly Arg Asp Leu Tyr Asp Asp Asp Asp Lys Asp	20
25 28 30	
Pro Phe Thr Ser Asn Ile Lys Gly Leu Thr Gln Ala Ser Arg Asn Ala	35
35 40 45	
Asn Asp Gly Ile Ser Ile Ala Gln Thr Thr Glu Gly Ala Leu Asn Glu	50
50 55 60	
Ile Asn Asn Asn Leu Gln Arg Val Arg Glu Leu Ser Val Gln Ala Thr	65
65 70 75	
Ser Pro Gly	80

<210> 25

<211> 1036

<212> DNA

<213> Salmonella dublin

<400> 25

atgtccctta tactagggtt ttggaaaatt aegggcattg tgcaacccac togacttctt	60
tggaaatac ttggaaaaaa atatgaaqag catitgtatg aqcgcqatqa aqgtgatcaa	120
ttggcgaacaca aaaaqtttg attgggtttg gagttccccat atcttcctta tstatattgtat	180
qgtqatgtta aattdaacaca gtctatggcc atcatacgtt atataqctga caagcacaaac	240
atgtttgggtg gttgtccaaa agagcqgtgcg gagatttcaat tgcttgaagg aqcggttttg	300
gatattkagat aqgggtgtttc qagsatttgcg tatagttggaaatc acitggasac tctcaaaagt	360
gatatttctta qcaaqetacc tgaaatgttg aaaaatgtttag aqatgtttagt atgtcaataaa	420
acatatttaa atgggtgtatca tgtaaaaaatc aqgtqatccat ttttgttatqat cqtctttgtat	480
tttggttttat acatggaccc aatgtgcctt gatgcgttcc caaaattttagt ttgttttcaaa	540
aaacgttattg aqgtatccatc acaaaattgtat aqgtacttgcg aatccagcaat qtatatacgca	600

tggccctttgc aqggctgtgcg aqccacatgtt ggtgggtggcg accatccatcc aaaaatggat	660
ctgggttcgcg qtggatcccc ggaaattttcc ggtgggtggcg tggtggatctt aqactccatq	720
qgtacattaa tcaatgaaga cgctqccgcg qccaagaaaaa qtaaccgttcaatccatgtgtt	780
tcaatgtatt ctgcatttgc aaaaatggatcc gcaatgttgcg ttttctctggg gggcaatttcaaa	840
accggtttttgc attcagccat taccacacccat gggcaatatacgqg taaccaatctt gaaatcccgcg	900
cgtaqccgtta tcgaaatgtgc tgactatgtca aqggaaatgtt ttaatatgttc taaagcccg	960
atctctgtcage aqgttggatcc ttccgttttg gcccaggatca accaggatcc qcaaaatcgcc	1020
ctctctttac tgctttat	1038

<210> 26

<211> 345

<212> PRT

<213> *Salmonella dublin*

<400> 26

Met Ser Pro Ile Leu Gly Tyr Trp Lys Ile Lys Gly Leu Val Gln Pro
 1 5 10 15
 Thr Arg Leu Leu Leu Glu Tyr Leu Glu Glu Lys Tyr Glu Glu His Leu
 20 25 30
 Tyr Glu Arg Asp Glu Gly Asp Lys Trp Arg Asn Lys Lys Phe Glu Leu
 35 40 45
 Gly Leu Glu Phe Pro Asn Leu Pro Tyr Tyr Ile Asp Gly Asp Val Lys
 50 55 60
 Leu Thr Gln Ser Met Ala Ile Ile Arg Tyr Ile Ala Asp Lys His Asn
 65 70 75 80
 Met Leu Gly Gly Cys Pro Lys Glu Arg Ala Glu Ile Ser Met Leu Glu
 85 90 95
 Gly Ala Val Leu Asp Ile Arg Tyr Gly Val Ser Arg Ile Ala Tyr Ser
 100 105 110
 Lys Asp Phe Glu Thr Leu Lys Val Asp Phe Leu Ser Lys Leu Pro Glu
 115 120 125
 Met Leu Lys Met Phe Glu Asp Arg Leu Cys His Lys Thr Tyr Leu Asn
 130 135 140
 Gly Asp His Val Thr His Pro Asp Phe Met Leu Tyr Asp Ala Leu Asp
 145 150 155 160
 Val Val Leu Tyr Met Asp Pro Met Cys Leu Asp Ala Phe Pro Lys Leu
 165 170 175
 Val Cys Phe Lys Lys Arg Ile Glu Ala Ile Pro Gln Ile Asp Lys Tyr
 180 185 190
 Leu Lys Ser Ser Lys Tyr Ile Ala Trp Pro Leu Gln Gly Trp Gin Ala
 195 200 205
 Thr Phe Gly Gly Asp His Pro Pro Lys Ser Asp Leu Val Pro Arg
 210 215 220
 Gly Ser Pro Gly Ile Ser Gly Gly Gly Ile Leu Asp Ser Met
 225 230 235 240
 Gly Thr Leu Ile Asn Glu Asp Ala Ala Ala Lys Lys Ser Thr Ala
 245 250 255
 Asn Pro Leu Ala Ser Ile Asp Ser Ala Leu Ser Lys Val Asp Ala Val
 260 265 270
 Arg Ser Ser Leu Gly Ala Ile Gln Asn Arg Phe Asp Ser Ala Ile Thr
 275 280 285
 Asn Leu Gly Asn Thr Val Thr Asn Leu Asn Ser Ala Arg Ser Arg Ile
 290 295 300
 Glu Asp Ala Asp Tyr Ala Thr Gln Val Ser Asn Met Ser Lys Ala Gln
 305 310 315 320
 Ile Leu Gln Gln Ala Gly Thr Ser Val Leu Ala Gln Ala Asn Gln Val
 325 330 335
 Pro Gln Asn Val Leu Ser Leu Leu Arg
 340 345

<210> 27

<211> 873

<212> DNA

<213> Salmonella dublin

<400> 27

atgtcccccta tactagttt	tggaaaattt	aaggcccttg	tgcaacccac	tcgacttett	69
ttggaaatac	ttgaagaasa	atatgeagag	catttgtatg	agcgcgatga	120
tggcggaaacc	asasgtttgc	attgggttttg	gagtttccca	atcttcttta	180
gggtatgtta	aattaacaca	gtctatggcc	atctatcgat	atatacgatga	240
atgttgggtg	gttgtccaaa	agagcgtgca	gagatitcaa	tgttggaaag	300
gatatttagat	acgggttttc	gagaatttgc	tatagttaasg	actttgaaac	360
gtttttctta	gcaagctacc	tgsaatqctg	aaatgttgc	aaatcggttt	420
acatatttaa	atgggtatca	tgtascccat	cctgacttca	tgttgtatga	480
gttgttttat	acatggaccc	aatgtqccctg	gatgggttcc	aaaaattttagt	540
aaacgttattg	acatgtatccc	acaaatgtat	aaatgttgc	atccatggaa	600
tggcccttgc	egggctggcc	egccacgttt	gttgggtggc	accatccccc	660
ctgggttccgc	gtggatcccc	gggaatttcc	ggttgtgggt	gtggaaatttct	720
ggcacatcaa	tcaatggaaa	cgctggccgc	gccsagaaaa	gtaccgcctaa	780
tcaattgtat	ctgcattgttc	aaatgtggac	gcagttcggt	ccctatggct	840
saccgrrtgc	attcagccat	taccaacccct	tag		873

<210> 28

<211> 280

<212> PRT

<213> Salmonella dublin

<400> 28

Met Ser Pro Ile Leu Gly Tyr Trp Lys Ile Lys Gly Leu Val Gln Pro				
1	5	10	15	
Thr Arg Leu Leu Glu Tyr Leu Glu Glu Lys Tyr Glu Glu His Leu				
20	25	30		
Tyr Glu Arg Asp Glu Gly Asp Lys Trp Arg Asn Lys Lys Phe Glu Leu				
35	40	45		
Gly Leu Glu Phe Pro Asn Leu Pro Tyr Tyr Ile Asp Gly Asp Val Lys				
50	55	60		
Ieu Thr Gin Ser Met Ala Ile Ile Arg Tyr Ile Ala Asp Lys His Asn				
65	70	75	80	
Met Leu Gly Gly Cys Pro Lys Glu Arg Ala Glu Ile Ser Met Leu Glu				
85	90	95		
Gly Ala Val Leu Asp Ile Arg Tyr Gly Val Ser Arg Ile Ala Tyr Ser				
100	105	110		
Lys Asp Phe Glu Thr Leu Lys Val Asp Phe Leu Ser Lys Leu Pro Glu				
115	120	125		
Met Leu Lys Met Phe Glu Asp Arg Leu Cys His Lys Thr Tyr Leu Asn				
130	135	140		
Gly Asp His Val Thr His Pro Asp Phe Met Leu Tyr Asp Ala Leu Asp				
145	150	155	160	
Val Val Leu Tyr Met Asp Pro Met Cys Leu Asp Ala Phe Pro Lys Leu				
165	170	175		
Val Cys Phe Lys Lys Arg Ile Glu Ala Ile Pro Gln Ile Asp Lys Tyr				
180	185	190		
Leu Lys Ser Ser Lys Tyr Ile Ala Trp Pro Leu Gln Gly Trp Gln Ala				
195	200	205		
Thr Phe Gly Gly Asp His Pro Pro Lys Ser Asp Leu Val Pro Arg				
210	215	220		
Gly Ser Pro Gly Ile Ser Gly Gly Gly Gly Ile Leu Asp Ser Met				
225	230	235	240	
Gly Thr Leu Ile Asn Glu Asp Ala Ala Ala Lys Lys Ser Thr Ala				
245	250	255		
Asn Pro Leu Ala Ser Ile Asp Ser Ala Leu Ser Lys Val Asp Ala Val				
260	265	270		
Arg Ser Ser Leu Gly Ala Ile Gln Asn Arg Phe Asp Ser Ala Ile Thr				
275	280	285		
Asn Leu				

<210> 39
<211> 872
<212> DNA
<213> *Salmonella dublin*

2400x 29

atggcggggtt ctccatca tcatcatcat cgtatggcta gcatgactgg tggacagcaa 60
atgggtcggtt atctgtacga cgatgcgat saggatcgg tggcacaagt catraataca 120
aaacggctgt cgcttgtac ccagaataac ctgaacaaat ctgcgttc actgaggtec 180
gtttatggac gtctgtccctc tggtctgcgtt atcaacagcg cggaaagacga tccggcaggc 240
cggcgtatcg ctaaccgcgtt cacttctaat atcaaaaggcc tgcactcgacg ttcggctaa 300
gtctaaqcacg geatrtctat tgccgcagacc scrqaaagggtg cgcgtaaatga aatcaacacc 360
aacctgcacg gtgtgcgttg tttgtctgtt cggccacta acggactaa ctctgatcc 420
gtctgtaaat ctatccaggta tgaaatttcag cgcgttcgtt aaaaatcgta tccgttttct 480
atccagacte aatttaaacgg tggttaaaatgc ctcttcttcgg acaaccaggat gaaaaatccag 540
gttgggtgtta acgatgggtga aaccatrrac accgtatgtc aaaaaatgtg tttgtggaaatgc 600
cttggcgtta tccogggaat ttccgggtgtt ggtgggtggaa ttcccgatctc catgggtaca 660
ttatccatg aagacgcgtgc cgcagccaaag aaaaatccatg tcaacccact ggcttcaattt 720
gatccgtat tttgtccaaatgg ggcacgcgtt cgttttttttcc tgggggcaat tcaaaaacgt 780
tttgatttcag ccatttaccaas ctttggcaat acggtaacca atctgtasactc cgcgcgttgc 840
cgatccgtaaag argtgtacca tgcacacggaa gtttctataa tttgttccatg gcatggatctg 900
cgcacggcgtt gacttccgtt tttgtgcgttg gcttaaccagg ttccgcgttgc aatccctctt 960
tttacttcgtt ag

<210> 30
<211> 323
<212> PRT
<213> *Salmonella* phage

- 30 -

Met Arg Gly Ser His His His His His Gly Met Ala Ser Met Thr
 1 5 10 15
 Gly Gly Gln Gln Met Gly Arg Asp Leu Tyr Asp Asp Asp Asp Lys Asp
 20 25 30
 Pro Met Ala Gln Val Ile Asn Thr Asn Ser Leu Ser Leu Leu Thr Gln
 35 40 45
 Asn Asn Leu Asn Lys Ser Gln Ser Ser Leu Ser Ser Ala Ile Gln Arg
 50 55 60
 Leu Ser Ser Gly Leu Arg Ile Asn Ser Ala Lys Asp Asp Ala Ala Gly
 65 70 75 80
 Gln Ala Ile Ala Asn Arg Phe Thr Ser Asn Ile Lys Gly Leu Thr Gln
 85 90 95
 Ala Ser Arg Asn Ala Asn Asp Gly Ile Ser Ile Ala Gln Thr Thr Glu
 100 105 110
 Gly Ala Leu Asn Glu Ile Asn Asn Asn Leu Gln Arg Val Arg Glu Leu
 115 120 125
 Ser Val Gln Ala Thr Asn Gly Thr Asn Ser Asp Ser Asp Leu Lys Ser
 130 135 140
 Ile Gln Asp Glu Ile Gln Gln Arg Leu Glu Glu Ile Asp Arg Val Ser
 145 150 155 160
 Asn Gln Thr Gln Phe Asn Gly Val Lys Val Leu Ser Gln Asp Asn Gln
 165 170 175
 Met Lys Ile Gln Val Gly Ala Asn Asp Gly Glu Thr Ile Thr Ile Asp
 180 185 190
 Leu Gln Ile Asp Val Lys Ser Leu Gln Leu Ile Pro Gly Ile Ser
 195 200 205
 Gly Gly Gly Gly Ile Leu Asp Ser Met Gly Thr Leu Ile Asn Glu
 210 215 220
 Asp Ala Ala Ala Ala Lys Ser Thr Ala Asn Pro Leu Ala Ser Ile
 225 230 235 240
 Asp Ser Ala Leu Ser Lys Val Asp Ala Val Arg Ser Ser Leu Gly Ala

245 250 255
 Ile Gln Asn Arg Phe Asp Ser Ala Ile Thr Asn Leu Gln Asn Thr Val
 260 265 270
 Thr Asn Leu Asn Ser Ala Arg Ser Arg Ile Gln Asp Ala Asp Tyr Ala
 275 280 285
 Thr Gln Val Ser Asn Met Ser Lys Ala Gln Ile Leu Gln Gln Ala Gly
 290 295 300
 Thr Ser Val Leu Ala Gln Ala Asn Gln Val Pro Gln Asn Val Leu Ser
 305 310 315 320
 Leu Leu Arg

<290> 31
 <291> 613
 <292> DNA
 <293> *Salmonella dublin*
 <400> 31

atgcgggtt ctcatcatca tcatcatcat ggtatggctt gcatgactcg tggacagc aa	60
atgggtcggtt atctgtacgt cgatgtacgt aaggatccgt tcacttctaa tatcaaaggc	120
ctgactcgg ctcccgtaaa cgttacacgt gycatitctt ttgcgcagac cactgttttg	180
gctgtgaatg aaatcaacaa caacatgtcag cgtgtgcgtt agtttgtctgt tcaggccact	240
aaatgggacta actctgtttc cgatctgtaaa ttatccagg atgaaattca gcaacgttgt	300
gaatgtttttc atctgtttttc taatcaactt caattttacgt gtgtttttttt ctttttttttt	360
gtcaaccatgtt gttttttttttt gttttttttttt aaccatgtttttttttttt ctttttttttttt	420
caaaaaatgtt atgtgtttttt cttttttttttt atccccggaa ttttttttttttt tttttttttttt	480
ttttttttttttt ttttttttttttt ttttttttttttt ttttttttttttt ttttttttttttt	540
ttttttttttttt ttttttttttttt ttttttttttttt ttttttttttttt ttttttttttttt	600
ttttttttttttt ttttttttttttt ttttttttttttt ttttttttttttt ttttttttttttt	660
ttttttttttttt ttttttttttttt ttttttttttttt ttttttttttttt ttttttttttttt	720
ttttttttttttt ttttttttttttt ttttttttttttt ttttttttttttt ttttttttttttt	780
ttttttttttttt ttttttttttttt ttttttttttttt ttttttttttttt ttttttttttttt	813

<210> 32

<211> 270

<212> PRT

<213> *Salmonella dublin*

<400> 32

Met Arg Gly Ser His His His His His His Gly Met Ala Ser Met Thr	
1 5 10 15	
Gly Gly Gln Gln Met Gly Arg Asp Leu Tyr Asp Asp Asp Lys Asp	
20 25 30	
Phe Phe Thr Ser Asn Ile Lys Gly Leu Thr Gln Ala Ser Arg Asn Ala	
35 40 45	
Asn Asp Gly Ile Ser Ile Ala Gln Thr Thr Glu Gly Ala Leu Asn Glu	
50 55 60	
Ile Asn Asn Asn Leu Gln Arg Val Arg Glu Leu Ser Val Gln Ala Thr	
65 70 75 80	
Asn Gly Thr Asn Ser Asp Ser Asp Leu Lys Ser Ile Gln Asp Glu Ile	
85 90 95	
Gln Gln Arg Leu Glu Glu Ile Asp Arg Val Ser Asn Gln Thr Gln Phe	
100 105 110	
Asn Gly Val Val Leu Ser Gln Asp Asn Gln Met Lys Ile Gln Val	
115 120 125	
Gly Ala Asn Asp Gly Glu Thr Ile Thr Ile Asp Leu Gln Lys Ile Asp	
130 135 140	
Val Lys Ser Leu Gly Leu Ile Pro Gly Ile Ser Gly Gly Gly Gly	
145 150 155 160	
Ile Leu Asp Ser Met Gly Thr Leu Ile Asn Glu Asp Ala Ala Ala Ala	
165 170 175	
Lys Lys Ser Thr Ala Asn Pro Leu Ala Ser Ile Asp Ser Ala Leu Ser	
180 185 190	
Lys Val Asp Ala Val Arg Ser Ser Leu Gly Ala Ile Gln Asn Arg Phe	
195 200 205	
Asp Ser Ala Ile Thr Asn Leu Gly Asn Thr Val Thr Asn Leu Asn Ser	
210 215 220	
Ala Arg Ser Arg Ile Glu Asp Ala Asp Tyr Ala Thr Glu Val Ser Asn	
225 230 235 240	
Met Ser Lys Ala Gln Ile Leu Gln Gln Ala Gly Thr Ser Val Leu Ala	
245 250 255	
Gln Ala Asn Gln Val Pro Gln Asn Val Leu Ser Leu Leu Arg	
260 265 270	

<210> 33

<211> 861

<212> DNA

<212> Salmonella dublin

<400> 33

atggggggtt	ccttcataca	tcatcatacat	gttatggctt	gcattgactgg	ttggacacgaa	60
atgggtcggg	atctgtacga	cgatgacgat	aggatccgg	tggcacaaat	cattatata	120
atccagctgt	cgctgttgac	ccagatataac	ctgaaacaaat	ctcagtccctc	acttgagtttc	180
gtatrtgagc	gtctgttctt	tggttctgcgt	atcaacacgg	cgaaaagacgg	tgcggcaggc	240
caggcgttgc	ctaaccgttt	catttcaat	atcaaaaggcc	tgtactcaggc	ttocccgtaac	300
gcttaacgacq	gcatttttat	tgccgagacc	actgaaagggt	cgctgaaatgg	aatcaacaaac	360
atccctgtca	gtgtgcgtgt	gttgtctgtt	caggccatca	acgggactaa	cgttgttcc	420
gtatgtaaat	ctatccagga	tggatattca	caatgtttttgg	aagaatatcgt	tccgggtttct	480
atccagaccc	attttaacgg	tgtttaaaggc	ccttcttcagg	acaaacccat	aaaaatccat	540
gttgggtgtca	acgatgtgt	zaccattacc	atcgatctgc	aaaaatattat	ccccgggatt	600
tcgggtgtgt	gtgggtgtgt	ttagactcc	atgggttacat	taatcaatgg	agacgtgtcc	660
gcggccaa	aaatgttccgc	taatccactg	gttccatgttgc	atccgtgttt	gtccaaaggq	720
gacggcgttc	gttccatgttgc	ggggggcaattt	caaaacccgtt	ttgtattcagg	cattaccac	780
cttggcaata	gggttaaccaa	tcgtgtactcc	gcgcgttagcc	gtatcgttgg	tgtgtactat	840
gcacccggaa	tttttataat	gttccataggc	caatgttctgc	agegggttgg	tacttccgtt	900
ctggccggagg	cteacccagg	tcggccaaac	gttccatgttgc	ttactgtgttgc	tttttttttt	960

<213> 34

<214> 310

<212> PRT

<213> Salmonella dublin

<400> 34

Met	Arg	Gly	Ser	Ile	Gly	Met	Ala	Ser	Met	Thr						
1				5							10				15	
Gly	Gly	Gln	Gln	Met	Gly	Arg	Asp	Leu	Tyr	Asp	Asp	Asp	Lys	Asp		
					20				25					30		
Pro	Met	Ala	Gln	Val	Ile	Asn	Thr	Asn	Ser	Ile	Ser	Leu	Leu	Thr	Gln	
					35				40					45		
Asn	Asn	Leu	Asn	Lys	Ser	Gln	Ser	Ser	Leu	Ser	Ser	Ala	Ile	Glu	Arg	
					50				55					60		
Leu	Ser	Ser	Gly	Leu	Arg	Ile	Asn	Ser	Ala	Lys	Asp	Asp	Ala	Ala	Gly	
					65				70					75		80
Gln	Ala	Ile	Ala	Asn	Arg	Phe	Thr	Ser	Asn	Ile	Lys	Gly	Leu	Thr	Gln	
					85				90					95		
Ala	Ser	Arg	Asn	Ala	Asn	Asp	Gly	Ile	Ser	Ile	Ala	Gln	Thr	Thr	Glu	
					100				105					110		
Gly	Ala	Leu	Asn	Glu	Ile	Asn	Asn	Leu	Gln	Arg	Val	Arg	Glu	Leu		
					115				120					125		
Ser	Val	Gln	Ala	Thr	Asn	Gly	Thr	Asn	Ser	Asp	Ser	Asp	Leu	Lys	Ser	
					130				135					140		
Ile	Gln	Asp	Glu	Ile	Gln	Gln	Arg	Leu	Glu	Glu	Ile	Asp	Arg	Val	Ser	
					145				150					155		160
Asn	Gln	Thr	Gln	Phe	Asn	Gly	Val	Lys	Val	Leu	Ser	Gln	Asp	Asn	Gln	
					165				170					175		
Met	Lys	Ile	Gln	Val	Gly	Ala	Asn	Asp	Gly	Glu	Thr	Ile	Thr	Ile	Asp	
					180				185					190		

leu Gln Lys Ile Ile Pro Gly Ile Ser Gly Gly Gly Gly Ile Leu
 195 200 205
 Asp Ser Met Gly Thr Leu Ile Asn Glu Asp Ala Ala Ala Lys Lys
 210 215 220
 Ser Thr Ala Asn Pro Leu Ala Ser Ile Asp Ser Ala Leu Ser Lys Val
 225 230 235 240
 Asp Ala Val Arg Ser Ser Ile Gly Ala Ile Gln Asn Arg Phe Asp Ser
 245 250 255
 Ala Ile Thr Asn Leu Gly Asn Thr Val Thr Asn Ile Asn Ser Ala Arg
 260 265 270
 Ser Arg Ile Glu Asp Ala Asp Tyr Ala Thr Glu Val Ser Asn Met Ser
 275 280 285
 Lys Ala Gln Ile Leu Gln Gln Ala Gly Thr Ser Val Leu Ala Gln Ala
 290 295 300
 Asn Gln Val Pro Gln Asn Val Ile Ser Leu Leu Arg
 305 310 315

<210> 35

<211> 792

<212> DNA

<213> Salmonella dublin

<400> 35

atgcgggggtt	c当地cataca	t当地catcat	ggtatggata	gc当地actgg	ttggacagca	aa	60
atcggtccgg	atctgtacga	cgatgacgat	saggatccgt	t当地tcttss	tatcaaangc		120
ctgacttcgg	cttcccgtaa	cgatcacgac	ggcattttca	ttggcgacag	cactgaaagg	tt	180
gccccgtggatg	aaatcaacaa	caacatccat	cgttgcgttg	atgtgtctgt	tcaggccact		240
atcggtccatc	atctgtatcc	cgatctgtaa	tatattccgg	atgtatccaa	gcaacgttgt		300
gaaatccatcg	atcggttttc	taatcagact	caattttacg	gtgtttaaaat	cctcttccat		360
gatccacccaga	tgtatccatc	ggttgggtgt	aacgttgtgt	aaaccgtttac	cattggatcg		420
caatccatca	tcatgggaaat	tcccggttgt	gttggtggaa	ttcttacact	cattgggtaca		480
ttatccatcg	aaatccatcg	cgatccatcg	aaaaatccatcg	ttatccatcg	ggcttcaatt		540
gtttatccat	tgtatccatcg	ggatccatcg	ttatccatcg	ttatccatcg	ttatccatcg		600
tttqatccat	ccatccatcg	cccttggcaat	acggtaacca	atctgaactc	cgccgttac		660
cgttatccatcg	atgtatccatcg	tgtatccatcg	gttttcaata	tgtatccatcg	gcaatatttg		720
cagcaggtgt	gtatccatcg	tatggcgatg	gtttaaccggaa	ttcccgatcc	cgatccatcg		780
ttatccatcg	tgatccatcg	ttatccatcg					792

<210> 36

<211> 263

<212> PRT

<213> Salmonella dublin

<400> 36

Met Arg Gly Ser His His His His His His Gly Met Ala Ser Met Thr
 1 5 10 15
 Gly Gly Gln Gln Met Gly Arg Asp Leu Tyr Asp Asp Asp Lys Asp
 20 25 30
 Pro Phe Thr Ser Asn Ile Lys Gly Leu Thr Gln Ala Ser Arg Asn Ala
 35 40 45
 Asn Asp Gly Ile Ser Ile Ala Gln Thr Thr Gln Gly Ala Leu Asn Gln
 50 55 60
 Ile Asn Asn Asn Leu Gln Arg Val Arg Glu Leu Ser Val Gln Ala Thr
 65 70 75 80
 Asn Gly Thr Asn Ser Asp Ser Asp Leu Lys Ser Ile Gln Asp Glu Ile
 85 90 95
 Gln Gln Arg Leu Glu Glu Ile Asp Arg Val Ser Asn Gln Thr Gln Phe
 100 105 110
 Asn Gly Val Lys Val Leu Ser Gln Asp Asn Gln Met Lys Ile Gln Val
 115 120 125
 Gly Ala Asn Asp Gly Glu Thr Ile Thr Ile Asp Leu Gln Lys Ile Ile
 130 135 140
 Pro Gly Ile Ser Gly Gly Gly Ile Leu Asp Ser Met Gly Thr

 145 150 155 160
 Leu Ile Asn Glu Asp Ala Ala Ala Lys Lys Ser Thr Ala Asn Pro
 165 170 175
 Leu Ala Ser Ile Asp Ser Ala Leu Ser Lys Val Asp Ala Val Arg Ser
 180 185 190
 Ser Leu Gly Ala Ile Gln Asn Arg Phe Asp Ser Ala Ile Thr Asn Leu
 195 200 205
 Gly Asn Thr Val Thr Asn Leu Asn Ser Ala Arg Ser Arg Ile Glu Asp
 210 215 220
 Ala Asp Tyr Ala Thr Glu Val Ser Asn Met Ser Lys Ala Gln Ile Leu
 225 230 235 240
 Gln Gln Ala Gly Thr Ser Val Leu Ala Gln Ala Asn Gln Val Pro Gln
 245 250 255
 Asn Val Leu Ser Leu Leu Arg
 260

<210> 37

<211> 807

<212> DNA

<213> Salmonella dublin

<400> 37

```

atgcgggggtt ctcatccatca tccatcatat ggtatggata gcatgactgg tggacagcaa 60
atgggcgggg atctgtacga cgtatgacat aaggatccaa tggcacaagaat cattaaataca 120
accacccgtt cgctgtttcac ccacaaatcc ctgaaacatat ctcaagtcc actgaaatccc 180
gtcttttgcgc gtctgttttc tggcttcgtt atcaaaatggcg cggaaatgcgt tgccggcaggc 240
caggccatgtt ctaaccgcgtt cacttcaat atcaaaaggcc tgacttcaggc ttccccgttaac 300
gtctaaacgcgtt gcatttttat tgccgcagacc actgtaaagggtc cgtctgaatgtt aatcaaccaac 360
aacatggcggc gtgttggttgc gtttgtttttt caggccacatc acggggactaa ctctgtttcc 420
gtatctgtttat ctatccggta tgatccatcg caacgtttgg aatggaaatcgta tggcggtttct 480
aatccggatcc aatttaaacgg tggtaaaatgc ctcttcgttgc acaaccatgtt gaaaatccatc 540
gttgggtgttgc acgtatgggtga aaccattttcc atccatgttgc aaaaaatgttgc tgtgaaaatgc 600
cttggccatca tcccccggat tcccggttgtt ggtgggtggas ttcttagactc catgggttaca 660
ttaatcaatgtt aagacgttgc cgcacccaaag aaaaatgttgc ctatccactt ggcttcaattt 720
gtttttttgtt tggccaaatgtt ggcacccgtt ctttttttttcc tggggccatc tcaaaacccgtt 780
tttttttttttttccatccatca ctttttttttgc 807

```

<210> 38

<211> 268

<212> PRT

4212 Salmonella dublin

2000 38

Met	Arg	Gly	Ser	Asn	His	His	His	His	His	Gly	Met	Ala	Ser	Met	Thr
1					5				10			15			
Gly	Gly	Gln	Gln	Met	Gly	Arg	Asp	Leu	Tyr	Asp	Asp	Asp	Asp	Lys	Asp
					20				25			30			
Pro	Met	Ala	Gln	Val	Ile	Asn	Thr	Asn	Ser	Ieu	Ser	Ieu	Ieu	Thr	Gln
					35				40			45			
Asn	Asn	Ieu	Asn	Lys	Ser	Gln	Ser	Ser	Ieu	Ser	Ser	Ala	Ile	Glu	Arg
					50				55			60			
Ieu	Ser	Ser	Gly	Ieu	Arg	Ile	Asn	Ser	Ala	Lys	Asp	Asp	Ala	Ala	Gly
					65				70			75			80
Gln	Ala	Ile	Ala	Asn	Arg	Phe	Thr	Ser	Asn	Ile	Lys	Gly	Ieu	Thr	Gln
					85				90			95			
Ala	Ser	Arg	Asn	Ala	Asn	Asp	Gly	Ile	Ser	Ile	Ala	Gln	Thr	Thr	Glu
					100				105			110			
Gly	Ala	Ieu	Asn	Glu	Ile	Asn	Asn	Asn	Ieu	Gln	Arg	Val	Arg	Glu	Ieu
					115				120			125			
Ser	Val	Gln	Ala	Thr	Asn	Gly	Thr	Asn	Ser	Asp	Ser	Asp	Ieu	Lys	Ser
					130				135			140			
Ile	Gln	Asp	Glu	Ile	Gln	Gln	Arg	Ieu	Glu	Glu	Ile	Asp	Arg	Val	Ser
					145				150			155			160
Asn	Gln	Thr	Gln	Phe	Asn	Gly	Val	Ieu	Ser	Gln	Asp	Asn	Gln		
					165				170			175			
Met	Lys	Ile	Gln	Val	Gly	Ala	Asn	Asp	Gly	Glu	Thr	Ile	Thr	Ile	Asp
					180				185			190			
Ieu	Gln	Iys	Asp	Val	Iys	Ser	Ieu	Gly	Ieu	Ile	Pro	Gly	Ile	Ser	
					195				200			205			
Gly	Gly	Gly	Gly	Gly	Ile	Ieu	Asp	Ser	Met	Gly	Thr	Ieu	Ile	Asn	Glu
					210				215			220			
Asp	Ala	Ala	Ala	Ala	Lys	Iys	Ser	Thr	Ala	Asn	Pro	Ieu	Ala	Ser	Ile
					225				230			235			240
Asp	Ser	Ala	Ieu	Ser	Lys	Vai	Asp	Ala	Val	Arg	Ser	Ser	Ieu	Gly	Ala
					245				250			255			
Ile	Gln	Asn	Arg	Phe	Asp	Ser	Ala	Ile	Thr	Asn	Ieu				
					260				265						

200 30

42112 738

ctDNA

<213> *Salmonella dublin*

<210> 40
<211> 261
<212> PRT
<213> Salmonella dublin

<400> 40

Met Arg Gly Ser His His His His His Gly Met Ala Ser Met Thr
1 5 10 15
Gly Gly Gin Gln Met Gly Arg Asp Leu Tyr Asp Asp Asp Lys Asp
20 25 30
Pro Met Ala Gln Val Ile Asn Thr Asn Ser Leu Ser Leu Leu Thr Gln
35 40 45
Asn Asn Leu Asn Lys Ser Gln Ser Ser Leu Ser Ala Ile Glu Arg
50 55 60
Leu Ser Ser Gly Leu Arg Ile Asn Ser Ala Lys Asp Asp Ala Ala Gly
65 70 75 80
Gln Ala Ile Ala Asn Arg Phe Thr Ser Asn Ile Lys Gly Leu Thr Gln
85 90 95
Ala Ser Arg Asn Ala Asn Asp Gly Ile Ser Ile Ala Gln Thr Thr Glu
100 105 110
Gly Ala Leu Asn Glu Ile Asn Asn Asn Leu Gln Arg Val Arg Glu Leu
115 120 125
Ser Val Gln Ala Thr Asn Gly Thr Asn Ser Asp Ser Asp Leu Lys Ser
130 135 140
Ile Gln Asp Glu Ile Gln Gln Arg Leu Glu Glu Ile Asp Arg Val Ser
145 150 155 160
Asn Gln Thr Gln Phe Asn Gly Val Leu Ser Gln Asp Asn Gln

165 170 175
Met Lys Ile Gin Val Gly Ala Asn Asp Gly Gln Thr Ile Thr Ile Asp
180 185 190
Leu Gln Lys Ile Ile Pro Gly Ile Ser Gly Gly Gly Gly Ile Leu
195 200 205
Asp Ser Met Gly Thr Leu Ile Asn Glu Asp Ala Ala Ala Lys Lys
210 215 220
Ser Thr Ala Asn Pro Leu Ala Ser Ile Asp Ser Ala Leu Ser Lys Val
225 230 235 240
Asp Ala Val Arg Ser Ser Leu Gly Ala Ile Gln Asn Arg Phe Asp Ser
245 250 255
Ala Ile Thr Asn Leu
260

<210> 41
<211> 849
<212> DNA
<213> Salmonella dublin

<400> 41

atgggggggtt	cicataatca	tcatatcatat	ggtatggcta	gcatgactgg	tggacagcaa	60
atgggtcggt	atctgtacga	cgatgacgat	aggatccga	tggcacaagt	cattaataca	120
accagccctgt	cggtgttgac	ccagaataac	ctgaaacaaat	tcagtcctc	actgaggttcc	180
qctatttgaae	gtctgttcctc	tggctctgggt	atcaacacgca	cgaaasgacga	tggggcaggcc	240
caggcgatgt	ctaaacccgtt	cacttctaat	atcaaaggcc	tgtatccgg	ttccccgttaac	300
gtcaacgcacg	qcatttttat	tgcgcagacc	actgaaatgt	cgctgtatgt	atcaacaaac	360
acctgtcgaae	gtgtgtgtgt	gttgtctgtt	cgaggccacta	cgggactaa	tctgtattee	420
qatctgtaaaat	ctatcccaagga	tgaatattccag	caacgtctgg	agagaaatcga	tccgttttct	480
atccatagatcc	cgggaaatcc	cgggtgttgt	gttggaaatcc	tagactccat	gggtacattta	540
atcaatgtaaag	acgtgtggcgc	agccaaagaaaa	agttacogcta	accctactggc	tccaaatgtat	600
tctgtatgt	aaaaatgttgg	cgccatgttgt	tcttctcttgg	ggggcaatttc	aaaccgtttt	660
gatccatggcc	ttacccacat	tggcaataatcg	gttacccatcc	tggacttcggc	cggttagccgt	720
atccaaatgt	ctgactatgt	aacggaaatgt	ttaataatgt	ctaaatgcga	gattttccat	780
caggctgtta	ttttccgtttt	ggcgcagggtt	accagggttc	cgcacaaatgt	cctttttttta	840
ctggcggttag						900

<210> 42
<211> 282
<212> PRT
<213> *Salmonella dublin*

32

Met	Arg	Gly	Ser	Sis	Sis	His	His	His	Gly	Met	Ala	Ser	Met	Thr	
1									10					15	
Gly	Gly	Gln	Gln	Met	Gly	Arg	Asp	Ieu	Tyr	Asp	Asp	Asp	Lys	Asp	
									20					30	
Phe	Met	Ala	Gln	Val	Ile	Rsn	Thr	Asn	Ser	Ieu	Ser	Ieu	Ieu	Thr	Gln
									35					45	
Asn	Asn	Ieu	Asn	Lys	Ser	Gln	Ser	Ser	Ieu	Ser	Ser	Ala	Ile	Glu	Arg
									50					60	
Ieu	Ser	Ser	Gly	Ieu	Arg	Ile	Asn	Ser	Ala	Lys	Asp	Asp	Ala	Ala	Gly
									65					80	
Gln	Ala	Ile	Ala	Asn	Arg	Phe	Thr	Ser	Asn	Ile	Lys	Gly	Ieu	Thr	Gln
									85					95	
Ala	Ser	Arg	Asn	Ala	Rsn	Asp	Gly	Ile	Ser	Ile	Ala	Gln	Thr	Thr	Glu
									100					110	
Gly	Ala	Ieu	Asn	Glu	Ile	Asn	Asn	Asn	Ieu	Gln	Arg	Val	Arg	Glu	Ieu
									115					125	
Ser	Val	Gln	Ala	Thr	Asn	Gly	Thr	Asn	Ser	Asp	Ser	Asp	Ieu	Lys	Ser
									130					140	
Ile	Gln	Asp	Gla	Ile	Gln	Gln	Arg	Ieu	Glu	Glu	Ile	Asp	Arg	Val	Ser
									145					155	
Asn	Gln	Ile	Fro	Gly	Ile	Ser	Gly	Gly	Gly	Gly	Ile	Ieu	Asp	Ser	

165	170	175
Met Gly Thr Ile Asn Glu Asp Ala Ala Ala Ala Lys Lys Ser Thr		
180	185	190
Ala Asn Pro Leu Ala Ser Ile Asp Ser Ala Leu Ser Lys Val Asp Ala		
195	200	205
Val Arg Ser Ser Leu Gly Ala Ile Gln Asn Arg Phe Asp Ser Ala Ile		
210	215	220
Thr Asn Leu Gly Asn Thr Val Thr Asn Leu Asn Ser Ala Arg Ser Arg		
225	230	235
Ile Gln Asp Ala Asp Tyr Ala Thr Glu Val Ser Asn Met Ser Lys Ala		
245	250	255
Gln Ile Leu Gln Gln Ala Gly Thr Ser Val Leu Ala Gln Ala Asn Gln		
260	265	270
Val Pro Gln Asn Val Leu Ser Leu Leu Arg		
275	280	

<210> 43
<211> 690
<212> DNA
<213> *Salmonella dublin*

<400> 43

atgcgggggtt ctcatcatca tcatcatcat ggtatggcta gcatgactgg tggacacgaa	60
atgggtcggtt atctgtacga cgtatgacgt aaggatccgt tcaacttctta tatcaaaggc	120
ctgacttcggg ttccccgtta cgcttaacgac ggcatitcta ttgcgcagac cactgaaagt	180
gcgcgtgaatg aaatcaacaa caacctgcag cgtgtgcgtg agttgtctgt tcagggccact	240
aaacgggacta actctgtatcc cgtatctgaaa ttatccagg atgaaattca gcaacgtatg	300
gaagggaaatcg atcgcgttcc taatcagatc cccggaaattt ccgggtggtag tggtgaaat	360
ctgacttcga tgggtatcatt aataaargaa gacgcgtgcgg cagccaaaggaa sgttacgtt	420
aaacccactgg cttcatttga ttctgcatttgc taaaaagggg acgcgttccg ttttttttttgc	480
ggggcaatcc aaaaaccgtt tgattttagcc attcccaacc ttggcaatcc ggttaccat	540
ctgtaaactcg cgcgtagccg tatcgaatgt gtgtatcg caaaggaaat ttcttaatcg	600
tcttaaaggcc agatttcgtca gcaggcttgtt acttccgttc tggcgwaggc taaccaggat	660
cggcaaaacgg ttcattttttt actgcgttgc	690

<210> 44
<211> 229
<212> PRT
<213> *Salmonella dublin*

<400> 44

Met Arg Gly Ser His His His His His His Gly Met Ala Ser Met Thr	
1 5 10 15	
Gly Gly Gln Gln Met Gly Arg Asp Leu Tyr Asp Asp Asp Lys Asp	
20 25 30	
Pro Phe Thr Ser Asn Ile Lys Gly Leu Thr Gln Ala Ser Arg Asn Ala	
35 40 45	
Asn Asp Gly Ile Ser Ile Ala Gln Thr Thr Gly Ala Leu Asn Glu	
50 55 60	
Ile Asn Asn Asn Leu Gln Arg Val Arg Glu Leu Ser Val Gln Ala Thr	
65 70 75 80	
Asn Gly Thr Asn Ser Asp Ser Asp Leu Lys Ser Ile Gln Asp Glu Ile	
85 90 95	
Gln Gln Arg Leu Glu Ile Asp Arg Val Ser Asn Gln Ile Pro Gly	
100 105 110	
Ile Ser Gly Gly Gly Gly Ile Leu Asp Ser Met Gly Thr Leu Ile	
115 120 125	
Asn Glu Asp Ala Ala Ala Ala Lys Lys Ser Thr Ala Asn Pro Leu Ala	
130 135 140	
Ser Ile Asp Ser Ala Leu Ser Lys Val Asp Ala Val Arg Ser Ser Leu	
145 150 155 160	
Gly Ala Ile Gln Asn Arg Phe Asp Ser Ala Ile Thr Asn Leu Gly Asn	
165 170 175	
 Thr Val Thr Asn Leu Asn Ser Ala Arg Ser Arg Ile Glu Asp Ala Asp	
180 185 190	
Tyr Ala Thr Gln Val Ser Asn Met Ser Lys Ala Gln Ile Leu Gln Gln	
195 200 205	
Ala Gly Thr Ser Val Leu Ala Gln Ala Asn Gln Val Pro Gln Asn Val	
210 215 220	
Leu Ser Leu Leu Arg	
225	

<210> 45
<211> 684
<212> DNA
<213> *Salmonella dublin*

<400> 45

atgggggggtt ctcatcatca tcatcatcat ggtatggcta gcatgactgg tggacagcaa	60
atgggtccggg atctgtacgta cgatgacgat aaggatcccgta tggcacaaatc cattataaca	120
aacagccgtt cgttgttgac ccagaataaac ctgcacaaatc ctcgttctc actgtttcc	180
gttattggac gtatgttctt tggatgttgcgtt atccacacggc cgaaagacgc tggggcaggc	240
caggccatgtt ctaccgtttt cacttcttcat atccaaaggcc tcacttcggc ttcccgtaac	300
gttaacgcacg gcattttttat tgcccaacacc actgtgggtt cgctgaatgtt aatcaacaac	360
aaatgtggacg gtgtgtgtt caggccatca acgggactaa ctgttattcc	420
gtatctgtttt atatccatggta tggaaattccat aacgttctgg aaaaatccgtt tgggtttttt	480
aatccatcc cggggatcc cgggtgtgtt gggtggatcc tagacttcat gggtaatcca	540
atcaatggaaatc acgtgtccgc agccaaagaaatc agtaccgttta acccactggc ttcaatgtat	600
tctgtttttt tttttttttt cttttttttt tttttttttt tttttttttt tttttttttt	660
gattccggcc tttttttttt tttttttttt tttttttttt tttttttttt tttttttttt	684

<210> 46

<211> 227

<212> PRT

<213> *Salmonella dublin*

<400> 46

Met Arg Gly Ser His His His His His Gly Met Ala Ser Met Thr	
1 5 10 15	
Gly Gly Gln Gln Met Gly Arg Asp Leu Tyr Asp Asp Asp Lys Asp	
20 25 30	
Phe Met Ala Gln Val Ile Asn Thr Asn Ser Leu Ser Leu Leu Thr Gln	
35 40 45	
Asn Asn Leu Asn Lys Ser Gln Ser Ser Leu Ser Ser Ala Ile Glu Arg	
50 55 60	
Leu Ser Ser Gly Leu Arg Ile Asn Ser Ala Lys Asp Asp Ala Ala Gly	
65 70 75 80	
Gln Ala Ile Ala Asn Arg Phe Thr Ser Asn Ile Lys Gly Leu Thr Gln	
85 90 95	
Ala Ser Arg Asn Ala Asn Asp Gly Ile Ser Ile Ala Gln Thr Thr Glu	
100 105 110	
Gly Ala Leu Asn Glu Ile Asn Asn Asn Leu Gln Arg Val Arg Glu Leu	
115 120 125	
Ser Val Gln Ala Thr Asn Gly Thr Asn Ser Asp Ser Asp Leu Lys Ser	
130 135 140	
Ile Gln Asp Glu Ile Gln Gln Arg Leu Glu Glu Ile Asp Arg Val Ser	
145 150 155 160	
Asn Gln Ile Pro Gly Ile Ser Gly Gly Gly Gly Ile Leu Asp Ser	
165 170 175	
Met Gly Thr Leu Ile Asn Glu Asp Ala Ala Ala Lys Lys Ser Thr	
180 185 190	
Ala Asn Pro Leu Ala Ser Ile Asp Ser Ala Leu Ser Lys Val Asp Ala	
195 200 205	
Val Arg Ser Ser Leu Gly Ala Ile Gln Asn Arg Phe Asp Ser Ala Ile	
210 215 220	
Thr Asn Leu	

225

<210> 47

<211> 525
<212> DNA
<213> *Salmonella dublin*

6307x 47

atcgccgggtt	ctcatcatca	tcatcatcat	ggatggcta	gcatgacckq	tggacacgca	60
atgggtcggt	atctgtacga	cgtatgacgt	aaaggatccgt	tcaacttckas	tatcaasaggc	120
ctgacttcagg	tttccccgtaa	cgttaaacgtc	ggccattttcta	ttggccgcaagac	cactgaaagg	180
gcgcgtgaatq	aaatcaacaa	caacctqccag	cgtgtqcggt	agttgtctgt	tcaggcoact	240
aacggggacta	actctqattt	cgtattgtaaa	tctatccagg	atggaaatthca	gcaaaatgtctq	300
gsagagatctg	atcgccgttt	taatccatgtc	ccggggaaat	ccgggtgttgttgg	tggtgaggat	360
ctgacttcata	ttgggtatcatt	aatccatgtas	ggccgttgcgg	cagcccaagaa	sagtacccgt	420
aaaaacctgg	tttcaatttga	tttgcatttgc	ttatccatgttgg	ccggcgttccgt	ttcttttctctg	480
ggggccatcc	aaaaacggttt	tgtttccatgtt	tttccatgttgg			525

2100 48

卷之三

42124 PRT

<213> *Salmonella dublin*

•300• 48

2100 48

2011-382

◀212▶ 3M3

<21> *Salmonella* dublin

408 49

atgcgggggtt ctcatcatca tcatcatcat ggtatggcta gcatgackgg tggacagccs	60
atgggtoggg atctgtacga ctagacgat aaggatcoga tggcacaaat catbaataca	120
sacagccgtt cgctgtggc ccagaatzaac ctgaacaaat ctcaatgttc actqagtcc	180
gctattgagc gtctgttcc tggctgtcgat atcaacagcg cgaasagacga tggggcaggc	240
caggcgatgg ctaaccgttt cacttctaat atccaaaggcc tggctcaagc ttccccgtaa	300
gctsacgacg gcattttat tgccgagacc actgaagggtg cgctgastga aatcaacaaac	360
aacctgacgc qtgtggigta gtttgttgcgtt caggccacta tccggggat ttccgggtgt	420
ggtggtggaa ttcttagactc catgggtaca ttatcaatg aagacgtgc cgcacccaag	480
aaaatgtacgg ctaaccactt ggcttcsatt gatktctgtat tgcataaagt ggacgcagtt	540
cgttcttcgc kggggccatc tccaaaccgtt ttgttttcaag ccatttccaa ccttggccat	600
acggtaacca atctgaatc cgcgcgttgc cgatctgacta tgcaacggaa	660

gtttttaata tgcctttaatgc gcagattctg cagcaggctg gtaacttccgt tctggcgcag	720
gcttaaccagg ttccggcaaaa cgttcctctt ttactgcgtt ag	762

<210> 50
<211> 253
<212> PRT
<213> *Salmonella dublin*

<400> 50

Met Arg Gly Ser His His His His His Gly Met Ala Ser Met Thr	
1 3 10 15	
Gly Gly Gln Gin Met Gly Arg Asp Leu Tyr Asp Asp Asp Lys Asp	
20 25 30	
Pro Met Ala Gln Val Ile Asn Thr Asn Ser Leu Ser Leu Thr Gln	
35 40 45	
Asn Asn Leu Asn Lys Ser Gln Ser Ser Leu Ser Ser Ala Ile Glu Arg	
50 55 60	
Leu Ser Ser Gly Leu Arg Ile Asn Ser Ala Lys Asp Asp Ala Ala Gly	
65 70 75 80	
Gin Ala Ile Ala Asn Arg Phe Thr Ser Asn Ile Lys Gly Leu Thr Gln	
85 90 95	
Ala Ser Arg Asn Ala Asn Asp Gly Ile Ser Ile Ala Gln Thr Thr Glu	
100 105 110	
Gly Ala Leu Asn Glu Ile Asn Asn Asn Leu Gln Arg Val Arg Glu Leu	
115 120 125	
Ser Val Gln Ala Thr Ile Pro Gly Ile Ser Gly Gly Gly Gly Ile	
130 135 140	
Leu Asp Ser Met Gly Thr Leu Ile Asn Glu Asp Ala Ala Ala Lys	
145 150 155 160	
Lys Ser Thr Ala Asn Pro Leu Ala Ser Ile Asp Ser Ala Leu Ser Lys	
165 170 175	
Val Asp Ala Val Arg Ser Ser Leu Gly Ala Ile Gln Asn Arg Phe Asp	
180 185 190	
Ser Ala Ile Thr Asn Leu Gly Asn Thr Val Thr Asn Leu Asn Ser Ala	
195 200 205	
Arg Ser Arg Ile Glu Asp Ala Asp Tyr Ala Thr Glu Val Ser Asn Met	
210 215 220	
Ser Lys Ala Gln Ile Leu Gln Gln Ala Gly Thr Ser Val Leu Ala Gln	
225 230 235 240	
Ala Asn Gln Val Pro Gln Asn Val Leu Ser Leu Leu Arg	
245 250	

<210> 51
<211> 597
<212> DNA
<213> *Salmonella dublin*

<400> 51

atgcgggggtt	ctcatacatca	tcatcatcat	ggtatggcta	gcatgactgg	tggacacgca	60
atgggtcggt	atctgtacgt	cgtatgacgt	aaggatccgt	tggcacaagt	cattaataca	120
aacagccgt	cgctgttgac	ccagaataaac	ctgaacaaat	ctcagtcctc	actgaggttcc	180
gctatrgaga	gctgtgttcc	tggtctgcgt	atcaacacgt	cgaaagacgt	tgcggcaggc	240
caggcgatgt	ctaaaccgtt	cacttcaat	atcaaaggcc	tgtactcaggc	tccccgttaac	300
gcttaacgacg	gcattttat	tgcgcagacc	actgsagggt	cgctgaatgt	atcaacaac	360
sacctgcage	gtgtgcgtgt	caggccacta	tcccgggat	tccgggttgt	420	
ggtgtggaaa	ttcttagact	cattggtaat	ttatcaatgt	aaagacgtgtc	cgccggcaag	480
aaaaatcacg	ctaaaccact	ggcttcaattt	gattctgtat	tgtccaaaat	ggacgcgttt	540
cgtttttttc	tggggcaat	tcaaaaccgt	tttgatttca	ccattacccaa	cctttat	597

<210> 52

<211> 196

<212> PRT

<213> *Salmonella dublin*

<400> 52

```

Met Arg Gly Ser His His His His His His Gly Met Ala Ser Met Thr
          5           10          15
Gly Gly Gln Gln Met GLy Arg Asp Leu Tyr Asp Asp Asp Lys Asp
          20           25          30
Pro Met Ala Gln Val Ile Asn Thr Asn Ser Leu Ser Leu Leu Thr Gln
          35           40          45
Asn Asn Leu Asn Lys Ser Gln Ser Ser Leu Ser Ser Ala Ile Glu Arg
          50           55          60
Leu Ser Ser Gly Leu Arg Ile Asn Ser Ala Lys Asp Asp Ala Ala Gly
          65           70          75          80
Gln Ala Ile Ala Asn Arg Phe Thr Ser Asn Ile Lys Gly Leu Thr Gln
          85           90          95
Ala Ser Arg Asn Ala Asn Asp Gly Ile Ser Ile Ala Gln Thr Thr Glu
          100          105          110
Gly Ala Leu Asn Glu Ile Asn Asn Asn Leu Gln Arg Val Arg Glu Leu
          115          120          125
Ser Val Gln Ala Thr Ile Pro Gly Ile Ser Gly Gly Gly Gly Ile
          130          135          140
Leu Asp Ser Met Gly Thr Leu Ile Asn Glu Asp Ala Ala Ala Lys
          145          150          155          160
Lys Ser Thr Ala Asn Pro Leu Ala Ser Ile Asp Ser Ala Leu Ser Lys
          165          170          175
Val Asp Ala Val Arg Ser Ser Leu Gly Ala Ile Gln Asn Arg Phe Asp
          180          185          190
Ser Ala Ile Thr Asn Leu
          195

```

<210> 53

<211> 672

<212> DNA

<213> *Salmonella dublin*

<400> 53

atgggggggtt ctcatcatca tcatcatcat	ggtatggcta gcatgacttg	tggacacgaa	60
atgggtccgg	atctgtacga cgatgacgt	aggatccga tggcacaagt	120
aaaacgcctgt	cgttgttgac ccagaataac	ctgaacaaat ctcagttctc	180
gttatttgcgt	gttgtgtctc tggkckcggt	atcaacagcg tgaaagacga	240
ccggcgattt	ctaaacgctt caccttaat	atcaasaggc tgactcaggc	300
gttacacgaca	tcccggtgtt tcccggtgtt	ttcccggttac catgggtaca	360
ttatctcaat	aaagacgtgtc cgcacgttacg	ctaaacccact ggcttcaatt	420
gatttgcgt	tgttccaaatgt ggacgcaat	cgtrtttctc tggggggcaat	480
tttgattcaq	ccattaccaa ccttggcaat	atctgtaaatc cgcgcgttgc	540
cgatgtcaaa	atgtgtacta tgcacggas	ttgttcaata tgiccaamgc	600
ccggcggtgt	gtacttccgt tctggcgcag	gtcaaccagg ttcccgcaaaa	660
tttactgcgtt	tgatccgtt	cgtoctctct	672

<210> 54

<211> 223

<212> PRT

<213> *Salmonella dublin*

<400> 54

Met Arg Gly Ser His His His His His His	Gly Met Ala Ser Met Thr
1 5 10 15	
Gly Gly Gin Gin Met Gly Arg Asp Leu Tyr Asp Asp Asp Asp Lys Asp	
20 25 30	
Pro Met Ala Gin Val Ile Asn Thr Asn Ser Leu Ser Leu Leu Thr Gin	
35 40 45	
Asn Asn Leu Asn Lys Ser Gin Ser Ser Leu Ser Ser Ala Ile Glu Arg	
50 55 60	
Leu Ser Ser Gly Leu Arg Ile Asn Ser Ala Lys Asp Asp Ala Ala Gly	
65 70 75 80	

Gln Ala Ile Ala Asn Arg Phe Thr Ser Asn Ile Lys Gly Leu Thr Gln	
85 90 95	
Ala Ser Arg Asn Ala Asn Asp Ile Pro Gly Ile Ser Gly Gly Gly	
100 105 110	
Gly Ile Leu Asp Ser Met Gly Thr Leu Ile Asn Glu Asp Ala Ala Ala	
115 120 125	
Ala Lys Lys Ser Thr Ala Asn Pro Leu Ala Ser Ile Asp Ser Ala Leu	
130 135 140	
Ser Lys Val Asp Ala Val Arg Ser Ser Leu Gly Ala Ile Gln Asn Arg	
145 150 155 160	
Phe Asp Ser Ala Ile Thr Asn Leu Gly Asn Thr Val Thr Asn Leu Asn	
165 170 175	
Ser Ala Arg Ser Arg Ile Glu Asp Ala Asp Tyr Ala Thr Glu Val Ser	
180 185 190	
Asn Met Ser Lys Ala Gln Ile Leu Gln Gln Ala Gly Thr Ser Val Leu	
195 200 205	
Ala Gln Ala Asn Gln Val Pro Gln Asn Val Leu Ser Leu Leu Arg	
210 215 220	

<210> 55

<211> 507

<212> DNA

<213> *Salmonella dublin*

<400> 55

atgggggggtt	catacatca	tcatcatcat	ggatggcta	gcatgactgg	tggacacgcaa	66
atggggcogg	atctgttaoga	cgtatgacgat	aaggatccga	tggcacaagt	cattaataca	120
aacagccctgt	cgttgtttac	ccagaataasc	cttgcacatat	ctcagtccttc	actgaggttcc	180
gttattttgttt	gtctgttttc	tggttctgcgt	atccaaacacgq	cgaaasaaacgt	tggggccatgg	240
caggccatgt	cataaccggc	cacttctata	atccaaaggcc	tgtatccatggc	tttccgtttaaat	300
gttttttttttt	ttccccggaaat	tcccccgttgt	ggttgtgtggaa	ttcttagactc	catgggttata	360
tttaatcaatgt	aaagccgttgc	cgcacggccaaag	aaaatgttaccg	ctaaaaaccat	gggttttttttt	420
gatttttttttt	tgttcataaagg	ggaccccgatgt	cggttttttttc	tggggggcaat	tcaaaaaacgt	480
tttttttttttt	ccatkatccas	ccttttag				507

42302-58

42418-188

4242a PBT

«२१३» *Salmonella dublin*

१५८४

Lisboa, 4 de Junho de 2013.

REIVINDICAÇÕES

1. Composição compreendendo flagelina caracterizada por ser utilizada como um medicamento para o tratamento de um tecido de mamífero dos efeitos da reperfusão.
2. Composição compreendendo flagelina para uso como medicamento de acordo com a reivindicação 1, caracterizada pela reperfusão poder ser causada por uma lesão.
3. Composição compreendendo flagelina para uso como medicamento de acordo com a reivindicação 1, caracterizada por a lesão ser isquemia ou hipóxia.
4. Composição compreendendo flagelina para uso como medicamento de acordo com a reivindicação 3, caracterizada por a isquémia poder ser selecionada a partir do grupo que consiste em taquicardia, enfarte, falha renal aguda, acidente vascular cerebral, hipotensão, embolia, tromoboembolia (coágulo de sangue), anemia falciforme, pressão localizada nas extremidades do corpo e tumores.
5. Composição compreendendo flagelina para uso como medicamento de acordo com a reivindicação 3, caracterizada por a hipóxia poder ser selecionada a partir do grupo que consiste em hipóxia hipoxémica (envenenamento por monóxido de carbono; apneia do sono, doença pulmonar obstrutiva crónica, paragem respiratória; shunts), hipóxia anémica (conteúdo em O₂ reduzido), hipóxia hipoxémica e hipóxia histotóxica.
6. Composição compreendendo flagelina para uso como medicamento de acordo com a reivindicação 2, caracterizada por a lesão ser selecionada do grupo

consistindo em enfarte do miocárdio, acidente vascular cerebral e lesão renal aguda.

7. Composição compreendendo flagelina para uso como medicamento de acordo com a reivindicação 4, caracterizada por a pressão localizada ser devida a um torniquete.
8. Composição compreendendo flagelina para uso como medicamento de acordo com a reivindicação 1, caracterizada por a composição ser administrada antes de, juntamente com, ou após o influxo de oxigénio.
9. Composição compreendendo flagelina para uso como medicamento de acordo com a reivindicação 1, caracterizada por o tecido ser selecionado do grupo que consiste em: trato gastrointestinal, pulmão, rim, fígado, sistema cardiovascular, endotélio dos vasos sanguíneos, sistema nervoso central, sistema nervoso periférico, músculo, osso e folículo capilar.
10. Composição compreendendo flagelina para uso como medicamento de acordo com a reivindicação 1, caracterizada por a composição ser administrada em combinação com um antioxidante.
11. Composição compreendendo flagelina para uso como medicamento de acordo com a reivindicação 10, caracterizado por o antioxidante ser selecionado do grupo consistindo em amifostina e Vitamina E.
12. Composição compreendendo um agonista do receptor semelhante a Toll 5 (TLR5) caracterizada por ser utilizada como um medicamento para o tratamento de um tecido de mamífero dos efeitos da reperfusão.

Lisboa, 4 de Junho de 2013.

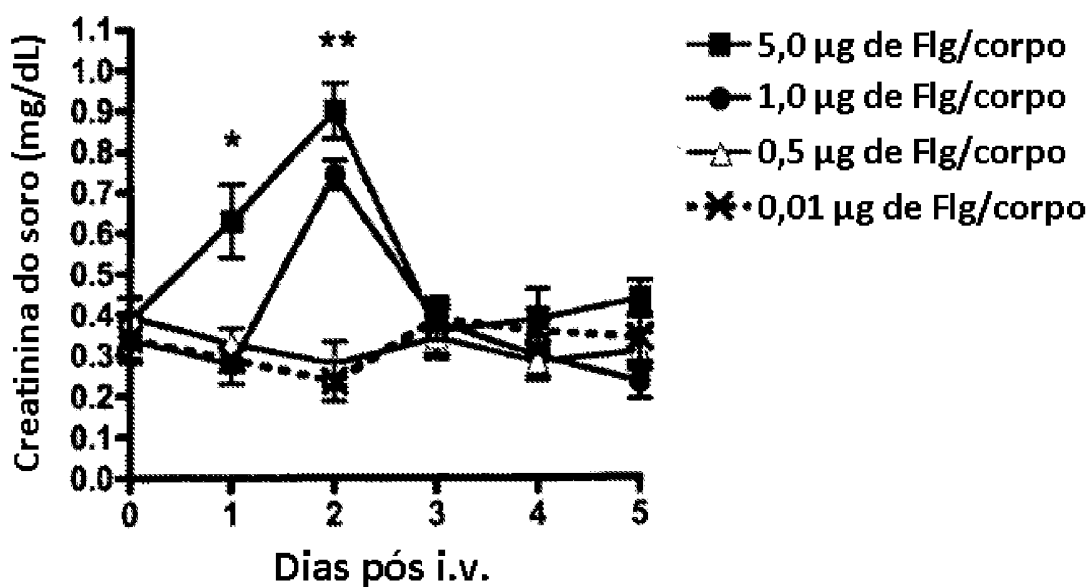


Figura 1

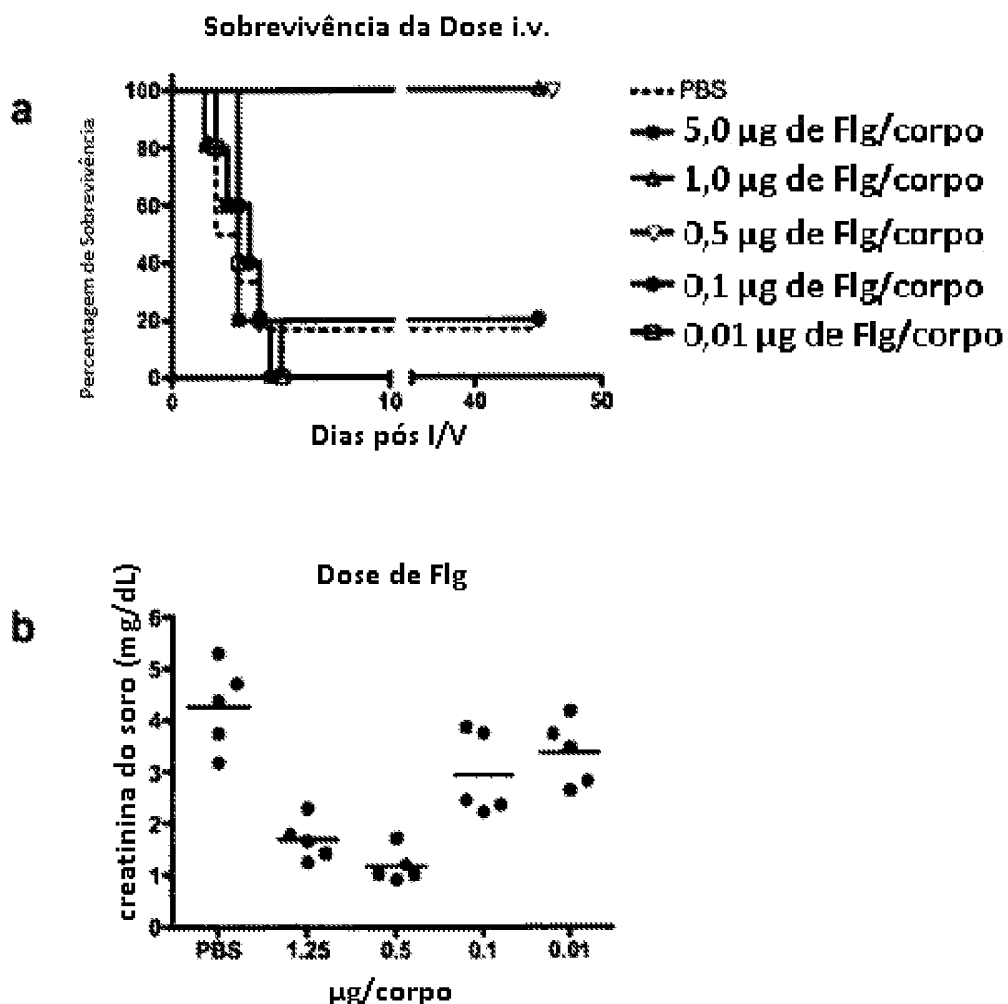


Figura 2

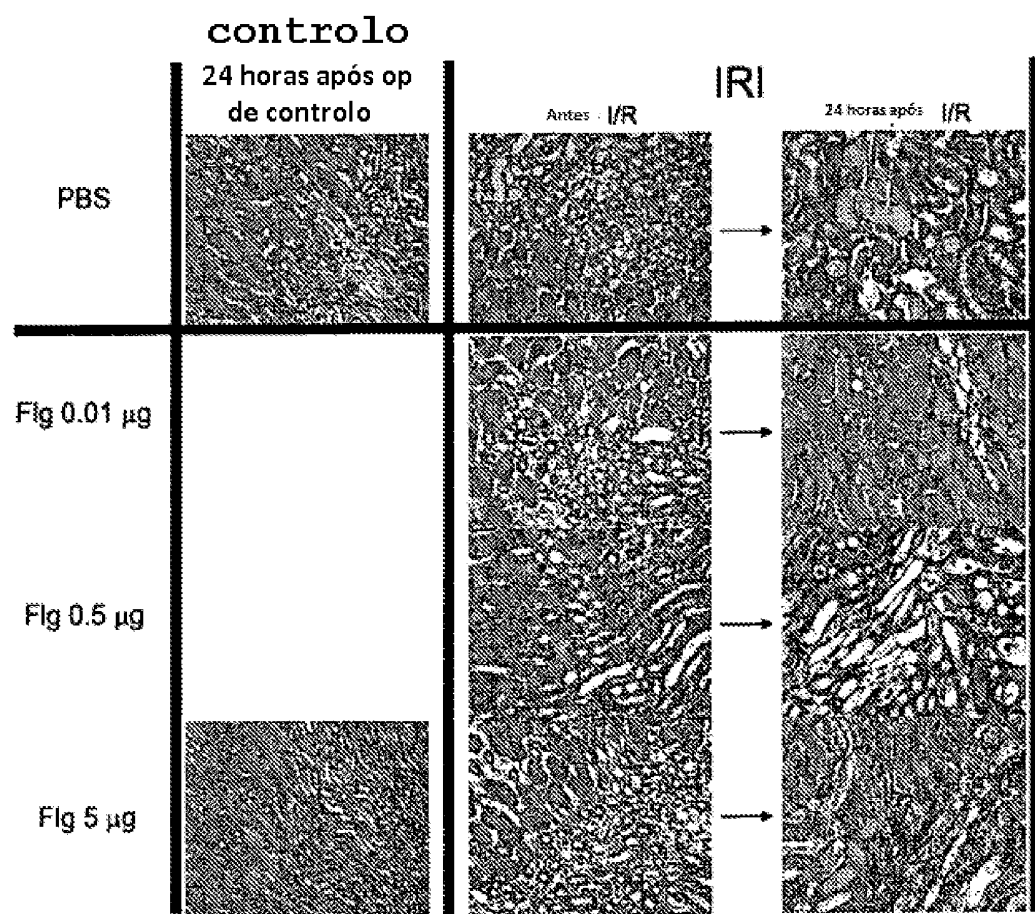
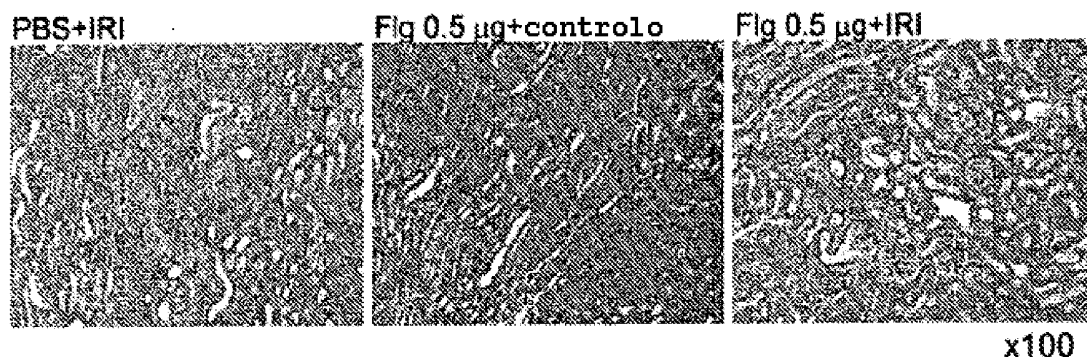


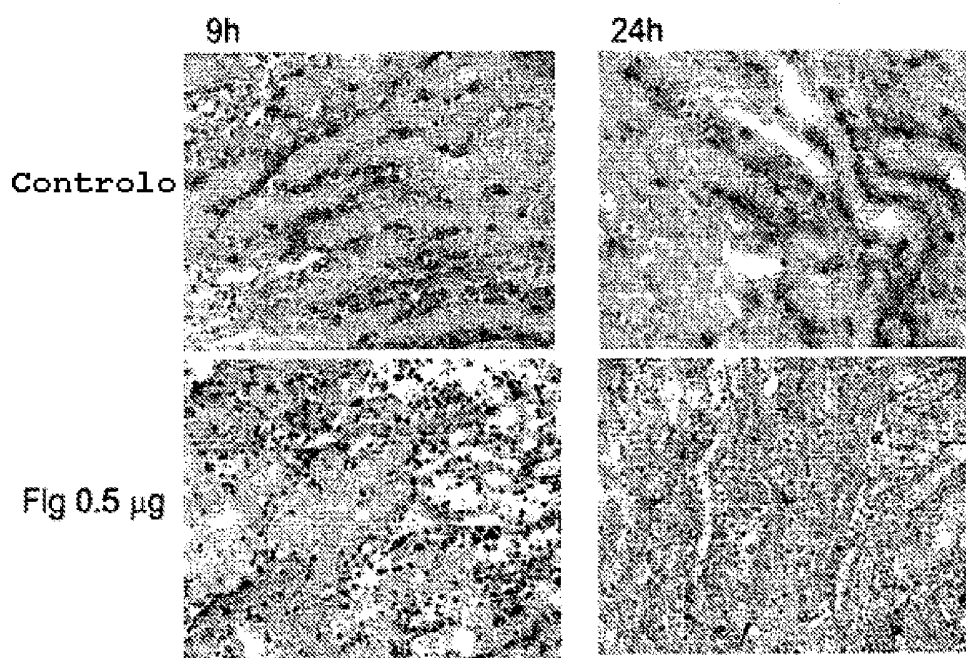
Figura 3



Dia 7 após a reperfusão



Figura 4



Marcação imuno-histoquímica de RB6, amplificação x200

Figura 5a

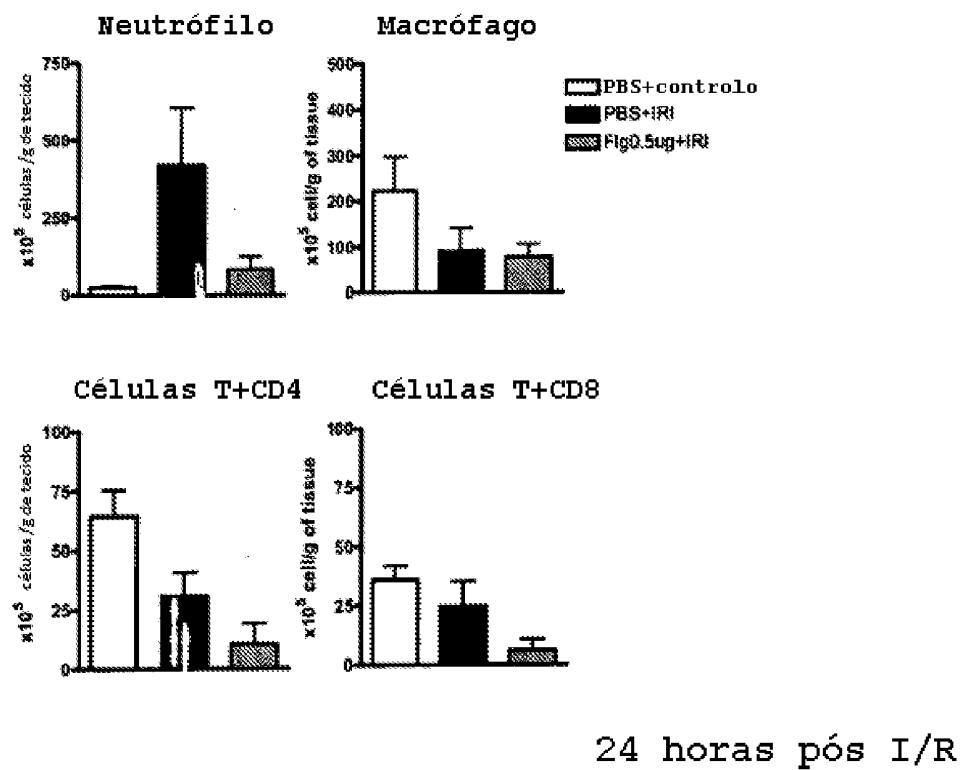


Figura 5b

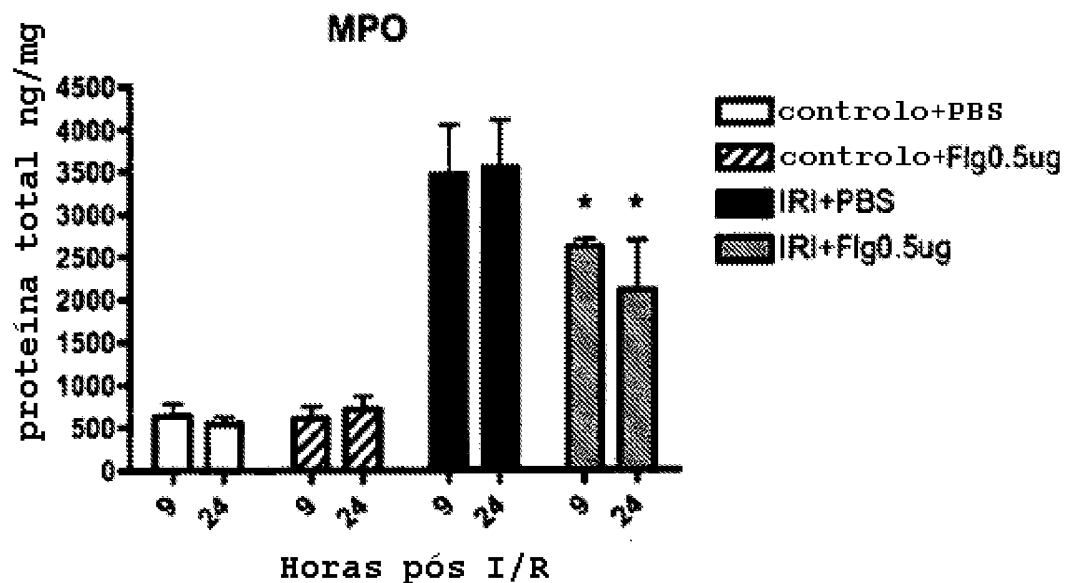


Figura 5c

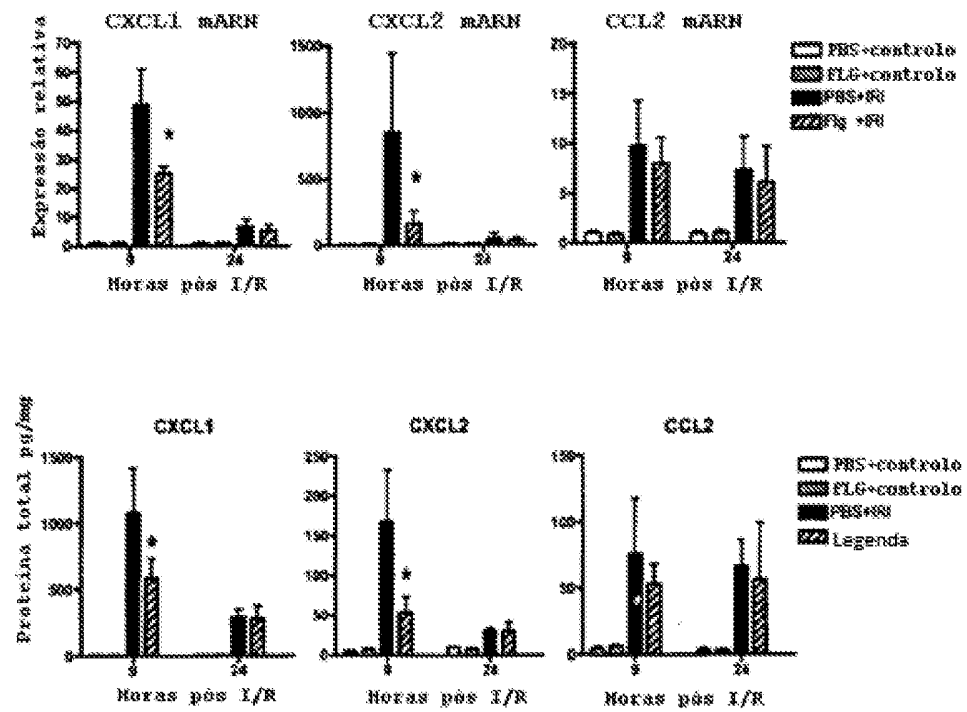


Figura 6

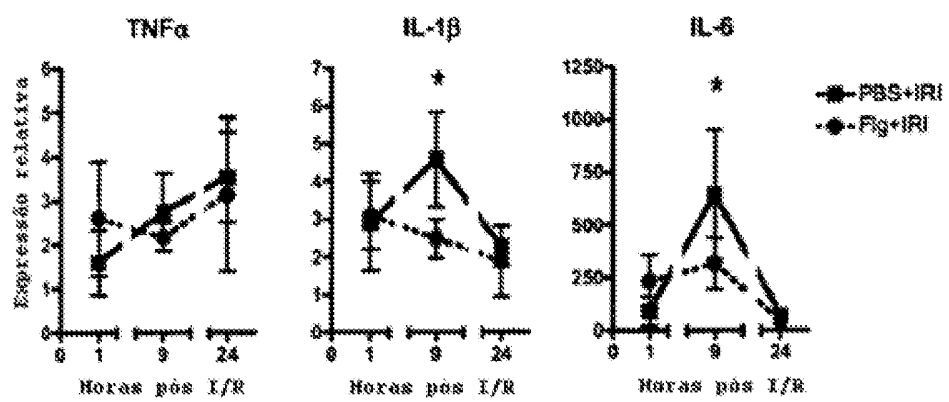


Figura 6b

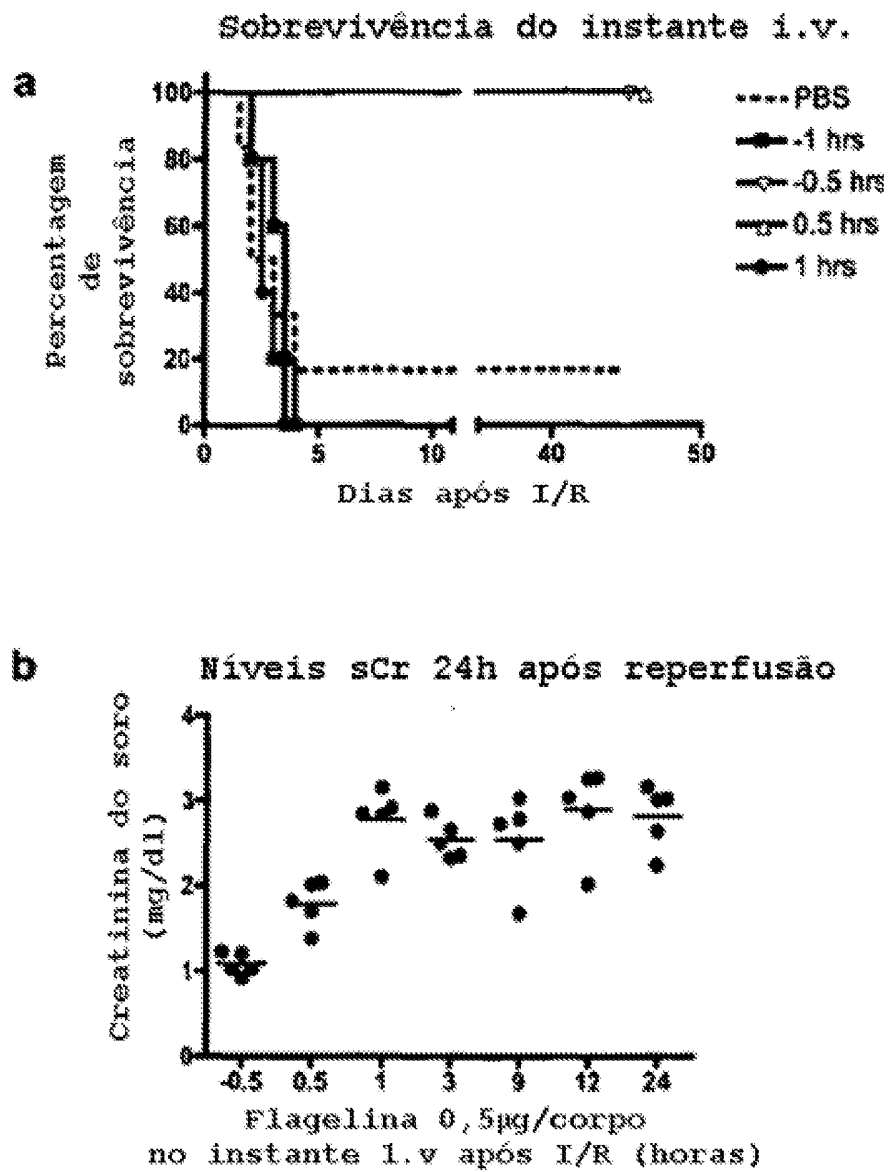


Figura 7

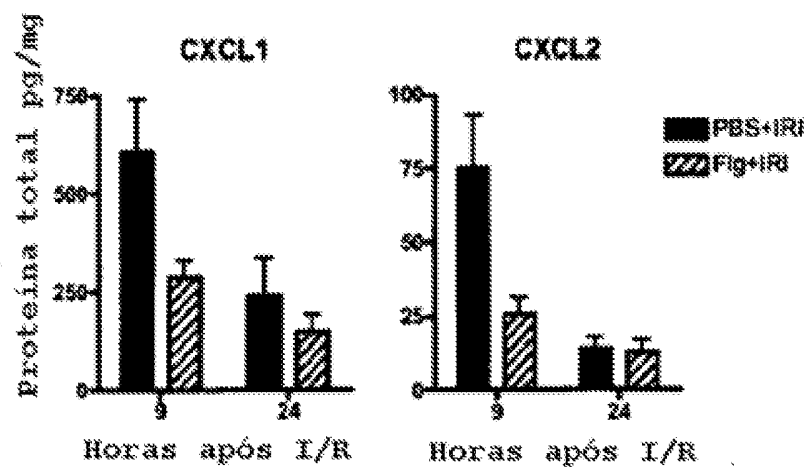


Figura 7c

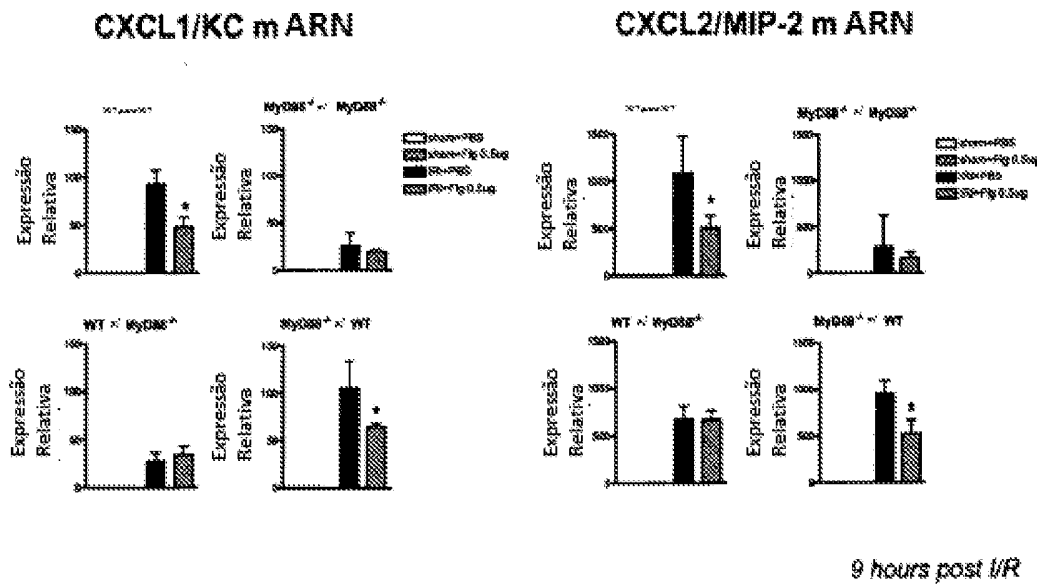


Figura 8

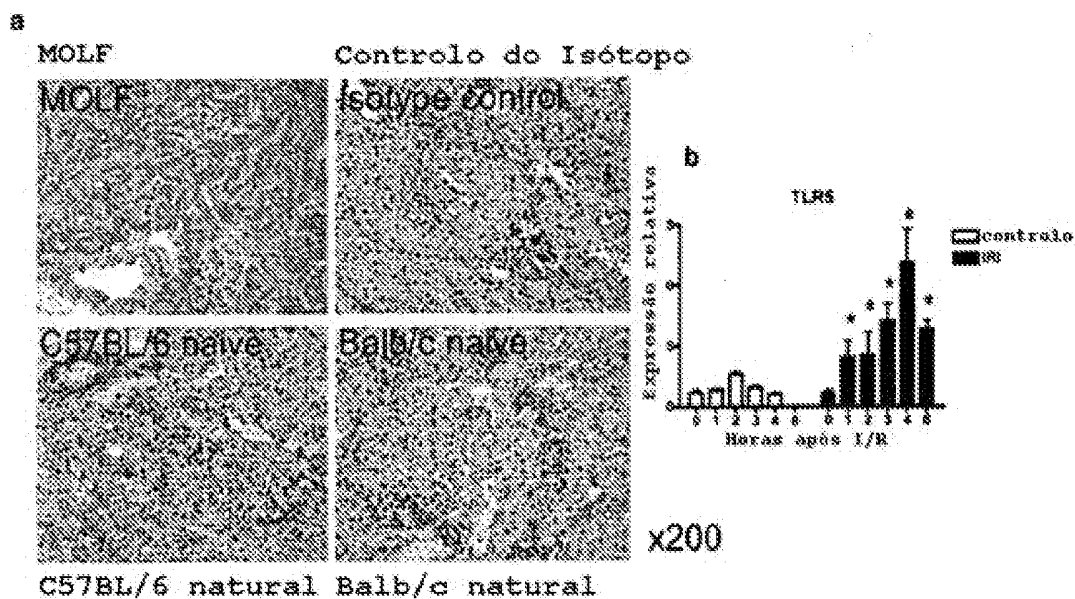


Figura 9

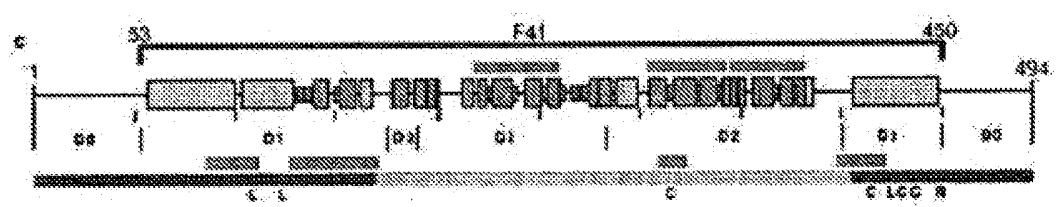


Figura 10

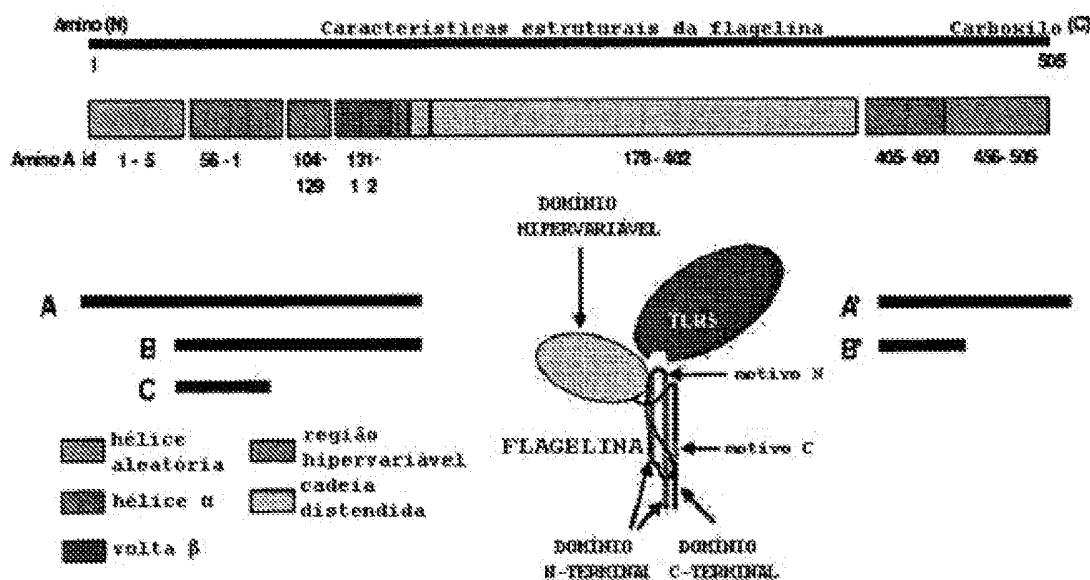


Figura 11

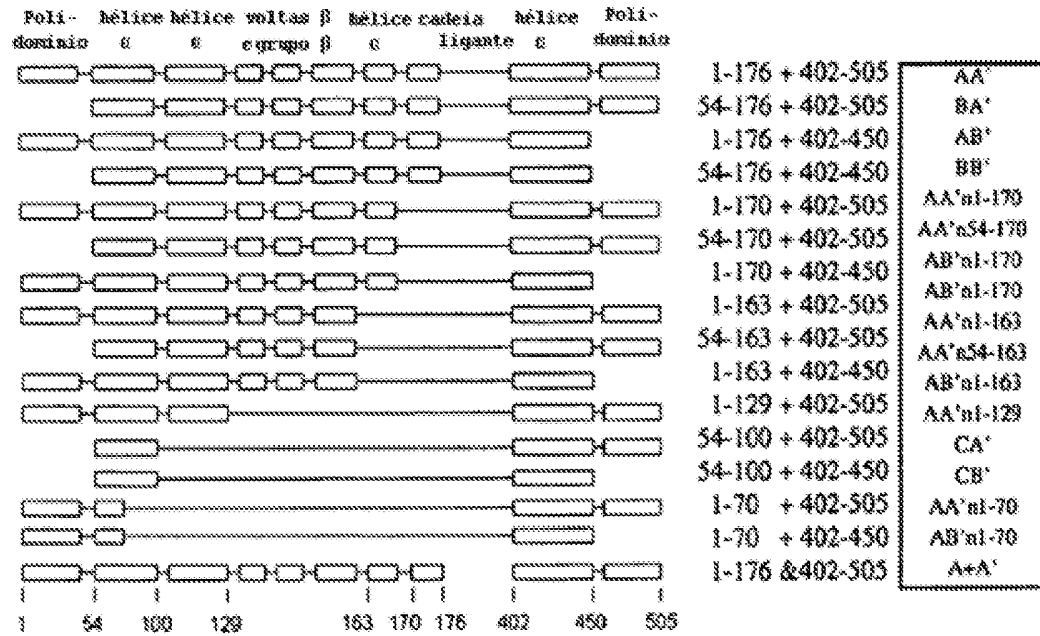


Figura 12

Figura 13

AA'

Sequência nucleotídica (990 bp):

ATGGGGGGGTTCTCATCATCATCATCATCATCATCATGGTATGGCTAGGCATGACTGGTGACACAGCAA
ATGGGGTCGGGATCTGTACGACGAAGACGATAACCGATCCGATGGCACAAGTCATTAACTACA
AACAGCCITCGCTGTTGACCCAGAATAACCTGAAACAAAATCTCGTGTCTACTGAGTTCC
GCTTAITGAGCGCTGTGTCTCTGGTCIGCGTATCAACAGCGCAGAAAGACGGATGGGGCAGGGC
CAGGCGBATCTCATACCGCTTCACTCTAAATATCAAAGGCCGTGACTCAGGCCTCCCGTAAAC
GCTTAACCGACGCCATTTCTATTCGCGCAGACCACTGAAGGTGCGCTGAATGAAATCAACAAAC
AACCTTGACCCGTTGCGCAGAGTTGTCAGGCCACTAACCGGACTAACTCTGATTTCC
GATLTGAAATCTATCCAGGATGAAATTCAGCCAACGCTCTGGAAAGAAAATCGATCGGCTTCT
AAATCAGACTCAATTIAACGGTGTAAAGTCCTCTCAGGACAAACCGATGAAAATTCGAG
GTGTTGGGCTAACGATGGTGAACCAATTACCACTGATCTCCAAAAAATTTGATGTGAAAAAGC
CTTGGCCCTTGTAGGGTCAATGTTAAATTCCCCGGGAAATTTCGGGTGTTGGTGGGAAATT
CTAGACTCCATGGTACATTAATCAATGAGACGCTGGCCGAGCCACGAAAGTACCGCT
AACCCACTGGCTTCATTGATTCGTCATTGTCATTTGAAAGTGGTGCGCACTTCGTTCTCTCCTG
GGGCAATTCAAAACCGTTTGTGATTCAGCCATTACCAACCTTGGCAATACGGTAAACCAAT
CTGAACTCCCGCGCTAGCCGATCGAGATGCTGACTATGCAACGGAAAGTTCTAAATATG
TCTAAAGCCAGAATTCTGCAAGCAGGCTGGTACTTCCGGTTGGCCAGGGTAAACCGGTT
CCGCAAAACGCTCTCTTACTGGTTAG

Sequência proteica (329 AA)

MRCGSHHHHHRGMASMTGGQQMGRDLYDDDDKDPMAQVINTNSLSLLTQNNLNKSQSSLSSAIERLSSLR
GLRINSAKDDAAGQIAIANRFTSNIKGLTOASRNANDGISIAQTTEGALNEINNNLQRVRELSVQATN
GTNSDSDLKSIQDEIQQRLEEDRVSNOTQFNGVKVLSDQDNQMKIQVGANDGETITIDLQKIDVVKSL
GLDGFNVNSPGISGGGGGILDSTMSTLINEADAAAARKSTANPLASIDSALSKVDAVRSSLGAIONRFD
SAITNLGNTVTNLNSARSRIEADYATEVSNMSKAQILQQAGTSVLAQANQVPQNVLSSLR

ABP

Sequência nucleotídica (825 bp):

ATGCCGGGTTCTCACTCATCATCATGGTATGGCTAGCATGACTGGTGGACAGCAA
ATGGGTGCGGAATCTGTACGACGAATGAGCAATAGGATCCGATGGCACAACTCATTA
AACAGCTGTCGCTGTTGACCCAGATAACCTCAGAACAAAATCTGACCTCTACTGAGTTCC
GCTATGAGCGCTGTCCTCTGGTCTGGTATCAACAGCCCAGAAGACGATGCGGCAGGC
CAGGCGATGCTAACCGCTTCACTCTAAATATCAAAGGCTGACTCAGGCTTCCCGTAACT
GCTAACCGACGGCTTCTTATGGCGCAAGCCACTGAAAGGTEGGCTGAAATGAAAATCAACAC
AACCTGCAAGCGTGTCGIGAGTGTCTGCTCAGGCCACTAACGGGACTAACTCTGATTTCC
GATCTGAAATCTATCCAGGATGAAATTCTGCAACGCTCTGGAAAGAAATCTGATCGGTTCT
ATCTGACTCTAACTAACGGTGTAAAGTCTCTCTCAAGAACCAAGATGAAATTCAG
GTTGGTCTAACGATGGTAAACCATTCTACCTCGATCTGAAAAAAATCTGATGTTAAAGC
CTGGCTTCTGATGGCTTCAATGTTAACTCCCCGGAAFTCTCGGGTGGTGGTGGGAAATT
CTAGACTCATGGTACATTAATCACTGAGACGTGCCCCAGCAAGAAAATCTACCGCT
AACCCTACTGGCTTCAATGATTCCTGCTTCAAGTGGACCGAGTCGCTTCTCTG
GGGGCAATCAAAACCGTTTGTGATTCAGCACTAACCAACCTTATAG

Sequência proteica (274 AA):

MRGSHHHHHHMGASMTGGQQMGRDLYDDDKDPMAQVINTNSLSSLTQNNLNKSQSSELSSAIERLSS
GLRINSAKDDAAGQAIANRFTSNIKGLTQASRNANDGISIAQTTEGALNEINNLQRVRELSVQATN
GTNSDSDLKSIODEIQQRLEEDRVSNQTOFNGVKVLSDNQMKIQVGANDGETITIDLQKIDVRS
GLDGFnVNSPGISGGGGILDSMGTLINEADAAGKSTANPLASIDSALS SKYDAVRSSLGAIONRFD
SAITNL

Figura 13

Figura 13, continuação**BA'****Sequência nucleotídica (831 bp):**

```

ATGCGGGGTTCTCATCATCATCATCATCATGGTATGGCTAGCATGACTGGTGGACAGCAA
ATGGGTGGGATCTGTACGACGATGACGATAAGGATCCGTCACTCTAATAICAAAGGC
CTGACTCAGGETCCCGTAACCGCTAACGCCGGCATTTCTATGGCGAGACCACTGAAGGT
GCCGTGAATGAAATCAACACAAACCCIGCGCGTGGCAGACTTGCTCAGGCCACT
AACGGGACTRACTCTGATTCGAACTCTGATTCAGGTGAAATTCAACCCAGCAACTCTG
GAAGAAATCGATGGGTITCTAAICAGACTCAATTIAACGGTGTAAAGTCCCTCTCAG
GACAACCCAGATGAAAATCCAGGTGGTGTAAACGATGGTGAACCAATTACCACTGATCTG
CAAAAAATGATGTGAAAAGCTTGGCTTGTGATGGGTCAAIIGITAATTCCCCGGAAATT
TCCGGTGGTGGTGGTGGRAATTCTAGACTCCATGGTACATTAATCAATGAAGACCTGCC
GCAGCCAAGRAAGIACCGCTAACCCACTGGCTCAATIGATCTGCTTGTCAAAGTG
GACGCCATCTCGTCTCTCTGGGGCAATTCAAAACCGTTTGTGATTCAGCCATTACCAAC
CTTGGCATACGGTAACCAACTGAACTCCGGCGTAAACCTATCGAAGATGCTGACTAT
GCAACGGRAAGTTCTAATATGCTAAAGCCAGATTCTGACGAGGTGGTACTTCCGGT
CTGGCGCAGGCTAACCGTCCCTCTTACTGCGTTAG

```

Sequência proteica (276 AA):

```

MRGSHHHHHHGMASMTGGQMQGRDLYDDDDKDPFTSNIKLTOASRNANDGISAOTTEALNEINN
NLQRVRELSVQATNGTNSDLKSIQDEIQQRLEEDRVSNOTQFNGVKVLSDNQMKIQVGANDGE
TITIDLQKIDVKSLGLDGFNVNSPGISGGGGGILDMSGTLINEDAAAKSTANPLASIDSALKVD
AVRSSLGAIQNRFDSAITNLGNVTNLNSARSRIEADAYATEVSNMSKAQILQQAGTSVLAQANQVP
QNVLSSLR

```

BB'**Sequência nucleotídica (666 bp):**

```

ATGCGGGGTTCTCATCATCATCATCATGGTATGGCTAGCATGACTGGTGGACAGCAA
ATGGGTGGGATCTGTACGACGATGACGATAAGGATCCGTCACTCTAATAICAAAGGC
CTGACTCAGGETCCCGTAACCGCTAACGCCGGCATTTCTATGGCGAGACCACTGAAGGT
GCCGTGAATGAAATCAACACAAACCTCGCAGCGTGGCAGGTGAGTTGCTTGCTCAGGCCACT
AACGGGACTRACTCTGATTCGATCTGAAATCTATCCAGGTGAAATTCAAAACGCTCTG
GAAGAAATCGATCCGTTCTCTAACTCAGACTCAATTAAACGGGTTAAAGTCCCTCTCAG
GACAACCCAGATGAAAATCCAGGTGGCAGTGGTGAACGATGGTGAACCAATTACCACTGATCTG
CAAAAAATGATGTGAAAAGCTTGGCTTGTGATGGGTCAAIIGITAATTCCCCGGAAATT
TCCGGTGGTGGTGGTGGRAATTCTAGACTCCATGGTACATTAATCAATGAAGACCTGCC
GCAGCCAAGAAGTACCGCTAACCCACTGGCTCAATGAACTGCTTGTCAAAGTG
GACGCCAGTTCTCTCTGGGGGCAATTCAAAACCGTTGGATTCAGCCATTACCAAC
CTTAG

```

Sequência proteica (221 AA):

```

MRGSHHHHHHGMASMTGGQMQGRDLYDDDDKDPFTSNIKLTOASRNANDGISAOTTEALNEINN
NLQRVRELSVQATNGTNSDLKSIQDEIQQRLEEDRVSNOTQFNGVKVLSDNQMKIQVGANDGE
TITIDLQKIDVKSLGLDGFNVNSPGISGGGGGILDMSGTLINEDAAAKSTANPLASIDSALKVD
AVRSSLGAIQNRFDSAITNL

```

CA'**Sequência nucleotídica (603 bp):**

```

ATGCGGGGTTCTCATCATCATCATGGTATGGCTAGCATGACTGGTGGACAGCAA
ATGGGTGGGATCTGTACGACGATGACGATAAGGATCCGTCACTCTAATAICAAAGGC
CTGACTCAGGETCCCGTAACCGCTAACGCCGGCATTTCTATGGCGAGACCACTGAAGGT

```

Figura 13 (cont.)

Figura 13, continuação

GCGCTGAATGAAATCAGAACACCTCGACGCGTGCCTGGTGATTTCTGTCAGGCCCCACT
 TCCCGGGGAAATGTTGGTGGGTTGATTCTTAGAATCTGGTAACATAATACAT
 GRAGACCCCTGCCCGGACCCGAACTGGCGTACCTGGCACTGGCTCACTGGTCGCA
 TTGTCAAAGTGGACGGCGTCTCTGTTCTCTGGGGCACTTCTCAAACCCGTTTGTGCA
 GCCTTACCAACCTTGTGCAATTGGTACCCAACTCTGACCTTCCGGGAGGCGTAAAGGA
 GATGCTGAACTGCAAGGTTCTCTATAGTGTAAAGCTGCAAGCTTCTGCAAGCT
 GGTAATCTGGCTTGGCGCAGGCTAACCCAGGTCTCCGAAACAGCTCTCTTCTTACTGCGT
 IAG

Sequência proteica (200 AA):

MRGSHHHHHHGMASMTGGQMQGRDLYDDDKDPPFTSNIKRLTQASRNANDGISAQTTECALNEINN
NLQRVRRELSQLVQATSPGIGGGGGGILDSMGTJLINEDAAAKKSTANPLASIDSALSALKVDARSSLGAI
QNRFDSDAITMLGNTVTLNLSARSRIEDADYATEVSNMSKQIQLQQAGTSVLAQANQVUPQNVLSSLR

CBF

Sequência nucleotídica (483 bp):

AATGGGGGTCATCTACATCATCAGGTGTTGGCTAGCGATGGTGGGACAGCAA
ATGGTGGCGGAATCTGAGCGATGAGCAATAAGGATTCGGCTTACTTCATAAAGGC
CTAACCTGCTTCTCCGTAAGCTTGACGCGCATTCATTTATGCCAGAACCTGAGGT
GGCTGTTAATGAAACAAACAACTGGCTGGCTGGTGGGAGGATGTTGCTGCTGGGACT
TTCTGGGGATTCTCGGGTTGGTGGGAGGATCTGACTCTGGCTTCAATGTTAACAT
GAGTCGCTGGCGCACCTGAGAAAATACCGCTAACCCACTGGCTTCATGTTGTTGCA
TGGCTGGTGGAGCGAATGTTGCTTCTCTCTGGGGGCAATTCAAAACCGTTGGATICA
GCTATACCGCTTCTG

Sequência proteica (145 AA):

secuencia proteica (145 AA):
MRCGSHHHHHHGMASNTGGCQONCRDLYDDDDKDPFTSNIKGLTOASRNANGISIAOTTEGALNEINN
NLQVORRELVSOATSPGIGGGGGIILDSMGTLINEADAAAARKSTANPLASIDSALKVDAVRSSLGAI
CNREFDASITML

1

Sequência nucleotídica (639 bp):

ATCGGGGTCTCTACATCACTACAGGGTATGCTAGCATGACTGTTGACAGCAG
ATGGGTCGGGATCTGTAGCGATGAGCATTAAGGATGCCATGGCACTAGTCATTATACA
AAGCCAGCTTGCGTGTGRCCTGAAATACTGCAAACTCAGCTACAGTCAGGTC
GCTATTGGCGCTGCCTCCCTGGCTGGTATCACAGCGSCAAAGGAGCTGGCGAACG
CAAGCGATGTTCTACCGCTCTTCRCLTAAATATCAGGGCTGACTCAGGCTTCCCCTAAC
GCTTACAGCCGGAACTTCATGGCCAGGACCACTGAGGPGCCCTGATGAAATCAAC
APCCGTCACCGTGGCTGGAGTTGCTGCTGGCCGACTCTGCTGTTCTGG
GATCTGAGATCTTCAGGAGTAATTCAGCAGCCAGCTCTGGGAGACTCTGTTCTGG
ATTCAGACTGTTTAACTGCTGTTAAAGGCTGCTCTAGGACAACTGAGTAAGAAAATCCAG
GTTGGGCTCTAGGGCTCTAGTGTAAATCTCCGGGGATGAG
CTGGCCCTTCTGGGGCTCTAGTGTAAATCTCCGGGGATGAG

Sequência proteica (212 AA), os últimos três aminoácidos são derivados do iniciador e do poliligante pRSETb:
MRCGSHHHHHGMAASMTGGQQMGRDLYDDDDDRDPMAQVINTNSLSSLTQNNLNKSQSSLSAIEERLSS
GLRINSAKDIAAQQAIAANFTSNIKGLTQASRNANDGSIATQTTGALNEINNNLQRVRELSVQATN
GTVNSDSDLKIQDEIIOORLEEDRVSQNTQFMGVVKVLSDUNQNMKIQVGANGQETITIDBLOCKIDVKRS
GLDCPENVNVSPG

Figura 13 (cont.).

Figura 13, continuação

GGCTGAAAGAATCRAAACACCTSCRGCGTGGCGGAGGTTGTCGGTCAAGGCCACT
 TCCCCGGGAATTTCGGTTGGTGGGAAATTCTAGAGTCATGGTGACATTAAATCAT
 GAGACGCCTGGCCGGCAGAAAATGAAACGCTAACCCACTGGCTAACATGATCICA
 TGGICAAAGGTGGACGAGIXGSGTCTTCCTGSGGGCAATIGAAACCGTTTIGATICA
 GGCTATCCACCTTGGAAATHCQQTAAATCAGCTGAACTCCCGCTGACCTCCCGCTG
 GATGCTGACTATGCAAGGAGTTCTTAATATGCTTAAGCCGAGATTCGGAGCAGCT
 GGTACIICCGTICGGCGCAGGCTAACCGGTTCCCTCTTACTGGCT
 TAG

Sequência proteica (200 AA):

MRCGSHHHHHHGMSMTGGQQMGRDLYDDDDKDPFTSNIKLTQASRNANDGISIAQTEGALNEINN
NLQRVRELSVQATSPGIGGGGGILDSMGTLINEDEAAAKSTANPLASIDSALSKVDAVRSSLGAI
QNRFDSAITNLGNITVNLSARSRIEDADTEVSNSRQILQQACTSVLAQANQVPQNVLSSLR

CB'

Sequência nucleotídica (403 bp):

ATGGGGGGTTCTCATCATCATCATCATCATGTTATGGCTTAGCATGACTGGTGGACAGCAA
 ATGGCTGGGATCTGGTACGACGATGAGGATAAAGGATTCGGTCACTCTTAATACAAAGGC
 CTGATCTGGGTTCTGGTACGGCTTAGCATGACGSCATTCATGCTGCGAGACNCCTGAGGT
 GCGCTGATGAAATCACACACACCTGGCAGGGTGGCTGAGTGGTCTGTCAGGGCAGCT
 TCCCCGGGATTTCCGGTGGTGGTGGGATTTGAGCTCCATGGCTAACATTAATCAT
 GAAGACGCTGGCGAGCAAGAAAAGIACCGGTTAACCCACTGGCTAACATGATGCTGCA
 TGGICAAAGTGAGGAGTTGGCTTCTGGGGGCAANTGAAACGTTTGGCT
 GCGATACGACCTTGG

Sequência proteica (145 AA):

MRCGSHHHHHHGMSMTGGQQMGRDLYDDDDKDPFTSNIKLTQASRNANDGISIAQTEGALNEINN
NLQRVRELSVQATSPGIGGGGGILDSMGTLINEDEAAAKSTANPLASIDSALSKVDAVRSSLGAI
QNRFDSAITNL

A

Sequência nucleotídica (639 bp):

ATGGGGGGTTCTCATCATCATCATCATGTTATGGCTTAGCATGACTGGTGGACAGCAA
 ATGGCTGGGATCTGGTACGACGATGAGGATAAAGGATTCGGTCACTCTTAATACAAAGGC
 ATACAGCTGGCTGGTGGTACGGCTGAGGATAACCCTGACAAATTCGACTCTAACIGAGTGT
 CCTATTGGTACGGCTGGTCTGGTCTGGCTATGCAACGGCGAAGAGATGGGGCAGGCG
 CAGGGATTTGGTAACTGGCTRACTCTTAATATCAAGGGTTGACTCTGGCTGGTAC
 GCTGGGGGGCAATTCTCIRTGCGCAGGACCTGGTGGCTGGCTGGCTGGCTGGCTGG
 AACCTGGCTGGCTGGCTGGCTGGCTGGCTGGCTGGCTGGCTGGCTGGCTGGCTGG
 GATCTGAAATCTTACCGGATGAAATTCTACGACAGCTGAGAAGAAATGATGGCTGGCT
 ATATGAGCTAACCTTACCGGATGAAATTCTACGACAGCTGAGAAGAAATGATGGCTGG
 GTGGCTAACGATGGCTGGCTGGCTGGCTGGCTGGCTGGCTGGCTGGCTGGCTGG
 CTGGCTGGCTGGCTGGCTGGCTGGCTGGCTGGCTGGCTGGCTGGCTGGCTGGCTGG

Sequência proteica (212 AA), os últimos três aminoácidos são derivados de iniciador e do poliligante pRSETb:

MRCGSHHHHHHGMSMTGGQQMGRDLYDDDDKDPFTSNIKLTQASRNANDGISIAQTEGALNEINNNNLQRVRELSVQATN
GLRINSAXDDAAQQAIAANRFTSNIKLTQASRNANDGISIAQTEGALNEINNNNLQRVRELSVQATN
GTNSDSLKSIQDEIQRLEIDRVSNQTFNGKVLSQDNQMKIQVGANDGETITIDLQKIDVRS
GLDGPNVNSPG

Figura 13 (cont.)

Figura 13, continuação

B

Sequência nucleotídica (480 bp):

A⁺GCCCCGGTCTCATCATCATCACTATCGTGTAAGCTGAGCATGACCTGGAGCACGAA
AAGGGCTCGGGACTCTGTACAGACGAGTGAACCATATACTTCACTTCTATACRAAGCT
CTGACCTAGCCTTCGGTAAACCCCTAACGCGCGATTCTGATTTGCGAGAACCTGAAAGT
AAGCTGAAALAAAACCTAACACAACTTGACAGLGGTGTGGCAGAGTGTGCTGAGCCACT
AANCAGCTAACTCTGATTCCTGAGTCYCTGAAUATATCNCAGAGAAATTCAACNAGCTG
GAGCAAATCGATGCCGTTTCTATCNGCTCTTAAACCGGTTAAAGCTCCTGCTCAG
GACACCLAGATGAAATTCTGAGTTCACCGGTTAAACCTTACCAACGATGATG
GAAAGATTCGATGCTGAAAGCTTGGGCTTAAAGCTTAACTGCTTACCGGCTGAA

Sequência proteica (159 AA), os últimos três aminoácidos são derivados do iniciador e do polilínguante pRSETb:
MRC\$HHHHHHGMASMTGCGQMGRDLYDDDKDPFTSNIKGLTQASRNANDGISAQITEGALNEINN
NLQRVRELSEGVATGQINGTNQSDLSIQCDETIQORLEEIDRVSNOTGFNGVKVLSDQDNQMKIOVGANDGE
TITIDLOQLQKIDVKSILGLDFNVNVNSPG

5

Sequência nucleotídica (252 bp):

Sequência proteica (83 AA), os últimos três aminoácidos são derivados do iniciador e do poliligante pRSETb:
MGSHEHHHHHHGAGSMNTGGQQMGRDLYDDDDKDPFTSNIKEGLTQASRNANDQSISIAQFEGALNEINN
IN QPQEPDQVQWPKP

EST-A

Sequência nucleotídica (1038 bp) - GST destacado:

Sequência proteica (345 AA):

Figura 13 (cont.)

Figura 13, continuação

B

Sequência nucleotídica (480 bp):

Sequência proteica (159 AA), os últimos três aminoácidos são derivados do iniciador e do poliligante pRSETb:
MKCSHHHHHHGMASTGGQQMGRDLYDDDDKDPFTSNIKGLTQASRNANDGISAQIIGEALNEINR
NLQRVRELSQLVAINTNSDSIDKSIODEIQORLEEIDRVSNTQFGNGVKVLSDQDNQMKGIVGANDGE
TITICLQLQKIVKSLICLGCFVNVSQG

5

Sequência nucleotídica (252 bp):

A TGGGGGCTTCATCAACATCACTTCATCAGTGTTGCTGAGTCAGTGTGCGACAGCA
ATGGCTGGGCTTCATCAACATCACTTCATCAGTGTTGCTGAGTCAGTGTGCGACAGCA
CTGAGTGGGCTTCATCAACATCACTTCATCAGTGTTGCTGAGTCAGTGTGCGACAGCA
GGCTGCTGATCATCACACACCTTCAGCTGAGCAGCAGTCATTCAGGCTGAGTCAGTGTGCGACAGCA
TCGGGGGATGA

Sequência proteica (83 AA), os últimos três aminoácidos são derivados do iniciador e do poliligante pRSETb:
MGSNSRRNNHGMASMTGGQQMGRDLYDDDDKDPFTSNIKGLTQASRNANDSISIAQTTEGALNEINN

EST-A

Sequência nucleotídica (1038 bp):

Sequência proteica (345 AA):

Figura 13 (cont.)

Figura 13, continuação

**MEPIILGIVNKIRGLYOPFHILLTLETFIETTYEEHLVFRDEGKIKWHRKKXTLIGLGEENPFLVTEGKQG
SHATIIRYIADRHNNLWGCPRKERAETGMLLEGAVLDTRYGVSRIAYSKIDSTNLKVDFIFUSPLPEMLKMPF
PRLCHKTLYENGCHVTHFDPMIYDALLWVLYNEDPMIUREPMVLCERKRLERAKLULKYLAKSPLIAN
ELOCNOTTEGGSGENHEPKDIDYPRCSPGIGGGGGILDMSGTLINEDAAAKKSTANPLASIDSALSK
VDAVRSSLGAIQNRFDSAITNLGNTVTNLNSARSRIEDADYATEVSNMSKAQILOQAGTSVLAQANQ
VPONVLSSLR**

GST-β'

Sequência nucleotídica (873 bp), GST destacado:

Sequência proteica (290 AA):

**WSPILGMMTRKQGPTRRLVLLYDERRKTECHLVRQEGDKWWRPKPPIIGCEEFPTNLYTIDSVNLHQ
SMALLRYIADKINSLGGGLEKERAELISPLLEGAVLDTYCVSFLAYSKDRFTLKVDFLSKREPMHMP
DPLCHTKVINGDHYTHEDRMLVYDANQVYVMEEMCLLAFENLICFRSHRAAIPGTCGIAKSSKJAN
PESQWQATEGGEDNEEPRKADLYERGSPGIGSGGGGGILDMSGTLINEDAAAAKKSTANPLASIDSALK
VDAAVSSILGALONBEDSAITNI.**

AABl-170

Sequência nucleotídica (972 bp):

ATGGGGGGTCTCATCACTCATCATCGGTAGGCTAGCATGACTGGTGACAGC
ATGGGTGGGATCTGTACGACGATGACCGATAAGGATCGATGSCACAAGTCATAATAC
AAGAGCCCTGCGCIGTTGACCCAGATAACCTGACAAATCTCAGCTCTACIGAGTTC
CTTATTGNGCGCTGTCCTGGCTCGTATCACACAGCGGAAGACGATGCCAGGC
CAGSOGATTCGCTAACCGCTTCACCTCTAAATATCAAAGGCTGACCTCAGGCTCCCGTAAC
GCTAACGACGGCAATTCTTATTCGCGCAGACCACTGAAGGTGCGCTGAATGAATCAACAAAC
AACCTGCAAGCTGTGGCTGAGTTGCTCTGAGGGCACTAACGGGACTAACCTGATTC
GATCTGAAATCTAACCGGATGAAATCAGCAACGCTCGGAAGAAATCGATCCGTTCT
AACAGRCTCAATTAAACGGTAAAGCTCTCTCAGGACACCCAGATGAAAATCCRG
GTGGGCTTAACGRTGGTGAACCAATTACCATCAGCTCAGGAAATATGATGAAARGC
CTGGGCTTATCCCCGGGAATTCCGGTGGTGGTGGAAATTCTAGACTCCATGGCTACA
TTAATCAATGAGACGCTGCCAGCGAACAGAAAGTACCGGTACCCACTGCGCTICAATT
GATCTGCAATTGCTAACAAAGTGGACCGACTTGTCTCTCTGGGGCAATTCAAAACCGT
TTTGTTCAGCCAATTACCAACCTTGCCTAACGGTAACCAATCTGAACTCCCGCGTAGC
CGTATCGAAGATGCTGACTATGCAACGGAAAGTTCTAAATATCTAAAGCGCAGATCTG
CAGCAGGTGGTACTTCGTTGGCCAGGCTAACAGGTCCGCAAAACGCTCTCT

Figura 13 (cont.).

Figura 13, continuação

TTACTGGCTTAG

Sequência proteica (323 AA):

MRGSHHHHHHGMASMTGGQQMGRDLYDDDDKDPMAQINTNSLTLQNNLNKSQSSLSAIERLSS
GLRINSAKDDAAGQAIANRFTSNIKGLTQASRNANDGISIAQTTGALNEINNNLQRVRELSVQATN
GTNSDSDLKSIQDEIQQRLEEIDRVSNQTQFNGVKVLSDQNQMKI0VGANDGETITIDLOKIDVVKSL
GLIPGISGGGGIILDSMGTLINEADAAAACKSTANPLASIDSALSKVDAVRSSLGAIONRFDSAINTNL
GNTVTNLNSARSRIEDADYATEVSNMSKAQILOOAGTSVLAQANOVPONVLSLLR

AA'n1-163

Sequência nucleotídica (951 bp):

ATGCCGGGGTCTCATCATCATCATGGTATGGCTAGCACTGACTGGGGACAGCAA
ATGGGTGCGGGATCTGTACGACGATGRCGAATAAGGATCCGATGGCACAAGTCATTARTACA
AACAGCTGTGCGTGTGACCCAGAAATACCTGAAACAAATCTCAGTCCTACTGAGTTCC
GCATTTGAGCGCTCTGCTCTCTGGGCTGCTATCAACAGCGCAGAAAGACGATGCGGAGGC
CAGGCAGATGCTAACCGCTCACTCTTAATCTAAAGGCTGACTCAGGCCTCCCGTACG
GCTAACGACGGCAATTCTATTGGCGAGGCACTGAAGGTGGCTGAAATGAAATCAACAAAC
AACCTGCAAGCGTGFGCGTGGAGTTGCTCTGCTCAGGGCACTAACGGGACTAACTCTGATTC
GATCTGAAATCTATCCAGGATGAAATCTAGCAACGCTGGAAAGAAAATCGATCGCTTCT
AAATCAGACTCAATTAAACGGTGTTAAAGTCCTCTCAGGACAACCCAGATGAAATCCAG
CTTGGGGCTAACGATGGTGAACCATTAACCATCACTCTGCTAAAAATATCCCGGAAATT
TCCGGTGGTGTCTGGGGAAATTCTAGNCTCCATGGGCTACATTATCAATGAAGACGCTGCC
GCAACCGAAGAAAGTACCGCTAACCCACTGGCTTCATTTGATTCTGATCTGCTAAAGTG
GACCCACTCTGCTCTCTGGGGGCTATICAACAAAGCTTCTGATTCTGACCTTACCAAC
CTTGGCAATACGGTAACCAATCTGAACCTCCGGCTGAGCGTATGAAAGATGCTGACTAT
GCAACGGGAAGTTCTAAATATGCTIAAGCGCAGATCTGCTAGCAGCAGSCCTGTAACCTTCCGGT
CTGGCGCAGGCTAACCAAGGTTCCGCAAAAGCTCTCTTACTGCGTAG

Sequência proteica (316 AA):

MRGSHHHHHHCMASMTGGQOMGRDLYDDDDKDPMAQVINTNSLTLTONNLNKQSOSLSSAIERLSS
GLRINSAKDDAAGQAIAANRTSNIKGLTOASRNANDGISIAQTTEGALNEINNNLQRVRELSVQATN
CTNSDSDLKSIQDEIQRLEEIDRVSNOTQFNGVKVLSDQNMKIQVGANDGETITIDLOKIIIPGIS
GGGGGILDSMGTILINEAAAKSTANPLASIDSALKVDARSSLGAIQNRFDSAINTLGNVTNL
NSARSRIEDADYATEVSNMSKAQILOOAGTSVLAQANOVPONVISLLR

AA#54-170

Sequência nucleotídica (813 bp):

ATGGGGGGTTCTCATCATCATCATCAAGGTATGGCTTACCACTGACTGGGGACAGCAA
ATGGGTCGGGATCTGTACGGACGGATCGGGAATAGGAATCCGTTCACCTCTAAATCAAAAGGC
CTGACTCAGGCCCTCCCCGIAACGCTAACGGACGGCATITCTATTCGCGACGACTGAAGGT
CGCGCTGAATGAARTCAACAACAAACCTGCGAGCGTGCGGTGAGGTGTCGTTAGGCCACT
AACGGGACTAATCTGATTCGGATCTGAAATCTATCCAGGATGAAAATCAGCAACGCTIG
GRAGAGATCTGATCCGGTTCTAATCTGACTCAATTTCAGGTTGTTAAAGTCTCTCTCG
GACARCCAGATGAAAATCCAGGTGGTGCTAACGATGTTGAAACCATTACCATCGATCTG
CAAAAAATGATGTCGAAAAGCCCTGGGCTTATCCGGGAAATTCCGGTGTGGTGGTGGAA
ATTCTAGAGCTTCATGGGTACATTAATCAAGAACGGCTGGCGAACGCCAACAAAGTAC
GCTAAACCACTGGGCTTCATGTTCTGCTACGTCAAAAGTGGACGGCAGTCTGTTCTCT
CTGGGGGCAATTCAAAACCGTTGATCTAGGCCATTACCAACCTTGGCAATACGGTAAC
AAATCTGAACTTCGGCGCTAGCCGTATCGAAGATGCTGACTATGCAACGGGAGTTCTTAAT
ATGCTAAACCCAGATTCTGCGACGGCTGGTACCTCGGTCTGGCCAGGCTAACCGAG
GTTCCGCAAAACGGCTCTCTTCTACIGCGTTAG

Figura 13 (cont.)

Figura 13, continuação

Sequência proteica (270 AA):

MRGSHHHHHHCMASNTGGQQMGRDLYDDDKDPFTSNIKGLTOASRNANDGISIAQFTTEGALNEINN
NLQRVRELIVOATNGTNSDSDLKSIQDEI00FLEEI0RVSNOTOFNGVKVLSDNQMKIQVGANDGE
TITIDLQKIDVKSGLIPIGIGCGGGGILDSMGTLINEADAAKKSTANPLASIDSALKVDAVRSSL
GAIQNRFDSAITNLGNTVTNLSARSRIEDADYATEVSNMSKAQILOAGTSVLAQANOVQPQNVLSL
LR

AA'n54-163

Sequência nucleotídica (792 bp):

ATCGGGGGTCTCATCATCATCATCATGGTATGCCATGCACTGGCTAGCACTGACTGGTGCAAGC
ATGGGTGCGGATCTGTACGACGATGACGATAAGGATCCGTTCACTCTAATACTCAAAGGC
CTGACTCAAGGCTTCCGTAACGCTAACGGCATTCGACTGAGCTGACTGCTGCTGCTG
GGCGCTGAACTCACACACAACCGCAGCGTGTGGCTGAGSTGCTGACTGCTG
AACGGGACTTACCTCTGATTCGGAACTGGAAATCTATCTCAGGATGAAATTCAACGCTG
GAAGGAATTCTGATCGGGTCTCTIAATCAGACTCATTTAACGGGTTAAASTCCCTCTCG
GACAACCGAGATGAAAATCAGGTTGGCTAACGGATGGTGGIGAAACCAATTACCACTG
CAAAAAATATCCCCGGGAAATTCCGGGGGGGGGGGGGGGGGGGGGGGGGGGGGGGGGGGG
TTAATCATGAAGACCTGGCGGAGCCAAGAAAAGTACCGCTAACCCACTGGCTCAATT
GAITCTGCTATTGTCMAAGTGGACCGAGTTCTGTTCTCTCTGGGGGCAATTCAAAACCGT
TTTGGATTCAGCCATTACCAACCTCTGCCAATACCGTAACCAAATCTGAACTCCGGCTGAGC
CGTATCGAAGATCTGACGACGAAAGTTCTAAATGCTAAAGSCGCRGATCTG
CAGCAGGCTGGTACTCTGGCTCTGCGCAGGCTAACCGGTTCCCTAAACGCTCTCT
TTACTGCTGTTAG

Sequência proteica (263 AA):

MRGSHHHHHHGMSMTGGQOMGRDLYDDDDKDPFTSNIKGLTQASRNANDGISIAQTTEGALNEINN
NLQRVRELSPQATNGTSNSDSDLKSIQDEIQQRLEEDRVSNQTFQNGVKVLSDQNMKIQVGANDGE
TITIDLQKIPGIGGGGGILDSMGTLINEADAAGKSTANPLASIDSALKVDAVRSSLGAIQNRF
DSAINTNLGNTVTNLNSARSRIEDADYATEVSNMSKAQILOOAGTSLVAQANOVPNVLSLLR

AB'nt-170 (or AA'nt-170c402-450)

Sequência nucleotídica (807 bp):

A T G C G G G G T T C A T C A I C A T C A T C A T G G T A T G G C T A G C A T G G T G G C A C G C C A
A P G G G T C G G G A T C T G T A C C G A C G A T G A C G A T A A G G C A T C C G A T G G C A C A A G G C A T T A A T A C A
A A C A G C C T G C G C T G T G C C A C C C A G A T A T C C T G A C A C A A T C T C A C T C T C A C T C A G T T I C C
G C T A T T G T A C G G I C T G T C C T C T G G G T C G G G T A T C A C R G G G G A A A G A C G A T G G G G C A G G C
C A G G C G A T T G C T A A C C G G T C A C T T C T A A T A T C A A A G G C C T G A C T C A G S C T T C C C G T A A C
G C T A A C C G N G G G A T T T C T A T T G C G C A G A C C A C T G C A G G T G C G C T G A A T G A A A T C A A C A A C
A A C C T G C A C C G G T G C G T G A G T T G C T G T T C A G G C C R C T A A C G G G A C T A A C T C I G A T I C C
G A T C T G A A T C T A T C C A C G A I G A A A T C A G C A A C G C T C T G G A A G A A T C G A T C G G T T I C T
A A T C R G R C T C A A T T A A C C G G I G T T A A X G T C C T C I C T C A G G C A A C C A G A T G A A A A T C C A G
G T I G G T G C T T A C C G A I G G T G A B A C C A T I A C C A T C G A I C T G C A A A A A T T G A I G T G A A A A G C
C T I G G S C T T A T C C C G G G A T T T C C G G T G G G T G G T G G A A T T C T G A C T C C T C A T G G G T A C A
T T A T C T A A T G A A G A C G C T G C C G C C A G E C C A A G A A A A G T A C C C G C T A A C C A C T G S C T I C A A T T
G R I T C T G C A A T T G C T C A A M G T G G A C C C A T T C G C T I C T C I C T G S G G G C R A T T C A A A A C C G T
T T I G G A T T C A A T T G C T C A C C T T T G C

Sequência proteica (268 AA):

Sequenza proteica (266 AA):
MRGSHHHHHHGMASMTGGQQMGRDLYDDDKDOPMAQVINTNSLTLTONNLNKSQSSLSAIELRSS
GLBINSAKDDA&GOATIANRFTSNLKGLTOASEBNANDGTSIAOTTEGALNEINNNLORYRELSVOATN

Figura 13 (cont.)

Figura 13, continuação

GTNSDSDLKSIQDEIQQRLEEDRVSNOTQFNGVKVLSDNQMKIQVGANDGETITIDLQKIDVKSL
GLIPGISGGGGGILDMSGTLINEDAAAAKKSTANPLASIDSALSKVDAVRSSLGAIONRFDSAITNL

AB'n1-163 (or AA'n1-163c402-450)**Sequência nucleotídica (786 bp):**

ATGCCGGGTTCTCATCATCATCATCATGGTATGGCTAGCATGACTGGTGGACAGCAA
 ATGGGTGGGATCTGTACGACGATGACGAAGGATCCGATGGCAGAAGTCATTAAATACA
 AACAGCCTGTCGCTGTGACCCAGAATAACCTGAACAAATCTCAGTCCTCACIGAGTTCC
 GCTATTGAGCGCTGTCTGGCTCGGTATCAACAGCGCGAAAGNCGATGCGGCAGGC
 CAGGCAGATTCCTACCGCTTACCTTAATATCAAAAGGCTGACTCAGGCCTCCCGAAC
 GCTAAACGACGCCATTCTATTGCGCAGACCACCTGAAGGTGCGCTGAATGAAATCAACAAAC
 AACCTGCAGCTGTGCGTGAGTGTCTGTCAGGCCACTAACGGGACTAACCTCTGATTCC
 GATCTGAAATCTATCCAGGATGAAATTCAAGCAACGCTTGGAAAGAAATGATGCGCTTCT
 AATCAGACTCAATTAAACGGTGTAAAGTCTCTCTCAGGACAAACCGATGAAAATCCAG
 GTGGTGGCTAACGATGGTGAACCAATTACCATCGATCTGCAAAAAATATCCCGGAAATT
 TCCGGTGGGTTGGTGGAAATTCTAGACTCCATGGTACATTAAATCAATGAAGAGACGCTGCC
 GCAGCCAAGAAAGTACCGCTAACCCACTGGCTTCAATIGATCTGATTTGTCAAAAGTG
 GACCCAGITGCTTCTCTCTGGGGCAATTCAAAACCGTTGATTCAAGCCTTACCAAC
 CCTTAAAG

Sequência proteica (261 AA):

MRGSHHHHHNGMASMTGGQQMGRDLYDDDDKDPMAQVINTNSLTLQNNLNKSQSSLSSAIERLSS
 GLRINSAKDDAAGQAIANRFTSNIKLTQASRNANDGISAQTTGALNEINNNLQRVRELSVQATN
GTNSDSDLKSIQDEIQQRLEEDRVSNOTQFNGVKVLSDNQMKIQVGANDGETITIDLQKIDVKSL
GLIPGISGGGGGILDMSGTLINEDAAAAKKSTANPLASIDSALSKVDAVRSSLGAIONRFDSAITNL

AA'n1-129**Sequência nucleotídica (849 bp):**

ATGCCGGGTTCTCATCATCATCATGGTATGGCTAGCATGACTGGTGGACAGCAA
 ATGGGTGGGATCTGTACGACGATGACGAAGGATCCGATGGCAGAAGTCATTAAATACA
 AACAGCCTGTCGCTGTGACCCAGAATAACCTGAACAAATCTCAGTCCTCACIGAGTTCC
 GCTATTGAGCGCTGTGCTCTGGCTCGGTATCAACAGCGCGAAAGACCGATGCGGCAGGC
 CAGGCAGATTCGCTAACCGCTTACCTTAATCAAAAGGCTGACTCAGGCCTCCCGAAC
 GCTAAACGCGCATTCTATTGCGCAGACCACTGAAGGTGCGCTGAATGAAATCAACAAAC
 AACCTGCAGCTGTGCGTGAGTGTCTGTCAGGCCACTAACGGGACTAACCTCTGATTCC
 GATCTGAAATCTATCCAGGATGAAATTCAAGCAACGCTTGGAAAGAAATGATEGCGTTCT
 AATCAGATCCCGGGATTTCGGGTGGTGGTGGAAATTCTAGACTCCATGCTACATTAA
 ATCAATGAAGACGCTGGCCAGCCAGAAAAGTACCGCTAACCCACTGGCTTCAATTGAT
 TCTGCAATTGCAAAAGTGGACGCCAGTTCGTTCTCTGGGGCAATTCAAAACGGTTT
 GATCTAGCCATTACCAACCTGGCAATACGGTAACCAATCTGAACTCCGGCGCTAGCCGT
 ATCGAAGATGCTGACTATGCAACGGAAAGTTCTAATATGCTTAAGGGCAGATTCTGAG
 CAGGCTGGTACTTCCGTTCTGGCGCAGGCTAACCAAGGTCCGCAAAACGGTCTCTGTTA
 CTGGCTAG

Sequência proteica (282 AA):

MRGSHHHHHNGMASMTGGQQMGRDLYDDDDKDPMAQVINTNSLTLQNNLNKSQSSLSSAIERLSS
 GLRINSAKDDAAGQAIANRFTSNIKLTQASRNANDGISAQTTGALNEINNNLQRVRELSVQATN
GTNSDSDLKSIQDEIQQRLEEDRVSNOTQFNGVKVLSDNQMKIQVGANDGETITIDLQKIDVKSL
GLIPGISGGGGGILDMSGTLINEDAAAAKKSTANPLASIDSALSKVDAVRSSLGAIONRFDSAITNLGNTVTNLNSARSRIEADYATEVSNMSKAQILQQACTSVLA
QANQVPQNVLSLLR

Figura 13 (cont.)

Figura 13, continuação**AA'n54-129****Sequência nucleotídica (690 bp):**

```
ATGGGGGGTTCTCATCATCATCATCATCATGATGGCTAGCATGACTGGTGGACAGCAA
ATGGGTGGGATCTGTACGACGATGACGATAAGGATCCGTCACTCTAATAATCAAAGGC
CTGACTCAGGCTCCCGTAACGCTAACGACGGCATTTCTAATTCGCGAGACCACTGAAGGT
GCGCTGAATGAAATCAACAACCTGCAACGGTGIGCGTGAGITGCTGTTCAAGGCCACT
AACGGGACTAACTCTGATTCCGATCTGAAATCTATCCAGGAATGAAATTCAGCAACGCTG
GAAGAAAATCGATCCGGIITCTAACTGATCCCGGGATTCCGGTGGTGGTGGAAATT
CTAGACTCCATGGTACATAATCATGAAGACGCTGGCGACGCCAAGAAAATACCGCT
AACCCACTGGCTCAATIGATTCGATTTGCAAAAGTGGACCGAGTCGTTCTCTCTG
GGGGCAATTCAAAACCGTTTGTACGCAATTACCAACCTTGCGATAACGGTAACCAAT
CTGAACTCCCGCGTAGCCGTATCGAAGAGATGCTGACTATSCAACGGAAAGTTCTAATAATG
TCTAAAGCGCAGATTCTGCAGCAGCTGGTACTCTCCGTTGGCGCAGGCTAACCGTT
CCGAAACCGCTCTCTTACTGCGTAG
```

Sequência proteica (229 AA):

```
MRGSHHHHHMGASMTGGQQMGRDLYDDDDKDPFTSNIKGLTOASRNANDGISIAQTTEGALNEINN
NLQRVRELSVQATNGTNSDLKSIQDEIQQRLEEIDRVSNQIPGISMGGGGILDMSGTLINEDAAA
AKKSTANPLASIDSALKVDAVRSSLGAIQNRFDSTAINTLGNVTNLNSARSRIEDADYATEVSNMS
KAOILQQAGTSVLAQANQPVONVLSSLR
```

AB'n1-129**Sequência nucleotídica (684 bp):**

```
ATGGGGGGTTCTCATCATCATCATGATGGCTAGCATGACTGGTGGACAGCAA
ATGGGTGGGATCTGTACGACGATGACGATAAGGATCCGTCACTCTAATAATACA
AACAGCTCTGCTGTTGACCCAGATAACCTGAAACAAATCTCACGTCCTCACTGAGTTCC
GCTATTGAGCTCTGCTCTGGTCCTGCGTATCAACAGCGCAAAAGACGATGCGCGAGGC
CAGGGCAATTCTAACCGCTTCACTCTAATATCAAAGGCCGACTCAGGCTTCCCGTAAC
GCTAACGRCGGCATTTCTATGCCAGACACCTGAAAGGTCGCTGAAATGAAAATCAACAAAC
AACCTGCAAGCTGGCTGAGITGCTGTCAGGCCACTAACGGGACTAACTCTGATTC
GATCTGAAATCTATCCAGGAATGAAATTCAGCAACGCTGGAGAAAATCGATGCGTTCT
AAATCAGATCCCGGGATTCCGGTGGTGGTGGAAATTCTAGACTCCATGGCTAACCTTA
ATCAATGAGACGGCTGCCGACCCAAGAAAATACCGCTAACCCACTGGCTAACCTGAT
CTGCACTGCTAAAGTGGACGCACTGCTTCTCTGGGCCANTICAAAACCGTTT
GATTCAAGCCATTACCAACCTTAAAG
```

Sequência proteica (227 AA):

```
MRGSHHHHHMGASMTGGQQMGRDLYDDDDKDPMAQVINTNSLSLTONNLNKSQSSLSSAIERLSS
GLRINSAKDDAAQOAIANRFTSNIKGLTOASRNANDGISIAQTTEGALNEINNNLQRVRELSVQATIN
GTNSSDLKSIQDEIQQRLEEIDRVSNQIPGISMGGGGILDMSGTLINEDAAAACKSTANPLASIDS
ALKVDAVRSSLGAIQNRFDSTAINTL
```

AB'n54-129**Sequência nucleotídica (525 bp):**

```
ATGGGGGGTTCTCATCATCATCATGATGGCTAGCATGACTGGTGGACAGCAA
ATGGGTGGGATCTGTACGACGATGACGATAAGGATCCGTCACTCTAATAATCAAAGGC
CTGACTCAGGCTCCCGTAACGCTAACGACGGCATTTCTAATTCGCGAGACCACTGAAGGT
GCGCTGAATGAAATCAACAACCTGCAACGGTGIGCGTGAGITGCTGTTCAAGGCCACT
```

Figura 13 (cont.)

Figura 13, continuação

ACGGGACTAACITGAITCCGATCGAAATCTATCCAGGATGAAATTCAAGCAACGGTC
GAAGAAATCGATCGCGTTCTAATCAGATCCCGGARTTTCCGGTGGTGGTGGAAAT
CTAGACTCCATGGGTACATTAAATCAAGAGACGCIGCCCCACCCAAGAAAAGTACCGC
AACCACCTGGCTICAATGATCTGCGATGTCATAAGGAGGGCCAGTTCCTCTCTG
GGGCAATCAAACCGTTTGAAITCAAGCAATTACCAACCTTAG

Sequência proteica (174 AA):

MRGSHHHHHHGMASMTGGQQMGRDLYDDDKDPFTSNIKGLTOASRNANDGISIAQTTEGALNEINN
NLQRVRELSVQATNGTNSDLKSIQDEIQQRLEEDRVSNSQIPGISMGGGILDSMGTLINE
AKKSTANPLASIDSALKVDAVRSSLGAIQNRFDSAITNL

AA'nl-100

Sequência nucleotídica (762 bp):

ATGCCGSGTTCTCATCATCATCATCATGGTATGGCTAGCATGACTGGTGGACAGCAA
ATGGGTGGGAATCTGTACGACGATGACGATAAGGAATCGATGGCACAGTCATTAAATACA
AACAGCCCTGCGCTGTGACCCAGATAACCTGAACAAATCTCAGTCCTCACTGAGITCC
GCTATTGAGCGTCGCTCTCTGGCTGCGTATCAACAGCGGAAAGACGATGCGGCAGGC
CAGGCGATTGCTAACCGCTTCACCTCTAATATCAAGGCGTACTCAGGCTTCCCGTAA
GCIAACGACGGCATTCATTTGGCAGACCACTGAAGGTGGCTGAAATGAAATCAACAC
AACCCTGAGCGGTTGGGTGAGTGTCTGTCAGGCCACTATCCCAGGGATTTCCCGTGGT
GGTGGTGGGAATTCTGACTCCATGGGTACATTAAATCAAGGACGGCTCCAGGCGAG
AAAAGTACCGCTAACCAACTGGGCTCAATTGATCTGCAATTGCAAAAGGGACCGAGT
CGTCTCTCTGGGGCAATTCAAACCGTTTGATTCAGCATTACCAACCTTGCGCAAT
ACGGTAACCAATCTGACTCCCGCGTAGCGTATCGAAGATGCTGACTATGCRACGGAA
GTTCTTAATATGCTTAAGCGCAATTCTGCRACGAGGCTGGTACTICGSTCTGGCGCAG
GCTAACCAAGCTTCCAAAAACGCTCTCTTACTGGCTTAG

Sequência proteica (253 AA):

MRGSHHHHHHGMASMTGGQQMGRDLYDDDKDPMAQVINTNSLSSLTONNLNKSOSSLSSAIERLSS
GLRINSAKDDAAGQAIANRFTSNIKGLTOASRNANDGISIAQTTEGALNEINNNLQRVRELSVQATI
PGISGGGGILDSMGTLINE
DAAAAKKSTANPLASIDSALKVDAVRSSLGAIQNRFDSAITNL
GNT
VTNLSARSRIEDADYATEVSNMSKAQILQQAGTSVLAQANQVQNVLSLLR

AB'nl-100

Sequência nucleotídica (597 bp):

ATGGGGGTTCTCATCATCATCATGGTATGGCTAGCATGACTGGTGGACAGCAA
ATGGGTGGGAATCTGTACGACGATGACGATAAGGAATCGATGGCACAGTCATTAAATACA
AACAGCCCTGCGCTGTGACCCAGATAACCTGAACAAATCTCAGTCCTCACTGAGITCC
GCTATTGAGCGTCGCTCTCTGGCTGCGTATCARCAGGGCAGGAGCGATGCGGCAGGC
CAGGCGATTGCTAACCGCTTCACCTCTAATATCAAAAGGCCCTGACTCAGGCTTCCCGTAA
GCIAACGACGGCATTCATTTGGCAGACCACTGAAGGTGGCTGAAATGAAATCAACAC
AACCCTGAGCGTGTGGTGGAGTGTCTGTCAGGCCACTATCCCAGGGATTTCCCGTGGT
GGTGGTGGGAATTCTGACTCCATGGGTACATTAAATCAAGGACGGCTGGCGAGCCAG
AAAAGTACCGCTAACCAACTGGGCTCAATTGATCTGCTGAAATGCAAAAGGGACCGAGT
CGTCTCTCTGGGGCAATTCAAACCGTTTGATTCAGCATTACCAACCTTAG

Sequência proteica (198 AA):

MRGSHHHHHHGMASMTGGQQMGRDLYDDDKDPMAQVINTNSLSSLTONNLNKSOSSLSSAIERLSS
GLRINSAKDDAAGQAIANRFTSNIKGLTOASRNANDGISIAQTTEGALNEINNNLQRVRELSVQATI
PGISGGGGILDSMGTLINE
DAAAAKKSTANPLASIDSALKVDAVRSSLGAIQNRFDSAITNL

Figura 13 (cont.)

Figura 13, continuação

AAm1-70

Sequência nucleotídica (672 bp):

ATGCCGGGTTCTCATCATCTCATCACTGATGGCTAGCATGACTGGTGACAGCAA
ATGGGTCCGGGATCAGTACGACCGATGCCGATAAGCACTGGCATAAGTCATTAACTACA
AACAGCCCTGTCGTGTGACCCAGAATAACCTGAACAAATCTCAGTCCTCACTGAGTTCC
GCTATITGGCGCTGTGTCCTCTGGCTCAGCGTAICACAGCGCGAANGCGAIGCGGCAGGC
CAGGGATATGCTAACCGCTTCACCTCTAAATCTAAAGGCTGTACTCAGGCCTCCCGTAACT
GCTAACCGACATCCCCGGAAATTCCCGTGGTGGTGGTGGAAATTCTAGACTCCATGGGTAACA
TTAACTCAATGAAAGACCGCTGCCCGAGCCGAAAGTACCGCTAACCCACTGGCTTCATAATI
GATTCGCTATTGTCAAAGTGGACCCAGCTCGTCTCTCTGGGGCCAACTICAACCCGGT
TTGATTCAGCCATTACCAACCTGGCAATACGGTAACCAATCTGAACTCCGCGCGTAGC
CGTATCGAAGAATGCTGACTATGCAACCGGAAGTTCTAAATATGCTAAAGCCGAGATTCTG
CAGCAGGGTGGTACTTCGGTCTGGCGAGGCTAACCAAGGTCCGCAAAACGTCCTCTCT
TTACTGGCTAG

Sequência proteica (223 AA):

MRGSHHHHHGMASMTGGQQMGRDLYDDDKOPMAQINTNSLTLNNLKSQSSLSSAIERLSS
GLRINSAKDDAAGQAIANRFTSNIKGLTQASRNANDIPGISGGGGIILDSMGTLINE
NPLASIDSALSVDLAVRSSLGAIQNRFDSAINTNLGNTVTNLNSARSRIEDADYATEV
SNMSKAQILQ
QAGTSVLAQANQVPPONVLSLLR

AB'n1-70

Sequência nucleotídica (507 bp):

ATGCGGGGTTCTCATCATCATCATCATCATGGTATGGTAGCACTGACTGGTGACAGCAA
ATGGGTCGGATCTGTACGACGAATGCCATAAGGATCCGATGCCACAAGTCATTAACTACA
AACACGGCTGTGCGCTGTGACCCAGATAACCTGAACAAATCTCAGTCCTCACITGAGTTCC
GCCTATTGACCGCTCTGTCTCTGGTCTGGGTATCAACAGCGCGAAGACCAATGCCGGCAGGG
CAGGGCATGTCTAACCGCTTCACTCTAAATATCAAAGGCTGACTCAGGCTTCCCGTAAAC
GCTAACGACATCCCCGGAAATTCTCGGTGGTGGTGGATTCTAGACTCCATGGGTACAA
TTAACTCAATGAAGACGCTGCCGAGCCANGAAAAGTACCCCTAACCCACTGGCTTCAATT
GATTCIGGATCTGTCAAAAGTGGACGCCAGTTCTGTTCTCTGGGGCCAACTCAAAACCGT
TTTGGATCAAGCCATTACCAACCTTCTAG

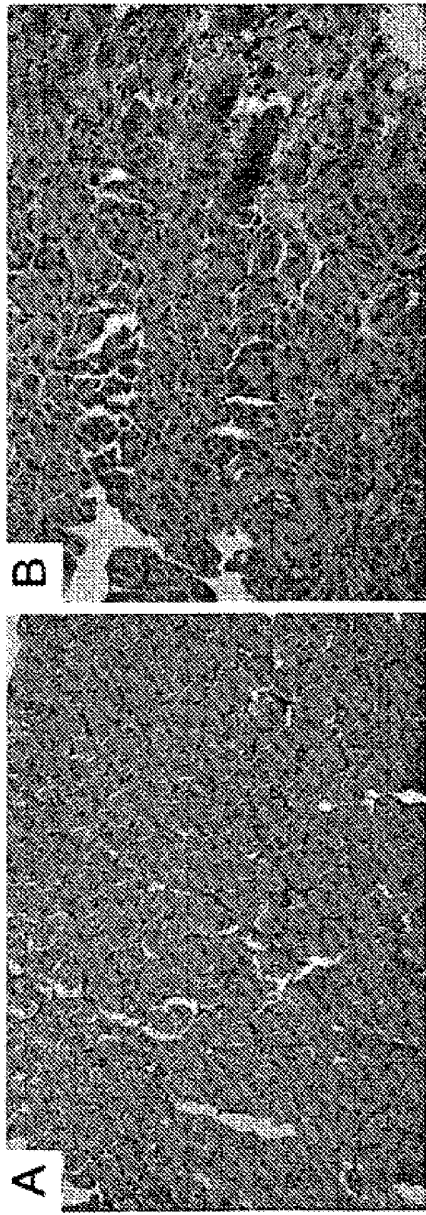
Sequência proteica (168 AA):

Sequencia proteica (100 AA):
MRGSHHHHHGMASMTGGQQMGRDLYDDDDKDPMAQVINTNSLLTONNLNKSOSSLSSAIERLSS
GLRINSAKDRAQQAIANRTSNIKGLTQASRNANDIPGISGGGGILDMSGTLINEDAAAACKSTA
NP LASIDSALS SKYDAVRSSLGATONRF DSAITNL

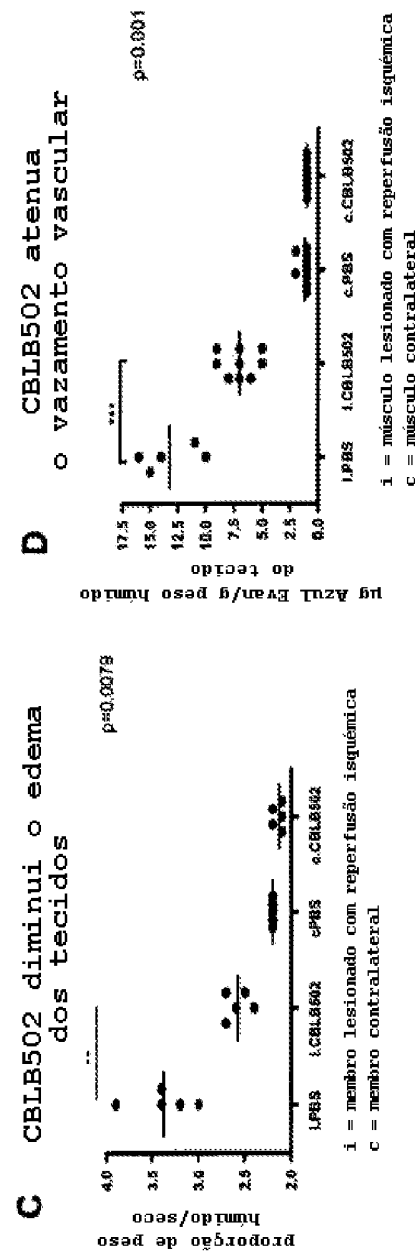
Figura 13 (cont.)

Figura 14

Mancha de hematoxilina/eosina da seção do músculo traseiro ao dia 14 após a reperfusão.
3 horas a seguir a isquémia a quente



- A. Rato administrado com 0,5 µg CBLB502 I.m. no prazo de 15 min. após a reperfusão
 B. Rato administrado com PBS/BSA 1% I.m. no prazo de 15 min. após a reperfusão



i = músculo lesionado com reperfusão isquêmica
 c = músculo contralateral
 c = músculo contralateral

Figura 14

Q51970	141	DNQ-MX -- IQVGANDG	STITIRLO	KID-VESLG	LDSFN
P72183	141	SFGTS -- FOVGNAY	STIDESIQAASAGAIGSYQVG	ENACTVAVGATR	
Q5X3W6	141	SPSGAS	QTINNSIG	SIX-ASSINSIATATAT	
Q6V976	141	INM-MK -- IQVGANDG	STITINLA	KID-ANTLG	LDGPW
P13713	141	DNK-LT -- IQVGANDG	STTIDIDLK	KID-AROLG	MOTF
Q33RR8	139	TRONLT -- PQIGANSG	QTMSLAIN	KID-SS	SLX
Q92551	139	TATGAATGTVSICREDON	DLINIDLFNAKQLSPTTIGSOSTVAVSYBALSVAD		
Q90012	141	DQT-MX -- IQVGANDG	STERIALD	KID-ANTLG	LNPS
Q51970	141	DNK-LT -- IQVGANDG	STTIDIDLK	NIN-NCSLG	LDKFT
Q9PAH7	141	SFGSAT -- FOVGNAN	QTITRITQWFRTRNFY-CAGYL-ASASG	ATSGAS	
Q32F76	140	NTT-NS -- IQVGANDG	STIDIMLO	KID-SNSLG	LGSSYS
Q7HS34	141	DSR-MT -- IQVGANDG	STVIDIDLK	KID-KRALR	LGKFT
Q33578	140	SPTGHD -- LQIGALNS	QTINMVDSAAATEIGAKISSASTVYVADAALTTT		
Q56876	141	DVTNE -- IQVGANDG	STEGIKLG	KIN-SEKLR	LEKFT
B43273	141	EKSMT -- IQVGCTDN	STVERMLD	KID-MOTLG	VASCR
Q31059	139	QNGDRT -- VRVTAHQAGLVGSLQNTTATQVIALEICOTGTTISGTTXIG	AETVK	ENNTALK	
Q7V2C2	141	WATONTLISIOVGAKEN	STIDIEKID	NNB-NWWLY	DANGT
Q9F5A4	139	GPMS-B -- FOVGNAN	STVFLDLC	NNB-AA	SLG
Q9P3C4	141	SFGAL -- FOVGNAN	STIGING	IVDAN-VDSLG	XANTALS
Q820U3	141	SPASQI -- FOVGNAN	STTIDPTE		
Q841C8	140	SPSMAG -- FOIGDKEA	QTWNTATG	STN-SARVOQQTFTGAV	

Figura 15a

418	PLASTIC	EXTRACT	SESSION	POST ITALIAN	THREE	SEASIDE	INDIA	WATER	ACTS	STUDY	MONUMENTS	SLA
401	PLASTIC	EXTRACT	SESSION	POST ITALIAN	THREE	SEASIDE	INDIA	WATER	ACTS	STUDY	MONUMENTS	SLA
387	PLASTIC	EXTRACT	SESSION	POST ITALIAN	THREE	SEASIDE	INDIA	WATER	ACTS	STUDY	MONUMENTS	SLA
400	PLASTIC	EXTRACT	SESSION	POST ITALIAN	THREE	SEASIDE	INDIA	WATER	ACTS	STUDY	MONUMENTS	SLA
264	PLASTIC	EXTRACT	SESSION	POST ITALIAN	THREE	SEASIDE	INDIA	WATER	ACTS	STUDY	MONUMENTS	SLA
245	PLASTIC	EXTRACT	SESSION	POST ITALIAN	THREE	SEASIDE	INDIA	WATER	ACTS	STUDY	MONUMENTS	SLA
181	VICKI	EXTRACT	SESSION	POST ITALIAN	THREE	SEASIDE	INDIA	WATER	ACTS	STUDY	MONUMENTS	SLA
1212	PLASTIC	EXTRACT	SESSION	POST ITALIAN	THREE	SEASIDE	INDIA	WATER	ACTS	STUDY	MONUMENTS	SLA
326	PLASTIC	EXTRACT	SESSION	POST ITALIAN	THREE	SEASIDE	INDIA	WATER	ACTS	STUDY	MONUMENTS	SLA
405	PLASTIC	EXTRACT	SESSION	POST ITALIAN	THREE	SEASIDE	INDIA	WATER	ACTS	STUDY	MONUMENTS	SLA
282	PLASTIC	EXTRACT	SESSION	POST ITALIAN	THREE	SEASIDE	INDIA	WATER	ACTS	STUDY	MONUMENTS	SLA
268	PLASTIC	EXTRACT	SESSION	POST ITALIAN	THREE	SEASIDE	INDIA	WATER	ACTS	STUDY	MONUMENTS	SLA
405	PLASTIC	EXTRACT	SESSION	POST ITALIAN	THREE	SEASIDE	INDIA	WATER	ACTS	STUDY	MONUMENTS	SLA
226	PLASTIC	EXTRACT	SESSION	POST ITALIAN	THREE	SEASIDE	INDIA	WATER	ACTS	STUDY	MONUMENTS	SLA
242273	PLASTIC	EXTRACT	SESSION	POST ITALIAN	THREE	SEASIDE	INDIA	WATER	ACTS	STUDY	MONUMENTS	SLA
385	PLASTIC	EXTRACT	SESSION	POST ITALIAN	THREE	SEASIDE	INDIA	WATER	ACTS	STUDY	MONUMENTS	SLA
304	PLASTIC	EXTRACT	SESSION	POST ITALIAN	THREE	SEASIDE	INDIA	WATER	ACTS	STUDY	MONUMENTS	SLA
326	PLASTIC	EXTRACT	SESSION	POST ITALIAN	THREE	SEASIDE	INDIA	WATER	ACTS	STUDY	MONUMENTS	SLA
312	PLASTIC	EXTRACT	SESSION	POST ITALIAN	THREE	SEASIDE	INDIA	WATER	ACTS	STUDY	MONUMENTS	SLA
192	PLASTIC	EXTRACT	SESSION	POST ITALIAN	THREE	SEASIDE	INDIA	WATER	ACTS	STUDY	MONUMENTS	SLA
403	PLASTIC	EXTRACT	SESSION	POST ITALIAN	THREE	SEASIDE	INDIA	WATER	ACTS	STUDY	MONUMENTS	SLA

Figura 15b